

The Structure and Evolution of Stars

CONTENTS

1.	はじめに—恒星の特性と役割	...0
2.	Basic Equations	...2
3.	静水平衡の力学構造	...8
4.	相似不变量による構造解析	...17
5.	自己重力系の熱力学	...28
6.	殻燃焼の物理I—等温中心核	...34
7.	準静的進化の限界=恒星の終末	...39
8.	殻燃焼の物理II—Shell Flash	...50
9.	恒星進化の標準理論	...63
10.	恒星進化=天体の探査の手段	...70

0 はじめに—恒星の特性と役割

太陽はギリシャの昔から炎であると考えられていた。Nicolaus Copernicus (1473-1543) の太陽中心説を受けて、Giordano Bruno (1548-1600) は、恒星も太陽と同じであり、見かけの違いは、ただ、距離が遠いためであると喝破した。しかししながら、炎の正体が高温の気体であることは、18世紀末には理解された。Antoine-Louis Béclard (1785-1862) は、恒星は対象数多様性と、運動の変動の度合いによって、星の大きさを測定する方法を開発した。Laurent de Lavoisier (1743-1794) の燃焼実験では、燃焼する物質が酸素を消費するという事実が発見され、恒星が太陽と同様に燃焼していることが示された。この結果、恒星は太陽と同様に熱エネルギーを放出していることが確認された。この発見は、恒星研究の歴史において重要な転換点となり、恒星の力学的な構造が調査されるようになった。恒星の熱力学的な振舞いを、通常の物理法則で説明するためには、恒星内部の物理的・化学的過程を考慮する必要がある。恒星内部での核融合反応によるエネルギー放出が、恒星の光と熱を供給する主要なエネルギー源である。また、恒星の質量と寿命は、その内部構造とエネルギー放出率によって決定される。恒星の終焉は、最終的に恒星が燃えきり、その内部で核融合反応が停止する「死」である。

物間じ放物工力場を見工ネに理て空はの、の重のと発な工倍物し宙をそに剩の陽この要の万のと宇陽、般余こ太る能必陽100時界る太が一、一、き射、太の当境ある。しはしで放りのーに、でる。いる換卿唱がのかこ時境あてば変化に熱してこラがた環でしのにKelvin提とんわ。ギもとくにこ放量をなー源賄ると学問と來るをなー源賄ると学問室のず、ならルはネ紀終供消費に回と化の系本てギ膨ルの消工程上この散た。

たれ宇住あ機
れその程成
さ。核々過生
出る子我のの
みい原す化素
生てらら進元
で持れたなる
中をこも的け
張意味、を静お
膨の様の宙
宇宙して合の部は
成多で宇
放構星恒
解子の恒、
種の原質がり
バンの物どあ
ビッグ・ギガ
に解子の恒、
エ伴に、の
は核に宙は応
は核に宙は応
反原反、元核
核の核れるう
のらのさす伴
でかこ出成に
内部態、放構發
内状に、を爆
星衡も間宙は
恒平と空宇い
非と宙むる

構成過程の役割を担っている。したがって、恒星進化の理論とそれに基づく宇宙論は、元素の起源論の基礎となるものである。また、恒星を含む様々な天体の形成過程に影響を与える。この物質の多様化の過程を研究するのが、核種合成過程と化学進化の分野の課題である。

恒星は、宇宙における様々な物質の状態とその変化過程への恒星化過程の一環である。この過程は、熱浴源として想定され、ネゲントロピーの定着が、宇宙進化に至る進化の推進機構としての役割を担っている。

1 Basic Equations

1.1 自己重力系 — Jeans 質量

構成する原子や分子の平均自由行程より大きな scale では、これらの粒子からなる系は、流体で近似できる。したがって、その系の状態とその運動は、下記の流体の質量保存の連続の式、運動量保存則および、エネルギー保存則

$$\frac{\partial \rho}{\partial t} + \nabla(\rho \mathbf{v}) = 0 \quad (1)$$

$$\frac{\partial \mathbf{v}}{\partial t} + (\mathbf{v} \cdot \nabla) \mathbf{v} = -\frac{1}{\rho} \nabla P - \nabla \phi \quad (2)$$

$$T \frac{\partial s}{\partial t} + (\mathbf{v} \cdot \nabla) s = -\nabla F + \varepsilon_N - \varepsilon_\nu \quad (3)$$

で記述される。ここで、 $F = -\lambda \nabla T$ (λ は熱伝導率)、 ε_N と ε_ν はエネルギー生成率と損失率である。また、 ϕ は重力ポテンシャルで、ポアソン方程式

$$\nabla^2 \phi = 4\pi G \rho \quad (4)$$

で与えられる。その他の記号は、通常の意味を持つ。

初期状態として一様な系を考え、摂動を加えた時の時間発展をみる。初期状態を下付きの添え字 0 で表し、摂動を

$$\rho(P, \mathbf{v}, \phi) = \rho_0(P_0, \mathbf{v}_0, \phi_0) + \delta\rho(P, \mathbf{v}, \phi)$$

において方程式 (1) - (4) に代入、摂動の2次の項を無視すると、摂動方程式

$$\frac{\partial \delta\rho}{\partial t} + \rho_0 \nabla \delta \mathbf{v} = 0 \quad (1')$$

$$\frac{\partial \delta \mathbf{v}}{\partial t} = -\frac{1}{\rho_0} \nabla \delta P - \nabla \delta \phi \quad (2')$$

$$\delta P = c_{s,0}^2 \delta \rho \quad (3')$$

$$\nabla^2 \delta \phi = 4\pi G \delta \rho \quad (4')$$

を得る。ここで、 $c_{s,0}$ は初期状態の音速である ($= \partial/\rho|_{\text{ad},0}$)。式 (1') の時間微分をとり、式 (2') の空間微分、式 (3') と (4') から $\delta \mathbf{v}$ 、 δP 、 $\delta \phi$ を消去すると、密度の摂動 $\delta \rho$ についての方程式

$$\frac{\partial^2 \delta \rho}{\partial t^2} - \nabla c_{s,0} \nabla \delta \rho - 4\pi G \rho_0 \delta \rho = 0 \quad (5)$$

に帰着する。摂動の Fourier 変換

$$\delta \rho \propto \exp(i\omega t + i\mathbf{k} \cdot \mathbf{x}) \quad (6)$$

を考えると、分散関係

$$\omega^2 - c_{s,0}^2 \mathbf{k}^2 + 4\pi G \rho_0 = 0 \quad (7)$$

が導かれる。これより、摂動の波数が $k < k_J \equiv \sqrt{4\pi G\rho_0}/c_{s,0}$ のとき、 ω は実数となり、摂動は振動解をもち、音波として伝播することになる。しかし、 $k > k_J$ の摂動に対しては、 ω は純虚数となり、摂動は、指数関数的に成長することになる。すなわち、密度と温度で決まる Jeans 波長と Jeans 質量と呼ばれる特性値

$$\lambda_J = \frac{2\pi}{k_J} = c_{s,0} \sqrt{\frac{\pi}{G\rho_0}}, \quad M_J = \frac{4\pi}{3} \left(\frac{\lambda_J}{2}\right)^3 \rho_0 = \sqrt{\frac{\pi^5}{36G^3} \frac{c_{s,0}^6}{\rho_0}} \quad (8)$$

が存在して、系の波長と質量がこれらの値を上回る場合、 $\delta\rho > 0$ の摂動に対しては、重力による引力の増加が圧力の反発力の増加を凌駕し、動力学的に不安定になり、重力崩壊を引き起こすことになる。この系の重力収縮は、解放された重力エネルギーが熱に転換されて圧力が増加、力のバランスが回復されるまで続くことになる。

1.2 球対称・静水平衡

自己重力の作用のもとでのガスの静水平衡構造は球対称になり、その力学的な釣り合いは

$$\frac{\partial M_r}{\partial r} = 4\pi r^2 \rho \quad (9)$$

$$\frac{\partial P}{\partial r} = -\frac{GM_r \rho}{r^2} \quad (10)$$

で記述される。ここで、 r は球殻の半径、 M_r は半径 r の球殻内の質量、 P と ρ は球殻の圧力と密度、 G は重力定数。これらの方程式は、それぞれ、連続方程式(章末 note 参照)および運動量方程式に対応する。質量座標 M_r を独立変数とする Lagrange 座標系では

$$\frac{\partial r}{\partial M_r} = \frac{1}{4\pi r^2 \rho} \quad (9')$$

$$\frac{\partial P}{\partial M_r} = -\frac{GM_r}{4\pi r^4}. \quad (10')$$

ガス球内部のエントロピーの分布が与えられると、これらの方程式は閉じた系をなし、ガス球の力学的な構造が決まる。

ガス球のエントロピー分布 $s(\rho, P)$ 、すなわち、熱的な構造はエネルギー保存とエネルギー輸送できまる。半径 r の球殻を通過するエネルギー流束を L_r で表すと、エネルギーの保存則は

$$T \frac{\partial s}{\partial t} + \sum_i \mu_i \frac{\partial Y_i}{\partial t} = -\frac{\partial L_r}{\partial M_r} + \varepsilon_N - \varepsilon_\nu. \quad (11)$$

ここで、 μ_i 、 Y_i は i -th 元素の化学ポテンシャルとモル濃度、また、 ε_N と ε_ν は核反応によるエネルギー発生率とニュートリノによるエネルギー損失率である。ニュートリノは、中性子星のような高密度の恒星を除いて、恒星内部で発生するとガスと相互作用することなく飛散するのでエネルギー損失として扱う。

恒星内のエネルギー輸送には、radiation、convection、conduction の 3 過程があり、全エネルギー流速は、光子による熱流束 L_{ph} 、対流による熱流束 L_{conv} 、伝導による熱流束 L_{cond} の総和

$$L_r = L_{\text{ph}} + L_{\text{conv}} + L_{\text{cond}} \quad (12)$$

からなる。輻射による輸送は輻射平衡から

$$L_{\text{ph}} = -\frac{4\pi r^2 c}{\kappa \rho} \frac{4a T^3}{3} \frac{\partial T}{\partial r}, \quad \text{or,} \quad \frac{\kappa \rho L_{\text{ph}}}{4\pi r^2 c} = -\frac{\partial P_r}{\partial r}. \quad (13)$$

ここで κ は物質单位質量あたりの輻射の吸収係数で、最右辺の P_r は輻射圧、 a と c は radiation constant と光速である。熱伝達率 λ_{ph} に直すと

$$\lambda_{\text{ph}} = \frac{4ac}{3\kappa\rho} T^3, \quad \left(\frac{L_{\text{ph}}}{4\pi r^2} = -\lambda_{\text{ph}} \frac{\partial T}{\partial r} \right). \quad (14)$$

対流による輸送は、物質移動に伴うもので、対流の発生の条件はエントロピー勾配が負になるという次の式で与えられる。

$$\partial s/\partial r < 0, \quad \text{or} \quad \nabla \equiv \frac{\partial \ln T/\partial r}{\partial \ln P/\partial r} > \frac{\partial \ln T}{\partial \ln P} \Big|_{\text{ad}} \equiv \nabla_{\text{ad}}. \quad (15)$$

この式は流体要素の仮想的な変位に伴って働く浮力から導かれるが、恒星内部の組成が一様でなく組成分布がある場合は、浮力の計算に平均分子量 μ の勾配を考慮しなければならないため、力学的な条件は

$$d \ln \rho = \left(\frac{\partial \ln \rho}{\partial \ln P} \right)_{T,\mu} d \ln P + \left(\frac{\partial \ln \rho}{\partial \ln T} \right)_{P,\mu} d \ln T + d \ln \mu$$

となるので、

$$\nabla > \nabla_{\text{ad}} + \nabla_\mu, \quad \text{where } \nabla_\mu \equiv - \left(\frac{\partial \ln T}{\partial \ln \rho} \right)_P \frac{\partial \ln \mu / \partial r}{\partial \ln P / \partial r} \quad (16)$$

で与えられる。前者を Schwarzschild criterion、後者を Ledoux criterion とよぶ*。対流の熱輸送については、混合距離理論 (mixing-length-theory) がよく用いられ、

$$\frac{L_{\text{conv}}}{4\pi r^2} = 1/2 \bar{v}_{\text{conv}} c_P T \frac{\Lambda}{H_P} (\nabla - \nabla') \quad (17)$$

となる。ここで、 \bar{v} は対流要素の平均速度、 c_P は対流要素の定圧比熱、 Λ は混合距離、 H_P は pressure scale height ($= |dr/d \ln P|$)、また、 ∇' は対流要素が pressure scale height 移動する間の熱輸送によるエネルギー収支を考慮した温度勾配である。

熱伝導が効くのは、一般に高密度、低温度の領域であり、恒星内部では電子が縮退して平均自由行程が長くなっている。熱伝導率 λ_{cond} は密度と温度の関数として与えられ、熱流束はそれを用いて

$$\frac{L_{\text{cond}}}{4\pi r^2} = -\lambda_{\text{cond}} \frac{\partial T}{\partial r} \quad (18)$$

と表せる。

対流による熱輸送も伝達率 λ_{conv} で表し、輻射、対流、伝導輸送の合計を λ ($= \lambda_{\text{ph}} + \lambda_{\text{cond}} + \lambda_{\text{conv}}$) とすると、

$$\frac{L_r}{4\pi r^2} = -\lambda \frac{\partial T}{\partial r} = -\lambda_{\text{ph}} \frac{\partial T}{\partial r} - \lambda_{\text{cond}} \frac{\partial T}{\partial r} - \lambda_{\text{conv}} \frac{\partial T}{\partial r} \quad (19)$$

* 組成の勾配がある場合、 $\nabla_{\text{ad}} < \nabla < \nabla_{\text{ad}} + \nabla_\mu$ の場合は、摂動を受けた流体要素には復元力が働くので、対流は起きず、振動することになる。しかし、振動に伴い外側（内側）に変位したとき、周囲より温度が高く（低く）なり、エネルギーを失う（得る）ので、変位前の静水平衡の位置に戻ったときのエンロジーは、変位前より小さく（大きく）なり、内向き（外向き）の加速度を受けて、平衡点を通り過ぎることになる。このため、線形解析の範囲では、振動の振幅は大きくなっていくことになる。これは overstable と呼ばれ、振幅は成長を続け、やがて、非線形効果が効いてきて、物質混合が起きて止まるといえられている。したがって、進化の時間尺度が熱伝達の時間尺度よりも長い場合には平均分子量の勾配がある場合でも対流に伴う物質混合の起きる条件は Schwarzschild criterion が適当と考えられている。

が第4番目の式となる。輻射輸送の式と同じ形式で書くために、熱伝達率の変わりに total opacity κ_t を

$$1/\kappa_t = 1/\kappa + (3\rho/4acT^3)(\lambda_{\text{conv}} + \lambda_{\text{cond}}) \quad (20)$$

で定義し、静水平衡の式を使うと熱流束は

$$L_r = \frac{4\pi GcM_r}{\kappa_t} \frac{4aT^4}{3P} \left(\frac{\partial \log T}{\partial \log P} \right) \quad (19')$$

で与えられる。恒星内部では一般に対流による熱輸送は効率がよいため温度勾配が断熱勾配に極めて近くなるので、対流層では熱輸送の式(19)を解く代わりに、

$$\nabla = \nabla_{\text{ad}} \quad (21)$$

の近似で代用にされる。

1.3 初期値境界値問題

連続の方程式eqs.(9'), 静水平衡の式(10'), エネルギー保存の式(11), 热輸送の式(19')の4つの方程式系は、独立変数を質量座標 M_r とすると、それぞれ、半径 r 、圧力 P 、熱流速 L_r 、温度 T についての微分方程式を与えるが、従属変数はこれらに ρ を加えた5個なので、状態方程式を加えて閉じた系となる。

1.3.1 境界条件

4階の微分方程式に対して4個の境界条件が必要であるが、中心での条件は

$$r = L_r = 0 \quad \text{at} \quad M_r = 0$$

で与えられ、また、質量が所与のとき、表面での条件としては、

$$P = \rho = 0 \quad \text{at} \quad M_r = M$$

(radiative zero boundary condition)、あるいは

$$P = \frac{2}{3\kappa} \frac{GM}{R^2}, \quad T = T_{\text{eff}} \quad \text{at} \quad \tau = \int_R^\infty \kappa \rho dr = 2/3 \quad (22)$$

で与えられる(章末note参照)。ここで、 R と L は、それぞれガス球の半径と光度(luminosity)で、構造を解いて求まる。また、有効温度 T_{eff} (effective temperature) は

$$L = 4\pi R^2 \sigma_{\text{SB}} T_{\text{eff}}^4 \quad (23)$$

で定義され、ガス球を黒体で近似したときの表面温度をあたえる ($\sigma_{\text{SB}} = ac/4$ は Stephan-Boltzmann 定数)。また、状態方程式、核反応率、熱伝達率、neutrino loss の算出には組成分布を指定する必要がある。加えて、式(11)の時間微分の項のため、構造の初期値が必要となる。

note.1 連続の方程式

Hydrodynamical equations は

$$\partial \rho / \partial t + \nabla \cdot (\rho \mathbf{v}) = 0 \quad (A - 1.1)$$

$$\partial \mathbf{v} / \partial t + \mathbf{v} \cdot \nabla \mathbf{v} = -(1/\rho) \nabla P - \nabla \phi, \quad (A - 1.2)$$

(ϕ は重力ポテンシャル)。球対称を仮定し、Lagrangian coordinate である mass 座標

$$dM_r = 4\pi r^2 \rho dr \quad (A - 1.3)$$

を導入し、速度は

$$\mathbf{v} = (\partial r / \partial t)_{M_r} \quad (A - 1.4)$$

であることを考慮すると、式 (A-1.1) の連続の方程式は、

$$\partial \rho / \partial t |_{M_r} + 4\pi r^2 \partial(r^2 \partial r / \partial t |_{M_r}) / \partial M_r |_t = 0 \quad (A - 1.5)$$

となる。この方程式は時間積分できて、

$$-(1/\rho) + 4\pi r^2 \partial r / \partial M_r = \text{const} = 0. \quad (A - 1.6)$$

したがって、式 (A-1.3) で定義した mass coordinate は連続方程式の解になっている。また、加速度項を無視すると式 (A-1.2) は式 (10) の静水平衡を与える。

note.2 恒星大気

恒星からの輻射は、恒星大気での物質との相互作用で決まり、輻射輸送の式を解いて求められる。輻射の強度 (specific intensity of radiation あるいは簡単に intensity) を I_ν とおくと、面積 $d\sigma$ の面と角度 θ をなす立体角 $d\omega$ の方向へ通過する輻射のうち、振動数 $d\nu$ あたりのエネルギーは

$$dE_\nu = I_\nu d\sigma \cos \theta dt d\omega d\nu \quad (A - 2.1)$$

となる。輻射の進行方向に厚さ ds の物質を通り過ぎるとすると輻射輸送の式は

$$\frac{dI_\nu}{ds} = -\kappa_\nu \rho I_\nu + j_\nu \rho \quad (A - 2.2)$$

となる。ここで、 κ_ν と j_ν は物質の単位質量、単位振動数あたりの輻射の吸収係数と放射率である。物質による光子の吸収・放射に加えて散乱も含める。Kirchhoff's law から

$$j_\nu = \kappa_\nu B_\nu \quad (A - 2.3)$$

が成り立つ。ここで

$$B_\nu = (2h\nu^3/c^2)/[\exp(h\nu/kT) - 1] \quad (A - 2.4)$$

は Plank 分布で与えられる黒体輻射の intensity で、これは、局所的に物質の温度 T が定義できることを要請することであり、local thermal equilibrium (LTE; 局所熱平衡) の仮定という。恒星大気の場合、球対称なので、動径方向に座標をとり、輻射の進行方向が動径方向となす角度を θ とし、また、光学的な厚さを

$$d\tau = -\kappa \rho dr \quad (A - 2.5)$$

で導入する。これらの仮定を使うと

$$\cos \theta dI_\nu(\theta) / d\tau = I_\nu(\theta) - B_\nu \quad (A - 2.6)$$

となる。

輻射輸送の方程式を解くためにモーメントを考える。intensity のモーメントとして mean intensity J_ν 、flux πH_ν 、mean momentum flux K_ν を

$$\begin{aligned} J_\nu &= \int_{4\pi} I_\nu(\theta) \frac{d\omega}{4\pi} \\ \pi H_\nu &= \int_{4\pi} I_\nu(\theta) \cos \theta d\omega \\ K_\nu &= \int_{4\pi} I_\nu(\theta) \cos^2 \theta \frac{d\omega}{4\pi} \end{aligned} \quad (A - 2.7)$$

で定義する。それぞれ、輻射エネルギー密度、エネルギー流束、運動量流束に対応する量で、これらを用いると、輻射輸送の式(A-2.6)から

$$\frac{1}{4} \frac{dH_\nu}{d\tau} = J_\nu - B_\nu, \quad \text{and} \quad \frac{dK_\nu}{d\tau} = \frac{1}{4} H_\nu \quad (A-2.8)$$

が得られる。この方程式を閉じさせるために、輻射の強度を上半球 $0 \leq \theta \leq (1/2)\pi$ と下半球 $(1/2)\pi \leq \theta \leq \pi$ の2方向の成分に分割、おのおのの平均 I_ν^+ と I_ν^- を

$$I_\nu^+ = \int_{\theta=0}^{\theta=\pi/2} I_\nu(\theta) \frac{d\omega}{2\pi} \quad (A-2.9)$$

$$I_\nu^- = \int_{\theta=\pi/2}^{\theta=\pi} I_\nu(\theta) \frac{d\omega}{2\pi}$$

とおき、各モーメントについても、おのおのの半球でこの平均のintensityで近似して積分すると、

$$J_\nu = \frac{1}{2}(I_\nu^+ + I_\nu^-), \quad H_\nu = (I_\nu^+ - I_\nu^-), \quad \text{and} \quad K_\nu = \frac{1}{6}(I_\nu^+ + I_\nu^-) \quad (A-2.10)$$

とあらわせる。この関係から、

$$J_\nu = 3K_\nu$$

となり、これを上のモーメント方程式に代入すると

$$\frac{dJ_\nu}{d\tau} = \frac{3}{4} H_\nu, \quad \text{or} \quad \frac{d(I_\nu^+ + I_\nu^-)}{d\tau} = \frac{3}{2}(I_\nu^+ - I_\nu^-) \quad (A-2.11)$$

となる。これと式(A-2.6)を各半球での平均がconsistentになるようにとると

$$\frac{2}{3} \frac{dI_\nu^+}{d\tau} = I_\nu^+ - B_\nu \quad \text{and} \quad \frac{2}{3} \frac{dI_\nu^-}{d\tau} = -I_\nu^- + B_\nu. \quad (A-2.12)$$

この場合、 $dH_\nu/d\tau = 3(J_\nu - B_\nu)$ となり、式(A-2.8)の第1式を満たさないが、後で見るように、局所平衡を仮定すると、 $J=B$ となり、 H の微分はともに消えることになる。

以上の議論では opacity の波長依存性を考慮して波長ごとに輻射輸送を考慮してきたが、以下では、大気の平均的な性質を見るために、波長依存性を無視して全波長で積分したものについて考える。さらに、大気は定常的であるとして、局所的に熱平衡

$$J = \int_0^\infty J_\nu d\nu = B = \int_0^\infty B_\nu d\nu \quad (A-2.13)$$

が成り立っているとする。この場合、式(A-2.8)の第1式より $H = \text{const}$ となる。表面からの入射エネルギーがないので表面の境界条件として $\tau=0$ では $I^- = 0$ とすると

$$\pi H = \pi I^+(\tau=0) = \sigma T_{\text{eff}}^4 = L/4\pi R^2. \quad (A-2.14)$$

また、 $dJ/d\tau = (3/4)H$ 、かつ、黒体輻射より $\pi B = \sigma_{\text{SB}} T^4$ なので、温度分布は

$$T^4 = \frac{1}{2} T_{\text{eff}}^4 (1 + \frac{2}{3}\tau). \quad (A-2.15)$$

これは Eddington 近似と称せられる。したがって、表面では $T = 0.824 T_{\text{eff}}$ 、 $\tau = 2/3$ で $T = T_{\text{eff}}$ となる。

恒星大気の構造を求めるには、上式を熱輸送の式(19)の代わりに用い、連続の式、力学的な釣り合い、および、エネルギー保存の式と連立して解くことになる。通常大気でのエネルギー変動は無視できるのでエネルギー保存は $L_r = L (= \text{const})$ である。恒星が放出する平均的な photon は $\tau = 2/3$ で作られ、 $T = T_{\text{eff}}$ の黒体輻射に対応することになる。この深さでの圧力は質量の変化が無視できるので $M_r = M$ とおいて静水平衡の式を積分して

$$P = \int_r^R \rho(GM/r^2) dr \simeq \frac{1}{\kappa} \int_0^{2/3} (GM/r^2) d\tau. \quad (A-2.16)$$

ここで $\bar{\kappa}$ は平均値を表す [$= \int_{\tau=0}^{\tau=2/3} \kappa \rho(GM_r/r^2) dr / \int \rho(GM_r/r^2) dr$]。また、輻射圧は単位面積を単位時間当たりに通過する運動量であるから、 $P_r = 4\pi K/c$ であり、これから輻射平衡の式が導かれ、

$$\frac{dP_r}{dr} = -\frac{4\pi\kappa\rho}{c} \frac{dK}{d\tau} = -\kappa\rho\pi H = -\frac{\kappa\rho L}{4\pi c R^2}. \quad (A-2.17)$$

2 静水平衡の力学構造

2.1 ポリトロープガス球

流体の力学的な構造は一般に barotrope (圧力は密度のみの関数) を仮定すると、eqs. (9)、(10) は閉じた方程式系となり解ける。Polytrope は、状態方程式を

$$P = K\rho^{1+1/N} \quad (24)$$

(K, N は定数で polytropic constant と polytropic index と呼ぶ) とおいたものであるが、これは、簡単かつ物理的によい見通しを与えるという点で有用な仮定である。一般的に議論するために方程式を無次元化する。中心密度と中心圧力をそれぞれ ρ_c と P_c とし、

$$\theta = \rho/\rho_c, \quad \varpi = P/P_c \quad (25)$$

とおく。半径と質量については、それぞれ、半径係数 R_0 と質量係数 M_0 を導入して

$$\xi = r/R_0, \quad \varphi = M_r/M_0 \quad (26)$$

とおくが、これらの係数を

$$R_0 = \left(\frac{1}{4\pi G} \frac{P_c}{\rho_c^2} \right)^{1/2}, \quad M_0 = \left(\frac{1}{4\pi G^3} \frac{P_c^3}{\rho_c^4} \right)^{1/2} \quad (27)$$

とすると、連続の式と静水平衡の式は無次元化できて

$$\frac{d\varphi}{d\xi} = \xi^2 \theta, \quad \frac{d\varpi}{d\xi} = -\frac{\varphi\theta}{\xi^2}, \quad \varpi = \theta^{1+1/N}. \quad (28)$$

さらに $\xi' = \xi/\sqrt{1+N}$ 、 $\theta' = \theta^{1/N}$ とおくと、2 階の常微分方程式

$$\frac{1}{\xi'^2} \frac{d}{d\xi'} \left(\xi'^2 \frac{d\theta'}{\xi'} \right) = -\theta'^N \quad (28').$$

が得られる。eq. (28) あるいは eq. (28') を Lane-Emden 方程式という。

2.2 Lane-Emden 解

Lane-Emden 方程式は、polytropic index が $0 \leq N \leq 5$ の範囲にあるとき、表面で圧力と密度がゼロになる、すなわち、 $\varpi_1 = 0$ ($\theta_1 = 0$) になる境界条件を満たす解が存在する。もうひとつの境界条件は中心 ($\xi = 0$) で、 $d\theta'/d\xi = 0$ である（定義により中心では $\theta = 1$ であることに留意）。特に、 $N = 0, 1, 5$ の場合には、解析解が存在し、

$$\begin{cases} \varpi = 1 - \xi^2/6 & N=0 \text{ の場合} \\ \theta = \sin(\xi/\sqrt{2})/(\xi/\sqrt{2}) & N=1 \text{ の場合} \\ \theta = [1 + \xi^2/18]^{-5/4} & N=5 \text{ の場合} \end{cases} \quad (29)$$

となる*。これらの中心と表面の境界条件を満たす解を Lane-Emden 解という。ポリトロープガス球の密度分布を図1に示し、特性を表1にまとめた。

* $N = 5$ の場合は、 $t = -\log \xi'$ 、 $z = \sqrt{2\xi'}\theta'$ の変数変換をして積分する。

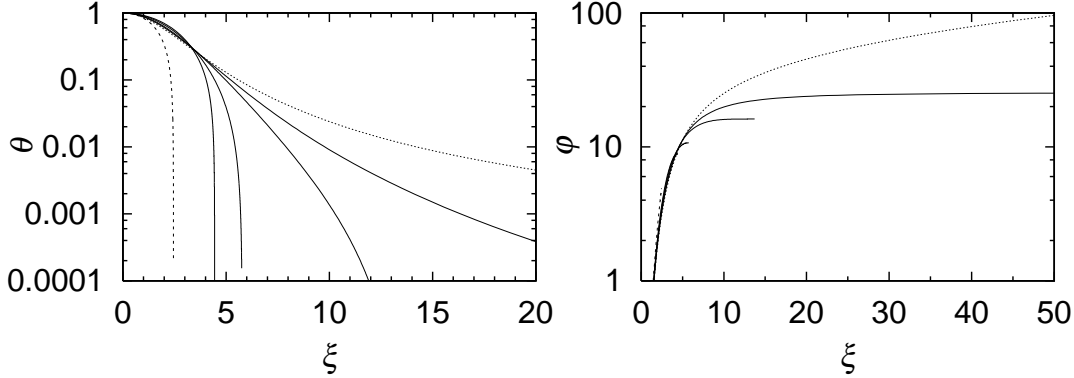


図 1. ポリトロープの密度分布(左)と質量分布(右)。実線は表面半径の小さい方から $N = 1, 1.5, 3, 5$ で、破線は $N = 0$ の一様密度球の圧力分布。点線は $N = \infty$ の等温球の場合である。

表 1. Lane-Emden 解の特性

N	Ξ	Φ	$\rho_c/\bar{\rho}$
0	2.449	4.899	1.0
1	4.442	8.886	3.290
1.5	5.777	10.73	5.991
3.0	13.79	16.14	54.18
5.0	∞	25.56	∞

ガス球の無次元半径 Ξ 、無次元質量 Φ は、 $N = 0$ すなわち、密度一定の非圧縮性流体のとき最も小さく、 N の増加するとともに増加する。 N が大きいと状態方程式が soft(密度の変化の割に圧力の変化が小さい)になり、中心から外に向かって積分すると密度が減少しても圧力の減少が小さいため、広がった構造になる。この増加の割合は、半径の方が質量より大きく、中心密度と平均密度の比 ρ_c/ρ ($= 3\Xi^3/\Phi$) は N の単調増加関数となる。特に、 $N = 5$ の場合は、半径 Ξ は無限大になるが、質量 Φ は有限にとどまる**。

2.3 中心密度と温度

Lane-Emden 解より、恒星の質量 M と半径 R は中心密度 ρ_c 、中心圧力 P_c の関数として、

$$M = \left[\frac{1}{4\pi G^3} \frac{P_c^3}{\rho_c^4} \right]^{1/2} \Phi, \quad R = \left[\frac{1}{4\pi G} \frac{P_c}{\rho_c^2} \right]^{1/2} \Xi, \quad (30)$$

で与えられ、これを書き直すと、質量 M 、半径 R の恒星の中心密度 ρ_c 、中心圧力 P_c は、

$$P_c = \left(\frac{\Xi^4}{\Phi^2} \right) \frac{GM^2}{4\pi R^4}, \quad \rho_c = \left(\frac{\Xi^3}{\Phi} \right) \frac{M}{4\pi R^3} \quad (30')$$

となる。ポリトロープの意味するところは、ガス球内部での圧力勾配と密度勾配の比が

$$\frac{d \log P / d \log r}{d \log \rho / d \log r} = \frac{N+1}{N} \quad (24')$$

** $N = 5$ の分布は stellar dynamics では Plummer モデルとも呼ばれる。

の関係を満たすということであるが、実際の恒星の構造と比較すると、太陽のような中心部が輻射平衡にある恒星の場合、 $N \approx 3$ がよい近似で成り立っていることがわかっている*。理想気体の状態方程式

$$P = \frac{k}{\mu m_a} \rho T \quad (31)$$

(μ 、 m_a 、 k は平均分子量、atomic mass unit、Boltzmann 定数) を適用し、太陽の質量と半径 ($M_{\odot} = 1.99 \times 10^{33}$ g and $R_{\odot} = 6.9 \times 10^{10}$ cm) を式 (30') に代入すると、中心温度と密度の推定値は

$$\begin{aligned} T_c &= \frac{\mu m_a}{k} \frac{P_c}{\rho_c} = \frac{\mu m_a}{k} \left(\frac{\Xi}{\Phi} \right) \frac{GM}{R} \simeq 1.2 \times 10^7 \text{ K}, \\ \rho_c &= \frac{1}{4\pi} \frac{M}{R^3} \frac{\Xi^3}{\Phi} \simeq 77 \text{ g cm}^{-3}. \end{aligned} \quad (32)$$

ガス球の中心の状態は、質量 M 、半径 R に対して、理想気体の状態方程式を仮定すると静水平衡の式 (30') で見るように

$$T_c \propto M/R, \quad \text{and} \quad \rho_c \propto M/R^3$$

で与えられる。前者は重力と圧力勾配(重力エネルギーと熱エネルギー)との釣り合い、後者は質量保存である。これらの式から半径を消去すると

$$T_c^3 / \rho_c = (\mu m_a / k)^3 (P_c^3 / \rho_c^4) = (\mu m_a / k)^3 4\pi G^3 (M / \Phi)^2 \quad (33)$$

となる。したがって、質量が与えられた静水平衡のガス球の中心温度と中心密度は $T_c \propto \rho_c^{1/3}$ に沿って変化する。また、質量が大きいほど中心温度は $T_c \propto M^{2/3}$ で高くなり、あるいは、中心温度が同じであれば、 $\rho_c \propto M^{-2}$ となり、大質量星ほど中心密度が小さい。中心密度と中心温度の関係は、恒星の構造にも依存し、polytropic 指数が大きい程、中心温度を与えたときの中心密度が大きくなる。

図 2 に、式 (33) から算出されるガス球の中心密度と中心温度の軌跡を恒星の進化の軌跡と比較した。水素燃焼の段階では質量によらずよく一致している。進化の軌跡も、特に、大質量星の場合はほぼ前者に沿って進む。図の $7M_{\odot}$ 以下の中小質量星の進化の軌跡は水素燃焼のあとで温度が下がるが、これは、後で述べるように、中心で水素が燃え尽きて水素殻燃焼の段階になると、外層が膨張してその重みが減少し、恒星の中心にかかる有効質量(中心に影響する質量)が小さくなるためである。大質量星では水素燃焼で心対流が発生するが、対流が起きる中心核の質量の割合が大きいし、この効果は小さい。点線は後章で述べる電子縮退が起きる条件を表したもので、これより高密度側では電子の縮退圧が優勢となり、理想気体の状態方程式が成り立たなくなる。あとで見るように、この領域にいたる恒星は冷却するか、あるいは、核反応に点火した場合は暴走することになる。

2.4 輻射の寄与と質量・光度関係

* エネルギー発生率に関するパラメータ $\eta = (L_r/M_r)/(L/M)$ を導入すると、熱輸送の式 (19') は、輻射平衡の場合には

$$\frac{d}{dP} \frac{a}{3} T^4 = \frac{\kappa \eta L}{4\pi G c M}$$

となる。 $\kappa \eta$ は、 κ が温度が低い外層で大きくなるのに対し、エネルギー発生率は温度の高い中心部で大きくなるので、互いの変動が相殺することになる。もし、 $\kappa \eta$ の空間変動が無視できる場合は、この微分方程式は積分できて、 $\frac{a}{3} T^4 = (\kappa \eta L / 4\pi G c M)(P - P_{\text{ps}}) + \frac{a}{3} T_{\text{eff}}^4$ となる。したがって、表面近くを除く $P \gg P_{\text{ps}}$ 且 $T \gg T_{\text{eff}}$ では、指数 $N = 3$ のポリトロープがよい近似になっている。

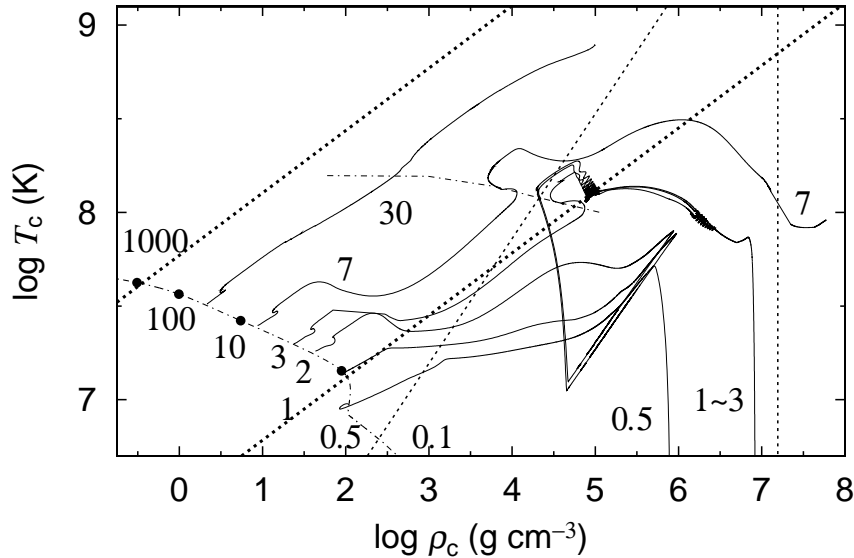


図 2. ポリトロープガス球 (polytropic index $N = 3$) の中心密度と中心温度の軌跡 (太破線; $M = 1M_{\odot}$ と $1000M_{\odot}$) と恒星の進化計算の結果 (実線) との比較。一点鎖線は進化計算から取った年齢ゼロの主系列星 (黒丸つき)、およびヘリウム燃焼の点火段階の中心の密度と温度を表す。各線に付した数字は恒星の質量 (太陽質量 M_{\odot} 単位) をさす。細破線は、電子が縮退する境界 ($\mu_e = 2$ のときの $\Psi = 0$) および電子の運動エネルギーが相対論的になる境界 (縦線) を表す (6.3.1節 参照)。

ガス球の質量が大きくなると、密度に比して温度が高くなり、輻射の効果が重要になってくる。この場合、状態方程式は理想気体の状態方程式 (31) の代わりに

$$P = P_g + P_r = \frac{k}{\mu m_a} \rho T + \frac{a}{3} T^4 \quad (31')$$

となる。輻射の効果を表すために全圧力に占めるガス圧の割合を β で定義し、

$$\beta = P_g/P = (k\rho T/\mu m_a)/P, \quad 1 - \beta = P_r/P = (aT^4/3)/P \quad (34)$$

とおく。輻射を考慮しても、上記の $T_c \propto M/R$ 、 $\rho_c \propto M/R^3$ の関係は成り立ち、

$$\frac{k}{\mu m_a} (T^3/\rho)^{1/3} + \frac{a}{3} (T^3/\rho)^{4/3} = (4\pi)^{1/3} G(M/\Phi)^{2/3}. \quad (33').$$

式 (30) を書き直すと、

$$\frac{1 - \beta_c}{\beta_c^4} = \left(\frac{\mu m_a}{k} \right)^4 \frac{4\pi a G^3}{3} \left(\frac{M}{\Phi} \right)^2 = 0.77764 \left(\frac{\mu^4}{\Phi^2} \right) \left(\frac{M}{M_{\odot}} \right)^2 \quad (35)$$

となり、 β は質量できまり、一定の値を保つことになる。ガス圧が優勢 ($1 - \beta \ll 1$) のもとでは、式 (30') から T_c 、 ρ_c とも M に比例するので、 $1 - \beta_c$ はガス球の質量 M の 2 乗に比例して増加することになる。輻射優勢になると、 β_c は質量の 1/2 乗に反比例して減少することになる。太陽の場合には、 $1 - \beta \approx 4.3 \times 10^{-4}$ ($\mu = 0.6172$) とガス圧が支配的であるが、 $M \gtrsim 100M_{\odot}$ のような大質量の恒星では輻射圧の寄与が卓越してくる。例えば、 $M = 100, 1000M_{\odot}$ でそれぞれ $\beta = 0.5634, 0.2068$ 。輻射圧が優勢な大質量の恒星の場合、進化の軌跡 (33) は

$$T_c^3/\rho_c = (4\pi)^{1/4} (3G/a)^{3/4} (M/\Phi)^{1/2} \quad (33'')$$

となり、質量依存性は弱くなる。(図 2 参照)。

2.4.1 Mass-luminosity relation

ガス球の光度 (luminosity) L は式 (19') で、表面近くを考えて $M_r \simeq M$ とおくと、

$$L \simeq L_{\text{Edd}} \frac{\kappa_{\text{el}}}{\kappa} (1 - \beta) 4 \frac{1 + N(1 - \beta)}{(4 - 3\beta)(N + 1)} \quad (36)$$

ここで、 κ_{el} は電子散乱による吸収係数であり、

$$L_{\text{Edd}} \equiv 4\pi GcM/\kappa_{\text{el}} \quad (37)$$

は Eddington の限界光度と呼ばれ、静水平衡にある恒星の光度の上限値を与える。すなわち、恒星の光度がこの値を超えると、電子散乱による輻射圧が重力を上回り静的な平衡形状が保持できないことである。大質量星では、水素燃焼段階で中心部に対流領域が発生するが、輻射圧が優勢 ($1 - \beta \simeq 1$) なので

$$\frac{d \log P}{d \log \rho} \simeq \left. \frac{\partial \log P}{\partial \log \rho} \right|_{\text{ad}} = \frac{32 - 24\beta - 3\beta^2}{3(8 - 7\beta)} \simeq 4/3 \quad (38)$$

となり、内部構造は $N = 3$ ポリトロープでの近似できるようになる。 $N = 3$ の場合は、ガス球内部で β が一定になるので、中心の値で置き換えることができる。 $M \gtrsim 100M_{\odot}$ の大質量星では、 $1 - \beta \simeq 1$ となるため、

$$L \simeq L_{\text{Edd}} \propto M \quad (39)$$

となり、光度の質量にはほぼ比例することになる。一方、太陽の 10 倍以下のような質量の恒星では、(35) より $\beta \simeq 1$ 、 $1 - \beta \propto M^2$ となるので、

$$L \propto M^3 (\kappa_{\text{el}}/\kappa) \quad (40)$$

となり、恒星の光度は、質量が小さくなるとともに急激に減少する。

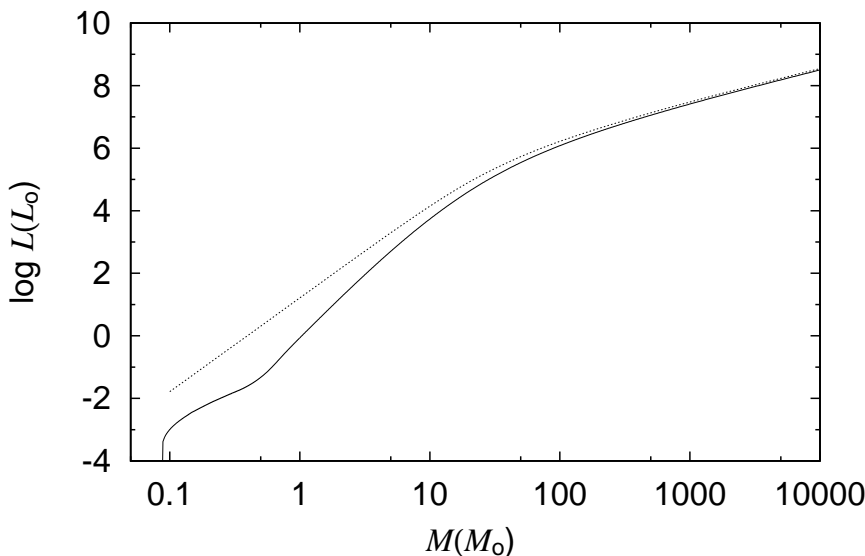


図3. ポリトロープガス球の光度の質量依存性(点線、ただし、級数係数の変動を無視)と数値計算で求めた主系列星の質量光度関係(実線)。

図 3 に中心での水素燃焼段階、すなわち、主系列に到達したとき (zero-age-main-sequence、以後 ZAMS と略す) の質量と光度の関係を示したものである。上記の指數 $N = 3$ のポリトロープの結果はよく主系列星の光度を再現している。特に、大質量の恒星に対してよく成り立つのは、平均温度が高く平均密度が小さいため輻射のエネルギー輸送で電子散乱が支配的であるためである。これに対して $M \lesssim 10M_{\odot}$ の星では、次節でみるように表面温度が下がり、また、外層の平均密度も増加するので、電子散乱によりも free-free や原子の吸収線の寄与が勝ってきて、吸収係数が大きくなる。このため、光度が小さくなり、質量依存性が強くなる。さらに、太陽質量以下で上記の関係から離れて光度の質量依存が弱くなる。これらの恒星では表面温度が低く表面対流層が深くなり、ついには、中心にまで達するので、ガス球内部の熱的な構造が変り、ポリトロープ指數が $N = 1.5$ の構造になるためである。

2.5 表面温度

$N = 3$ のポリトロープで近似できる場合はガス球の光度は中心温度によらず上記の質量光度関係で与えられる。この質量光度関係は Lane-Emden 解が適用できる均一な組成分布を前提としているが、水素燃焼の主系列星の段階までは組成はほぼ一様に保たれる。一方、半径は式 (30') から $R \propto M \rho_c / P_c = M \beta_c / (k T_c / \mu m_a)$ と中心温度の減少関数なので、恒星の表面温度 T_{eff} (正確には有効温度) は中心温度とともに上昇する。したがって、ガス圧が優勢である低質量の恒星では

$$T_{\text{eff}} = \left(\frac{16\pi}{3} \right)^{1/4} \left(\frac{\mu m_a G}{k \Xi} \right)^{1/2} \left(\frac{1}{\kappa} \right)^{1/4} T_c^{1/2} M^{1/4} \quad (41)$$

となり、また、輻射圧が優勢である大質量星では

$$T_{\text{eff}} = \left(\frac{64\pi G}{3a} \right)^{1/8} \left(\frac{\varphi}{\Xi^2} \right)^{1/4} \left(\frac{1}{\kappa} \right)^{1/4} T_c^{1/2}. \quad (41)$$

核反応段階では、ガス球の中心温度は質量とともに若干増加するが、核反応率の温度依存性が強いため、変化量は大きくない (図 2 の ZAMS およびヘリウム燃焼段階参照)。中心温度の変化を別にすると、水素燃焼段階では表面温度は、低質量では質量の $1/4$ に比例して上昇し、大質量星では質量に依らなくなる。図 4 に ZAMS の軌跡を HR 図 (有効温度と光度のグラフ) に示したが、 $10 \sim 100M_{\odot}$ に比べると $100 \sim 1000M_{\odot}$ の表面温度の違いが小さくなっている。

2.5.1 Hayashi の禁止領域

主系列星よりも中心温度が低いガス球では半径が大きく、光度は変わらないので表面温度が低いことになる ($T_{\text{eff}} \propto R^{-1/2} \propto T_c^{1/2}$)。しかし、表面温度が 5000 度くらいより低くなると水素・ヘリウムの電離に伴う対流が深くなり、構造は $N = 3$ のポリトロープとは異なってくる。

理想気体のエントロピーは

$$s = \frac{k}{\mu m_a} \ln(T^{5/2}/P) + \text{const} \quad (42)$$

であったえられ、したがって、ガス球の中心のエントロピー s_c は

$$s_c = \frac{k}{\mu m_a} \ln[R^{3/2} M^{1/2} (G^3 \Xi^3 \Phi)^{-1/2} 4\pi (\mu m_a / k)^{5/2}] + \text{const} \quad (43)$$

で、半径が大きい、すなわち、表面温度が低い程、大きくなる。また、ポリトロープを仮定するとガス球内部でのエントロピー分布は

$$s = \frac{k}{\mu m_a} \ln[K^N T^{3/2-N} (k/\mu m_a)^{N+1}] + \text{const} \quad (44)$$

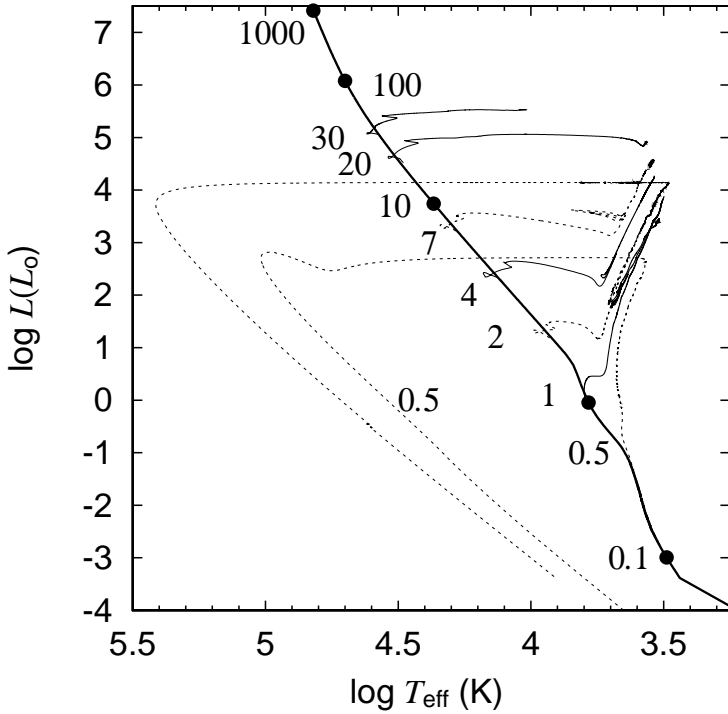


図4. HR 図。太実線はZero Age main sequence stars の軌跡で、その他の線はそれぞれの質量を数字で表した恒星(種族I)進化の軌跡を表す。

となり、 $N > 1.5$ の場合は中心から表面へ温度が減少するとともにエントロピーは増加する。polytrope 定数 K ($P = K\rho^{1+1/N}$) は (30) から質量と半径との間に

$$M^{N-1}R^{3-N} = (4\pi)^{-1}(K/G)^N \Xi^{3-N} \Phi^{N-1} \quad (45)$$

の関係が成り立つ。特に、 $N = 3$ のポリトロープの場合、 K は半径に依存せず、質量だけで決まるので、表面のエントロピー s_{surf} は

$$s_{\text{surf}} = \frac{k}{\mu m_a} \ln[T_{\text{eff}}^{-3/2} (M/\Phi)^2 (\mu m_a/k)^4 4\pi G^3] + \text{const} \quad (46)$$

となり、ガス球の半径が大きくなり表面温度が下がると表面のエントロピーも大きくならなければならぬ。

一方、ガス球は表面の境界条件 (22) を満たさなければならない。温度が 5000 K 以下になると水素は再結合して中性になり、吸収係数は急激に減少する。 H^- イオンによる吸収が支配的になると $\kappa = \kappa_0 P T^\alpha$ ($\alpha \simeq 3$) で近似できる(電子はイオン化エネルギーの低い金属から供給される)。したがって、光球(photosphere) の圧力 P_{ps} は

$$P_{\text{ps}} = \left(\frac{1}{\kappa_0 T_{\text{eff}}^\alpha} \frac{2GM}{3R^2} \right)^{1/2} \quad (47)$$

となる。ただし、 $\bar{\kappa} = \kappa(P_{\text{ps}}, T_{\text{eff}})$ で近似した。これを考慮すると表面での境界条件を満たす光球のエントロピー s_{ps} は

$$s_{\text{ps}} = \frac{k}{\mu m_a} \ln[T_{\text{eff}}^{(5+\alpha)/2} 4R/M^{1/2} (3\kappa_0/2G)^{1/2}] + \text{const} \quad (48)$$

で $L = 4\pi R^2 \sigma T_{\text{eff}}^4$ が与えられれば、表面温度の增加関数ということになる。したがって、半径が大きくなり表面温度がさがると $s_{\text{surf}} > s_{\text{ps}}$ となり、光球のエント

ロピーを上回る表面領域で対流が発生することになる。半径の増加とともにこの表面対流層は深くなる。同時に中心のエントロピーも増加し、 $s_c \geq s_{ps}$ になるとガス球全体が対流で覆われるようになる。

ガス球全体が対流になったときの構造は、輻射圧が無視できる場合は $N = 1.5$ のポリトロープで近似できる。 $N = 1.5$ の場合は polytrope 定数 K はエントロピーに対応する、上の式(45)に光球エントロピーの値を代入すると、光球と中心のエントロピーが等しいという条件から

$$L^{1/2} T_{\text{eff}}^{-(7+\alpha)} M^2 = \left(\frac{k}{\mu m_a}\right)^5 \left(\frac{\sigma}{4^3 \pi^3}\right)^{1/2} \frac{3\kappa_0}{2G^4} \Phi \Xi^3 \quad (49)$$

境き少ス側はよたば一が進
ので減ガ温にれたギ下と
こ在がつ低域見まれルでヘ
表面温度の下限を星を表す。存径も、領で生まネま温
は半をがの後て生工値高
こ在がつ低域見まれルでヘ
K $\propto R^{3/2}$ 中示のでがきに度を離
は恒水平行な星で部た側り、ま
いり近れ
は平衡軌て段方で衡高線
表面温度静水一平軌て段方で衡高線
表び、ロ輻化て期星は静系の
呼びとノ部星まのが様にででき
る呼トに進つ後、にと主林
きとノ部星まのが様にででき
域エのに進す温する。この
在領の4度星在低達ま、
止心層図温恒存に到決き、
禁中流は面はが様にででき
が恒星の、対星表跡核同上量
恒林では面恒の軌心もの原境を
で表。定の中心星線げ、質量が
恒温温でなほ進さ原境を下な部分が
はHR(49)の。るとはらの成こ光射平衡部分が
は半な星もに輻射平衡部分が
係、なる軌こ半な星もに輻射平衡部分が
関線にさすの。に様始と中心部に輻射平衡部分が
の林と小置化い心一原と中心部に輻射平衡部分が
記をこと位進な中りのう、る。
上線いるがはらにかり失とす
界なす球で入うばかをる化

3 相似不变量による構造解析

Lane-Emden 解は単一のポリトロープで表面の自由境界条件を満たすガス球の静水平衡構造を表す。しかし、実際のガス球ではポリトロープ指數に応する $d\log \rho / d\log P$ は内部で変化する。また、境界条件も、例えば核反応が起きている球殻で囲まれた中心部の構造を考える場合は熱浴の境界条件が適当である。これらの異なる条件に対応して、ガス球は Lane-Emden 解とは異なる形狀を持つことになる。

球対称自己重力系が静水平衡のもと取りうるさまざまな形態 (morphology) を一般的に議論するには、相似変換に対して不变な量を用いた方が見通しよいことが知られている。以下のように定義される相似不变量 U, V を導入する。

$$U \equiv \frac{4\pi r^3 \rho}{M_r} = \frac{d \log M_r}{d \log r} = 3 \frac{\rho}{\bar{\rho}}, \quad (50)$$

$$V \equiv \frac{GM_r/r}{P/\rho} = -\frac{d \log P}{d \log r} = \frac{r}{H_P}. \quad (51)$$

ここで、 $\bar{\rho}$ [$\equiv M_r/(4\pi r^3/3)$] は球殻内部の平均密度、また、 H_P ($\equiv |dr/d\log P|$) は pressure scale-height で、圧力が変化する球殻の厚さの尺度をあたえる。上式にも示したが、 U は与えられた球殻の密度とその内部の球の平均密度の比を、および、 V は球殻の重力エネルギーと熱エネルギーの比あるいは shell の厚さを半径との比で表したものである。

第一章で、エントロピー分布を与えると（例えばポリトロープを仮定すると）ガス球の力学構造は式 (9) と (10) で決定されることをみてきたが、これらの方程式は、2 階の微分方程式になっている。これに対して、これらの homology invariants を用いると静水平衡の方程式は

$$\frac{d \log U}{d \log V} = -\frac{U + VN/(N+1) - 3}{U + V/(N+1) - 1} \quad (52)$$

と変換され、1 階の微分方程式に還元される。境界条件は、中心で

$$U = 3 \text{ and } V = 0 \quad (53)$$

となり、また、有限の質量が重力的に束縛された系を考えると表面は

$$U = 0 \text{ and } V \gg 1 \quad (54)$$

を満たさなければならない。

図 5 は Lane-Emden 解を $U-V$ 図上に示したものである。すべて中心で $U=3$ で、一様密度の $N=0$ の場合の解 $U=3$ を除くと、 U は表面に向かって単調に減少し、 $U=0, V \gg 1$ に延びている。Lane-Emden 解は $N=0$ の解 $U=3$ と $N=5$ の解 $2U+V-6=0$ の間に存在する。単一のポリトロープで上記の2境界条件を満たすものは Lane-Emden 解に限られる。

一般的には、polytropic index N は式 (52) が積分可能である限り U と V の任意の関数であってよく、区分的に連続であれば十分である。 N の変動を許せば上記の2境界条件を満たす $U-V$ 平面上の任意の曲線が内部構造の解であり

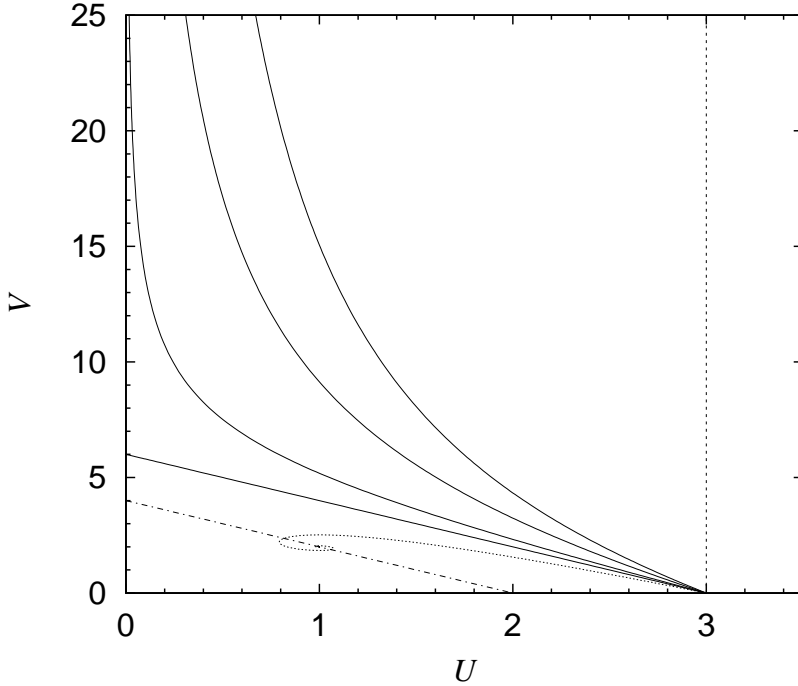


図5. $U-V$ 図上のポリトロープガス球の構造。破線は一様密度 ($N=0$)、実線は上から Polytropic index $N = 1, 1.5, 3.0, 5.0$ の Lame-Emden 解。点線は等温球 ($N = \infty$) の構造。一点鎖線は臨界線 $2U + V - 4 = 0$

得る。この場合、むしろ、式(52)は曲線の勾配 $d \log U / d \log V$ から N を決めるための条件となり、 P と ρ の関係は

$$d \log \rho / d \log P = N / (N + 1) \quad (55)$$

を積分することによって求められることになる。このような構造の実現可能性は、対応するエントロピー分布が妥当であるかどうかにかかっている。

静水平衡のもとでは、圧力はガス球内部で連続かつ微分可能でなければならぬ。一方、密度は組成の分布とともに不連続でありうるので、密度に依存する U, V も必ずしも連続であることを要さない。したがって、 U と V も、化学組成 μ の分布が不連続であれば不連続になり、その飛びの大きさ、 $\Delta U, \Delta V$ は

$$\Delta \log U = \Delta \log V = \Delta \log \rho = \Delta \log \mu \quad (56)$$

で与えられる。さらに、熱輸送に要するの時間尺度に比して短い時間であれば、温度勾配は大きくなりうるので、その極限として、温度、あるいは、エンントロピーの jump がある解も可能である。この場合、 N は負の値にもなりうる。ただし、 U/V は定義より明らかのように連続かつ微分可能でなければならない。

ガス球の構造は $U-V$ 平面の第一象限で曲線で描かれるが、polytropic index N を与えると、その振る舞いは式(52)の分母・分子に対応して

$$g_1(U, V) \equiv U + VN / (N + 1) - 3 = 0 : \quad (57)$$

$$g_2(U, V) \equiv U + V / (N + 1) - 1 = 0 \quad (58)$$

の2本の特性線で特徴づけられる。これらの特性線の上では、 U あるいは V の増分がゼロになる。すなわち、構造線は $g_1(U, V) = 0$ の線上では $dU = 0$ で V 軸に平行に、 $g_2(U, V) = 0$ の線上では $dV = 0$ で U 軸に平行に横切り、 $g_1 \cdot g_2 > 0$ の領域では負の勾配 $dU/dV < 0$ を、 $g_1 \cdot g_2 < 0$ の領域では正の勾配 $dU/dV > 0$ をもつことになる。 $N \leq 3$ の場合は、2本の直線は第一象限で交差せず、3つの領域に区切られる。これに対し、 $N > 3$ の場合は、第一象限で交差し、4つの領域に分割されることになる。その交点

$$U = (N - 3) / (N - 1), \quad V = 2(N + 1) / (N - 1) \quad (59)$$

は方程式(52)の特異解であり、

$$M_r \propto r^{(N-3)/(N-1)} \quad \rho \propto r^{-2N/(N-1)} \quad (60)$$

を与える。ポリトロープの特異解は polytropic index が $N = 3$ を始点として、 $N = \infty$ から $N = -\infty$ へ jump し、 $N = -1$ に増加する（あるいは、 $1/N + 1 = 1/4$ から ∞ まで増加する）まで存在し、

$$2U + V - 4 = 0 \quad (61)$$

の線上を $(U, V) = (0, 4)$ から $(2, 0)$ まで描く。この特異解の集合である臨界線は $U - V$ 平面上での構造を考える上で重要な役割を果たす。

ガス球の構造は polytropic index に依存するが、 $U - V$ 上での軌跡が与えられると N が決まり、構造も決まる。したがって、半径、質量、密度分布等の物理量を N に依存しない形で表すことが可能である。 U, V の定義式の微分から N を消去すると

$$d \log r = \frac{d \log(V/U)}{2U + V - 4} \quad (62)$$

となり、 N を陽にもちいることなく $U - V$ 平面上の軌跡から半径を求めるこどができる。同様に、質量と密度についても

$$d \log M_r = \frac{U d \log(V/U)}{2U + V - 4} \quad (63)$$

$$d \log P = -\frac{V d \log(V/U)}{2U + V - 4} \quad (64)$$

となる。密度分布は質量と半径から求まる。これらの右辺の分母には上記の臨界線が現れる。構造線が $U - V$ 平面上でこの臨界線の近づくと、ガス球の半径が急激に増加することになる。このことは、Lane-Emden 解で N が増加すると半径が増加することにも表れている。同時に質量も増加するが、分子に U がかかるので、 U の小さなところではその効果は小さく、半径に比して増加の割合が押さえられることになる。

半径、質量、圧力は連続関数なので、上の微分式からわかるように、構造線が臨界線(61)を横切るときは、 $d \log(V/U) = 0$ でなければならず、また、左辺はガス球内部で単調関数なので、 V/U の増減は分母の符号によって逆になる。中心は臨界線の上部 $2U + V - 4 > 0$ の領域にあり、 V/U は中心の $V/U = 0$ から表面の $V/U \rightarrow \infty$ に向けて半径とともに増加する。しかし、構造線が臨界線を横切って $2U + V - 4 < 0$ の領域に入ると、半径の増加に伴い V/U は減少するようになり、折り返すことになる。表面の境界条件を満たすためには、再び $d \log(V/U) = 0$ で臨界線を横切り、その上部に出ねばならず、 $U - V$ 面上でループを持つことになる。

Lane-Emden 解は臨界線の上部領域 $2U + V - 4 > 0$ のみを走り、中心から表面まで V/U が単調に増加する。これに対して、ガス球内部での polytropic index の変動を許すと表面と中心の境界条件を満たし、かつ V/U が極値をもち、 $U - V$ 平面上でループを持つ構造が可能となる。以下で、まず、単純なポリトロープの場合の相似不变量面上での解の振る舞いについて調べ、次いで、進化の後期の赤色巨星構造を理解するうえで重要なループを持つ構造を double polytrope を例として調べる。

3.1 単一ポリトロープ

ガス球内部の状態方程式が单一の polytropic 指数で記述される最も単純なポリトロープでは、先に議論した Lane-Emden 解がある。これは、中心と表面との両境界条件を満たす解であるが、この条件を緩めると Lane-Emden 解を持つ $0 \leq N \leq 5$ 以外の index に対しても静水平衡(52)の解が可能である。中心での境界条件を考慮して $U = 3$ のまわりで展開すると

$$U = 3 - \frac{3N}{5(N+1)}V - \frac{3N(N-5)}{7 \cdot 25(N+1)^2}V^2. \quad (65)$$

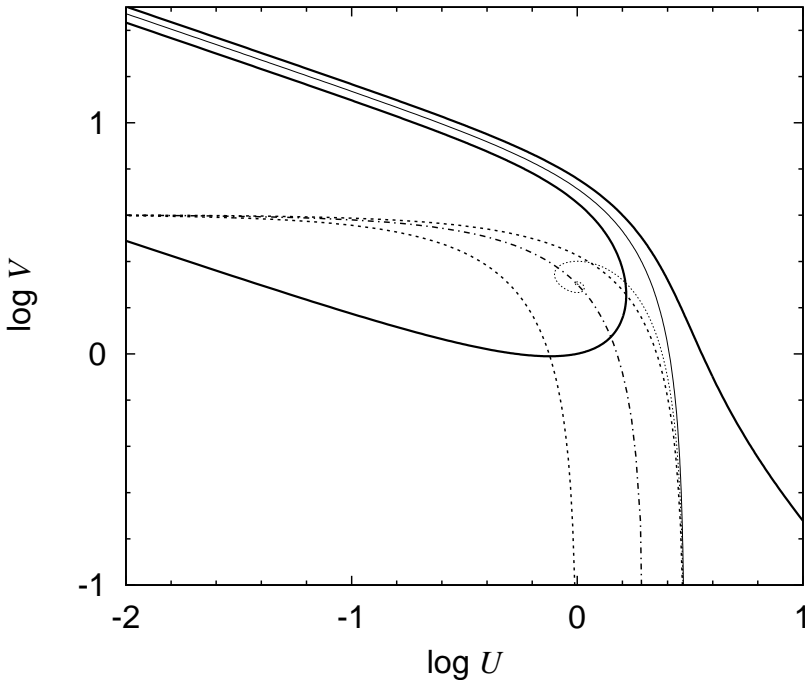


図6. $U-V$ 図上でのさまざまなポリトロープガス球の静水平衡の解と Lane-Emden 解の比較(細実線)。太実線は表面条件を満たす condensed 型と collapsed 型(Polytropic index $N=3$ の場合)であり、点線は中心条件を満たす等温解($N=\infty$)。破線と一点鎖線はそれぞれ式(58)の特性線と(61)の臨界線を表す。等温解は臨界線上に focus point を持つ。

したがって、 $N > 5$ (N が負の場合も含めると $1/N + 1 < 1/6$) の場合、中心での境界条件を満たすものは $N=5$ の Lane-Emden 解 $2U + V - 6 = 0$ と $V = 0$ の間を通り、臨界線(52)上の特異解に反時計回りに漸近することになる。これらの解は、 $N \geq 5$ の範囲での特異解は $U \geq 0.5$ のため、表面の境界条件は満たさない。図5に例として等温球($N=\infty$)の構造を示した。この解は中心から表面に向かって積分すると、臨界線上の特異解 $(U, V) = (1, 2)$ の周りを渦巻きながら近づいていく。この点は $\rho \propto r^{-2}$, $M_r \propto r^{-1}$ の等温特異解に対応している。

これとは逆に、表面の境界条件を満たす解は、Lane-Emden 解以外は中心の境界条件を満たすことができない。図6にこれらの解の例をいくつか示す。Lane-Emden 解を境として、表面で U の大きい側を走るものと小さい側を走るものに分かれる。前者の場合、表面から内部に向かって積分すると、Lane-Emden 解に比べて質量の被積分関数は常に大きくなるため、質量の変化率が大きく、有限の半径で $M_r = 0$ となる。すなわち、 $V = 0$ の中心に到達する前に $U \rightarrow \infty$ となる。この解は中空の構造を表し、中心崩壊型(centrally-collapsed type)の解と呼ばれる。一方、表面での V の値を Lane-Emden 解より小さくとり中心に向かって積分すると、逆に、Lane-Emden 解より質量の変化率が小さいため、半径が $r = 0$ となっても有限の質量 M_r が残ることになる。これは、中心に点状の重力源が存在することを意味し、この解は、中心集中型(centrally-condensed type)とよばれる。 $r \rightarrow 0$ での振る舞いは、まず、 $g_1 = 0$ を縦断すると U が増加から減少に転じ、さらに、 $g_2 = 0$ を横断すると、 V が減少から増加に転じる。このため、 V は中心に近づいても有限の値にとどまることになる。その後の振る舞いは、polytropic index N の値によって異なる。 $N < 3$ の場合は、 $U \rightarrow 0$ とともに V は増加して $N+1$ に漸近していく。一方、 $N > 3$ の場合は、上述の特異解に時計回りに渦巻きながら漸近していくことになる。

中心崩壊型、中心集中型の解は、単一のポリトロープとしては恒星の境界条件を満たすことはできない。しかし、異なる polytropic index の多成分を連結することによって、中心と表面の境界を条件を満たすことが可能である。特に、中心集中型の場合は、進化して凝縮した中心核を持つ場合の外層の構

造に対応することになる。

3.2 Double Polytrope

Lane-Emden解は $U-V$ 面上では中心から表面まで V/U が単調に増加、交差しない曲線で表されるが、これ以外にも恒星内部で V/U が複数の極値をもち、ループを描く曲線で表される解が可能である。ループの数は原理的にはいくつでもよいが、ここでは、one loopの構造を与えるDouble polytropeを例として考える。

Double polytropeは異なる polytropic 状態方程式 (polytropic constant と polytropic indices の一方あるいは両方が異なる) に従う2成分からなる系であり、密度と圧力は2成分の総和で与えられるとする。したがって、状態方程式は、

$$\begin{aligned} P &= P_1 + P_2 \quad : \quad \rho = \rho_1 + \rho_2, \\ P_1 &= K_1 \rho_1^{1+1/N_1}, \quad P_2 = K_2 \rho_2^{1+1/N_2}. \end{aligned} \quad (66)$$

また、静水平衡の方程式 (9) (10) も各成分に毎に分解できて、それぞれ、

$$\begin{aligned} dm_1/dr &= 4\pi r^2 \rho_1 & dP_1/dr &= -\rho_1 G(m_1 + m_2)/r^2 \\ dm_2/dr &= 4\pi r^2 \rho_2 & dP_2/dr &= -\rho_2 G(m_1 + m_2)/r^2 \end{aligned} \quad (67)$$

と書けるとする。この仮定は各成分は重力を通してのみ相互作用している場合と同じになる。これらの式をポリトロープの場合と同様に、それぞれの成分の中心密度 $\rho_{1,c}$ と $\rho_{2,c}$ と中心圧力 $P_{1,c}$ と $P_{2,c}$ を用いて無次元化する。密度に関しては、

$$\rho_1 = \rho_{1,c} \theta_1 \quad : \quad \rho_2 = \rho_{2,c} \theta_2 \quad (68)$$

とするが、半径と質量に関しては共通の半径係数と質量係数を用いて、

$$m_1 = M'_0 \varphi'_1 \quad : \quad m_2 = M'_0 \varphi'_2 \quad : \quad r = R'_0 \xi' \quad (69)$$

とおく。ここでは、成分1の分布に注目するので、半径係数と質量係数としては成分1の値を採用し、

$$R'_0 = \left[\frac{(1+1/N_1)}{4\pi G} \frac{P_{1,c}}{\rho_{1,c}} \right]^{1/2}, \quad M'_0 = \left[\frac{(1+1/N_1)^3}{4\pi G^3} \frac{P_{1,c}^3}{\rho_{1,c}^4} \right]^{1/2} \quad (70)$$

を用いる。一成分系の場合の式(30)の定義とはおのおの $(1+1/N)^{1/2}$ 、 $(1+1/N)^{3/2}$ の係数だけ異なる。さらに、2成分の関係を与えるパラメータ、 α と β 、として2成分の中心での密度比と熱エネルギー比を採用し、それぞれ、

$$\alpha = \frac{\rho_{2,c}}{\rho_{1,c}} \quad : \quad \beta = \frac{(1+1/N_2)P_{2,c}/\rho_{2,c}}{(1+1/N_1)P_{1,c}/\rho_{1,c}}. \quad (71)$$

とおく。これらを代入すると、無次元化方程式は、各成分について、

$$\frac{d\theta_1}{d\xi'} = -\frac{(\varphi'_1 + \varphi'_2)\theta_1^{1-1/N_1}}{\xi'^2} : \quad \frac{d\theta_2}{d\xi'} = -\frac{1}{\beta} \frac{(\varphi'_1 + \varphi'_2)\theta_2^{1-1/N_2}}{\xi'^2} \quad (72)$$

$$\frac{d\varphi'_1}{d\xi'} = \theta_1 \xi'^2 : \quad \frac{d\varphi'_2}{d\xi'} = \alpha \theta_2 \xi'^2 \quad (73)$$

となる。したがって、この系はpolytropic indicesを与えてても、構造は2成分の密度および熱エネルギーによってさまざまな形態をとることになる。系の境界条件としては、中心で

$$\theta_1 = \theta_2 = 1 \quad : \quad \varphi'_1 = \varphi'_2 = 0 \quad \text{at} \quad \xi' = 0, \quad (74)$$

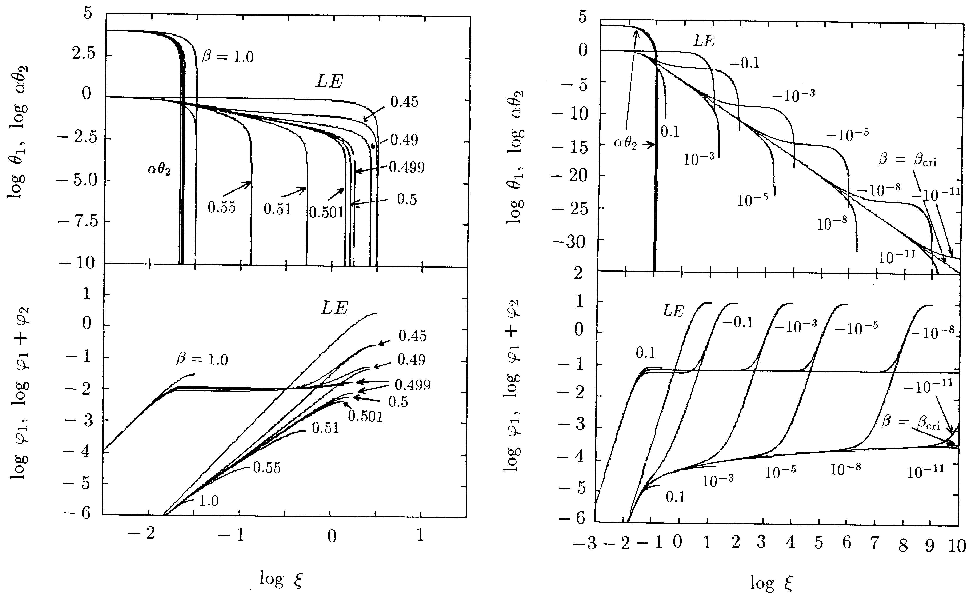


図 7. Double polytrope の各成分の密度分布(上)と質量分布(下)。左は $N_1 = N_2 = 1$ 右は $N_1 = N_2 = 3$ の場合。ともに $\alpha = 10^4$ 、各線に付記した数値は β (左)と $\beta - \beta_{\text{cri}}$ (右図)の値を表す。LE と記した線は中心密度が成分1と同じ Lane-Emden 解を表す(Fujimoto & Tomisaka 1992)。

である。表面は

$$P = 0, \quad \text{あるいは} \quad \theta_1 = \theta_2 = 0 \quad (75)$$

で与えられるが、各成分の表面(密度が消える半径)は必ずしも一致しない。式(72)の力学的な釣り合いの式は $\varphi_1 + \varphi_2$ を消去することによって積分できて、

$$N_1 \theta_1^{1/N_1} - \beta N_2 \theta_2^{1/N_2} = N_1 - \beta N_2 \quad (76)$$

したがって、成分間の広がりの関係は中心での熱エネルギーの比で決まる: $\beta = N_1/N_2$ のときは $\theta_1^{1/N_1} = \theta_2^{1/N_2}$ となり、2成分の表面は一致、 $\beta > N_1/N_2$ のときは第1成分の半径が、 $\beta < N_1/N_2$ のときは第2成分の半径が小さくなり、熱エネルギーの大きな成分(hotter component)が熱エネルギーの小さな成分(cooler component)を包み込むことになる。 i -th 成分の密度がゼロになれば、その成分については $\theta_i = 0$, $\varphi_i = \text{const}$ とおいて、残りの成分について、式(72), (73)を積分し、上記の境界条件を満たしたところが複合系の表面となる。

図 7 に $\beta < N_1/N_2$ のときの2成分系の構造を例示した。 β の減少、すなわち、成分1の熱エネルギーが(成分2に比して)大きくなるとともに、成分1の半径は(成分2に比して)大きくなる。特に、cooler 成分(=成分2)の中心密度が大きい $\alpha \gg 1$ の場合は、その表面近くでは $\phi_2 \gg \phi_1$ で cooler 成分が重力では支配的なので、その外側でのhotter 成分(=成分1)の分布は

$$\theta_1 = \left[1 - \frac{N_2 \beta}{N_1} + \frac{\Phi'_2}{N_1 \Xi'_2} \left(\frac{\Xi'_2}{\xi'} - 1 \right) \right]^{N_1}. \quad (77)$$

となる。ここで、 Ξ'_2 , Φ'_2 はcooler 成分の表面半径と全質量であるが、この場合、 $\xi' \leq \Xi'_2$ では、hotter 成分の質量の寄与は無視できるので、cooler 成分の構造は Lane-Emden 解で近似でき、半径係数と質量係数の違いを考慮すると、 $\Xi'_2 = (\beta/\alpha)^{1/2} \Xi'_{\text{LE}}(N_2)$, $\Phi'_2 = (\beta^{3/2}/\alpha^{1/2}) \Phi'_{\text{LE}}(N_2)$ で近似できる(ただし、 $\Phi'_{\text{LE}}(N_2)$, $\Xi'_{\text{LE}}(N_2)$ は Lane-Emden 解の質量と半径)。したがって、cooler 成分の表面重力で決まる β の特性値 β_{cri}

$$\beta_{\text{cri}} = N_1 / [N_2 + \Phi'_{\text{LE}}(N_2) / \Xi'_{\text{LE}}(N_2)] \quad (78)$$

が与えられ、 $\alpha \gg 1$ の場合、 $N_1 = N_2 = 1$ から 3 のとき $\beta_{\text{cri}} = 0.5$ 、から 0.7735 に増加、また $(N_1, N_2) = (3, 1.5)$ の場合は $\beta_{\text{cri}} = 1.1475$ になる。 $\beta \approx \beta_{\text{cri}}$ のとき、式(77)はベキ分布

$$\theta_1 \simeq [1 - \beta_{\text{cri}} N_2 / N_1]^{N_1} (\xi / \Xi_2)^{-N_1} \quad (77')$$

となる。Lane-Emden 解のように自己重力の場合には表面に近づくと密度は指數関数的に急激に減少する。これに対し、2成分系の場合は、cooler 成分による外部重力の影響の下では、hot component の密度はベキ分布になり、減少が遅いため大きな半径がまで広がることになる。Lane-Emden 解と比較すると、 $N_1 = 1$ の stiff な状態方程式の場合には、同じ半径までしか達しないが、 $N_1 = 3$ のように soft な状態方程式の場合は、対応する Lane-Emden 解の半径を超えて大きく膨れた構造が可能となる。これは、上記のベキ分布の適用条件が $M_2 \gg m_1$ で自己重力が無視できるためで、したがって、自己重力が効いてくる (hotter 成分の質量が cooler 成分の質量と同等になる) 半径 ξ'_{sg}

$$\int_{\Xi'_2}^{\xi'_{\text{sg}}} \theta_1 \xi'^2 d\xi' \equiv \frac{\beta^{3/2}}{\alpha^{1/2}} \Phi'_{\text{LE}}(N_2) \quad (79)$$

が適用の上限を与える。この式に上記のベキ分布の式(77')を代入すると、 N_1 が大きく、状態方程式が soft な場合は、圧力に比して密度の減少が大きく、適用可能な半径が大きくなる。とりわけ、 $N = 3$ の場合は右辺が対数積分になり、 $N_1 > 3$ ではこの意味での適用限界はなくなる。

下図は質量分布を示したものである。 $\beta > \beta_{\text{cri}}$ のときは、式(77)からわかるように

$$\xi'_1 = \xi'_2 \frac{\beta[1 - (N_2/N_1)\beta_{\text{cri}}]}{\beta - \beta_{\text{cri}}} \quad (80)$$

で半径が限られ、質量も $M_1 \ll M_2$ となる。これは高密度の中心核の周りを薄い envelope が取り巻く構造に対応する。 β が減少する (すなわち hotter 成分の熱エネルギーが増加する) とともに、半径が増加し、同時に envelope の mass も増加し、 β_{cri} に近づくと $M_1 \simeq M_2$ となり、最大半径 Ξ_{sg} に達する。 $\beta < \beta_{\text{cri}}$ では hotter 成分の熱エネルギーが増加 (β が減少) すると逆に半径は減少することになる。この場合も hotter 成分の質量は増加を続ける。図 7 の $N = 3$ の場合に顕著であるが、密度分布(77)で ξ / Ξ_2 が大きくなると θ_1 は停留値 $(1 - \beta/\beta_{\text{cri}})^{N_1}$ を持つことを使うと、hotter 成分の半径と質量は

$$\begin{aligned} \xi'_1 &= \left(\frac{\beta_{\text{cri}}}{\beta_{\text{cri}} - \beta} \right)^{(N_1-1)/2} \Xi'_{\text{LE}}(N_1) \\ \varphi'_1 &= \left(\frac{\beta_{\text{cri}} - \beta}{\beta_{\text{cri}}} \right)^{(3-N_1)/2} \Phi'_{\text{LE}}(N_1) \end{aligned} \quad (81)$$

で評価できることになる。これらの構造は、中心部の高密度の cooler 成分とそれを取り囲む低密度の hotter 成分の2つの Lane-Emden 解が重ね合わせになっている。その際、後で見るように、cooler 成分の表面近く、密度は cooler 成分が勝っているが、圧力は hotter 成分が支配する緩衝地帯ができ、その外側で、hotter 成分について cooler 成分の重力に支配されたベキ分布が実現する。そのため、外側の hotter 成分については、Lane-Emden に対応する密度は小さくなり、中心密度に対応するものに比して半径が大きくなるということである。さらに、 β が減少するとやがて、Lane-Emden 解に漸近することになるが、これは、hotter 成分の熱エネルギーが増加して、cooler 成分のつくる重力ポテンシャルを大きく上回るようになり (すなわち、 $1/\beta \gg \Phi'_2 / \Xi'_2$)、その影響が無視できるためである。

図 8 に、double polytrope の $U-V$ curve および圧力と polytropic index の分布を示した。cooler 成分の表面に近づくと急激に密度が減少するが、圧力は hotter 成分に支配され殆ど変化しない。このため、外に向けてエントロピーは急勾配で増加、 U 、 V とも小さくなる。この後の振る舞いは、 β と β_{cri} の大小で変わってくる。

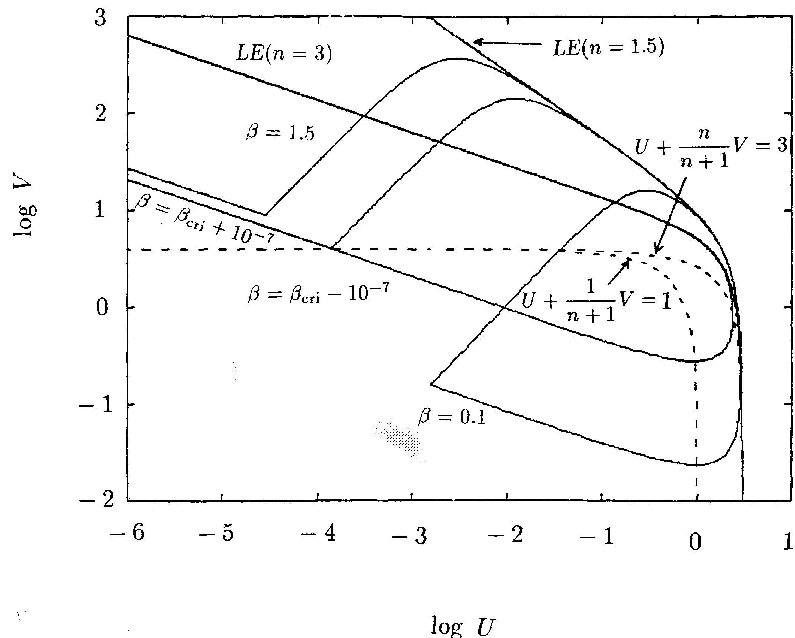


図8. Double polytrope ($N_1 = 3, N_2 = 1.5$) の $\log U - \log V$ 図上で振舞い。
 $\alpha = 10^4$ で β の値は各線に付記した。LEと記した線は polytropic index N の Lane-Emden 解を表す。破線は特性線を記す (Fujimoto & Tomisaka 1992)。

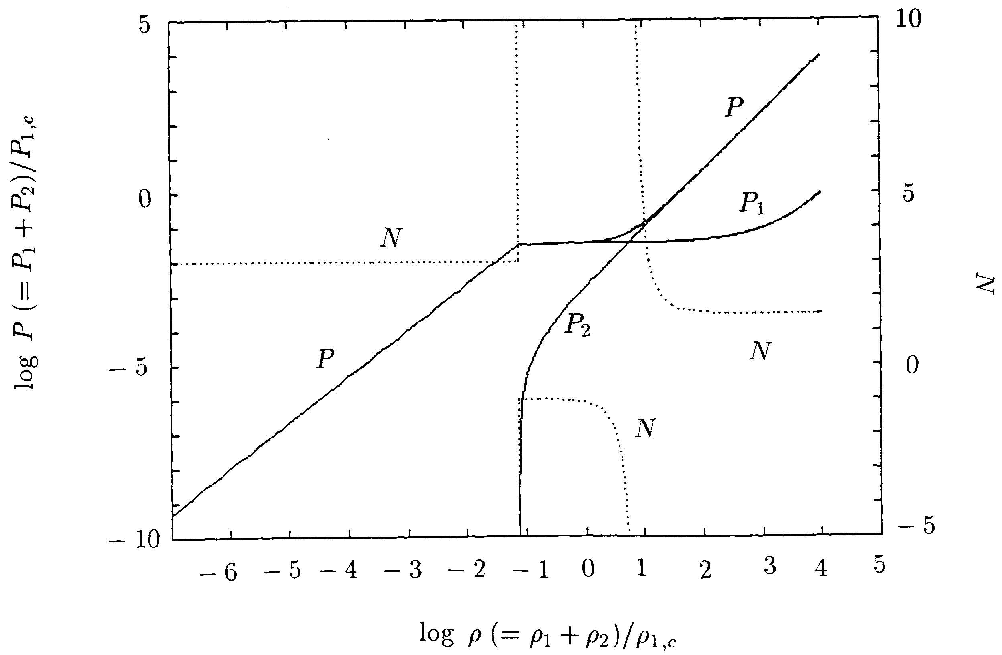


図9. Double polytrope の内部の圧力と polytropic index N の分布。モデルは図8と同じ、 $N_1 = 3, N_2 = 1.5, \alpha = 10^4$ で、 $\beta = \beta_{\text{cri}} - 10^{-7}$ 。polytropic index の分布は、中心の $N = 1.5$ と表面の $N = 3.0$ に加えて、 N が大きくなるいは負になる $1/(N+1) < 1/6$ の遷移層がある (Fujimoto & Tomisaka 1992)。

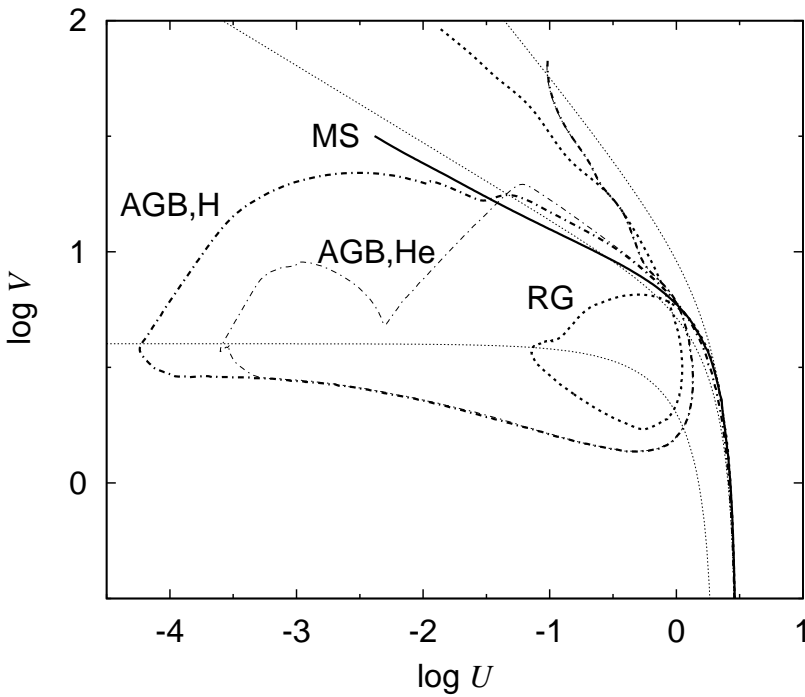


図10. 恒星の $\log U - \log V$ 図上での構造。MS、RG、AGB,H、AGB,He はそれぞれ、主系列段階、赤色巨星分枝段階、水素殻燃焼およびヘリウム殻燃焼が主要なエネルギー供給源となっている漸近巨星分枝段階の恒星内部の構造を表す。赤色巨星以降はループ構造をとる。

- (i) $\beta > \beta_{\text{cri}}$ の場合: cooler 成分の外側のベキ分布では、 $U \propto r^3 \rho \propto r^{3-N_1}$ 、 $V \propto \rho / Pr \sim \text{const}$ となり、この場合 ($N=3$) は一点に留まり、半径が膨張する。表面 $\xi = \Xi_1$ が近づくと $U \sim V^{-3}$ に従って U が減少し、 V が増加して、表面条件 $U/V \rightarrow 0$ に近づいていく。
- (ii) $\beta < \beta_{\text{cri}}$ の場合: ベキ分布での停留点で半径を膨張させた後、 U は増加に転じ (V は $UV^3 \sim \text{const}$ で減少)、ループを描いて、臨界線の上方に出て、Lane-Emden 解に漸近していく。構造線が臨界線を下から上に横切るところは U が大きいので質量が増加する。

図9にDouble polytropeの圧力分布を示した。中心部での圧力は、高密度の cooler 成分で支配され、 $P \simeq P_2 = K_2 \rho_2^{1+1/N_2}$ となる。また、cooler 成分の外側では hotter 成分しかないので表面では、 $P = P_1 = K_1 \rho_1^{1+1/N_1}$ となる。しかし、cooler 成分の表面近くに密度は cooler 成分に支配されているが、圧力は hotter 成分が寄与する transition 領域ができる。polytropic index は

$$\begin{aligned} \frac{N}{N+1} &= \frac{d \log \rho}{d \log P} \\ &= \frac{[1 + \alpha(d\theta_2/d\theta_1)][(N_1/N_1 + 1)\theta_1^{1+1/N_1} + \alpha\beta(N_2/N_2 + 1)\theta_2^{1+1/N_2}]}{(\theta_1 + \alpha\theta_2)(\theta_1^{1/N_1} + \alpha\beta\theta_2^{1/N_2})} \end{aligned} \quad (82)$$

は、中心部では N_2 と表面では N_1 と一致するが、transition 領域では大きく変動することになり、 $1/N+1 < 1/6$ となる。後者は、中心の境界条件を満たす $U-V$ curve が臨界線を上から下へ横切り、ループ構造を実現するための必要条件である。

図10に実際の恒星の $U-V$ curve の例を示した。主系列星では、Lane-Emden 解と同じように、 U/V が中心から表面に向かって単調に減少する。これに対し、赤色巨星、および漸近巨星段階では、ループを持った構造になっている。

この構造の転換は恒星が主系列星から赤色巨星への進化の段階で生じることになるが、これには後でみるように、殻燃焼が密接に関係する。

4 自己重力系の熱力学

4.1 Virial 定理と「負の比熱」

理想気体の単位質量あたりの内部エネルギー u は断熱指数を γ とすると

$$u = \frac{1}{\gamma-1} \frac{1}{\mu m_a} kT = \frac{1}{\gamma-1} \frac{P}{\rho} \quad (83)$$

で与えられ、ガス球の内部エネルギー E_T と重力エネルギー E_G の関係は静水平衡を仮定すると

$$\begin{aligned} (\gamma-1) E_T &= \int_0^M \frac{P}{\rho} dM_r = \int_0^R P 4\pi r^2 dr \\ &= \left[\frac{4\pi r^3 P}{3} \right]_0^R - \int \left(\frac{4\pi r^3}{3} \right) \frac{dP}{dr} dr = -\frac{1}{3} \int_0^M -\frac{GM_r}{r} dM_r \\ &= -\frac{1}{3} E_G \end{aligned} \quad (84)$$

となる。これを Virial 定理といいう*。したがって、ガス球の全エネルギー E と E_T 、 E_G との関係は、

$$E = E_T + E_G = -(3\gamma - 4)E_T = \frac{3\gamma - 4}{3\gamma - 3} E_G \quad (86)$$

となり、ガス球の全エネルギーと内部エネルギーの増減が逆符号になつてゐる。このため、自己重力が支配するガス球の熱的な振る舞いは通常の熱力学系と違うことになる。すなわち、系がエネルギーを失うと、全エネルギー E は減少するが、内部エネルギー E_T は増加して、温度が上昇し、逆に、系がエネルギーを得ると、全エネルギーは増加するのに、内部エネルギーは減少して、温度が下がる。つまり、ガス球はあたかも比熱が負であるかのように振舞うことになる。

この自己重力系の特異な振る舞いは、熱の出入りに対して静水力学的な調整が働くためである。ガス球への熱の出入り、内部エネルギーと重力エネルギーの増減を、それぞれ、 δE 、 δE_T 、 δE_G とすると、断熱指数が $\gamma = 5/3$ の單原子分子の場合、

$$\delta E = \delta E_T + \delta E_G = -\delta E_T = \frac{1}{2} \delta E_G. \quad (87)$$

系の全エネルギーの変化量に対し、内部エネルギーは同じ量だけ逆符号の方向に変化し、重力エネルギーの変化量は同符号で大きさは 2 倍になつてゐる。これは、全エネルギーの変動に伴い、ガス球は膨張あるいは収縮して静水平衡を回復しようとするが、これに要する仕事の結果である重力エネルギーの変動は、全エネルギーの変化量を上回り、その差を内部エネルギーからまかなうことになるためである。静水力学的な調整過程は分解すると次

* ポリトロープの場合、静水平衡の式が積分できて $(N+1)P/\rho + \phi = -GM/R$ の関係があるので、

$$E_G = \int \frac{1}{2} \phi dM_r = -\frac{3}{5-N} \frac{GM^2}{R} \quad (85)$$

となり、重力エネルギーは explicit に質量と半径の関数として書ける。

(下)この力の学になら昇すめ、熱入負工上)が縮の進るの熱重圧(収縮)がな熱比る上)たみ。出が力と張(縮)にはにするは張(収縮)に合要する膨(収)は張(縮)にを)義場にる。却ガ、膨上の系調では張(縮)にを)義場にる。却ガ、膨上の系調では張(縮)にを)義場にる。

4.2 準静的な進化

準静に平衡水の結果、式(87)よりも長く、表面温度が周囲を失う。その結果、宇宙の時間尺度である free-fall timescale $\tau_{\text{ff}} (= 1/\sqrt{4\pi G\rho})$ よりも小さくなる。ガス球は収縮すると表面温度が上昇していく。

note.3 主要なエネルギー源となる核反応

A.3.1 水素燃焼: ${}^1\text{H} \rightarrow {}^4\text{He}$

* 実際には、表面からのエネルギー放出率も温度に依存し、それとの競合で決まる。フィード・バックが働き定常状態が実現するのは、エネルギー発生率の温度依存性の方が強い場合のみである。

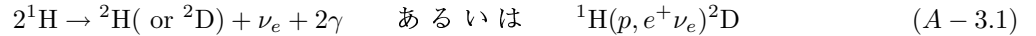
** 実際には、核反応に伴い中心部の平均分子量が増加するのに伴い、中心温度は上昇の傾向を示すが、一般に核反応の温度依存性が強いため、変化量は小さい。

恒星の中で最初に起きる核反応は、最も coulomb 障壁の小さい水素同士であるが、 ${}^1\text{H}$ 同志の反応は β -decay を伴うので、 ${}^2\text{D}(p, \gamma){}^3\text{He}$ が先行する。この反応は、中心温度が $T_c \simeq 10^6 \text{ K}$ で始まるが、もともとの存在量が少ない ($X_2 \simeq 10^{-4}$) ため、エネルギーへの寄与は $E_D = 2.7 \times 10^{14} (X_2/10^{-4}) \text{ erg g}^{-1}$ であり、恒星の重力エネルギー ($GM/R \simeq (k/\mu m_a)T \sim 1.4 \times 10^{14} (T/10^6 \text{ K}) \text{ erg g}^{-1}$) と同程度であり、太陽やそれより重い星では、重力収縮の進行を若干遅らせるだけで、殆ど観測的にも影響はない。太陽に比して低質量の星では、特に、褐色矮星（太陽の0.08倍以下；5章参照）では、光度が小さいため、燃焼の時間尺度は長くなり、宇宙年齢に比して無視できなくなる（この場合、重力収縮の時間尺度も長くなる）。

最初に主要な核エネルギー源となるのは、 ${}^1\text{H}$ から ${}^4\text{He}$ の合成である。この過程で解放される核エネルギーは、生成されるヘリウム原子一個当たり $Q = 26.73 \text{ MeV}$ で、静止質量の 0.71% にあたり、消費される水素原子の単位質量あたりでは $E_H = 6.4 \times 10^{18} \text{ erg g}^{-1}$ となる。反応過程には p-p chain reactions と CNO cycle reactions がある。

A.3.1.1 p-p 連鎖反応

最もクーロン障壁が小さい陽子同志の衝突反応で始まる。陽子同士は束縛状態を持たないため、また、離れ離れになるが、衝突の途中で一方の陽子が中性子に換われば重水素が形成される。陽子の中性子への反応 $p - n + e^+ + \nu_e$ は吸熱反応なので、孤立した状態では起こり得ず、陽子同士が近づいたときのみ起きることができる。このとき、発生した陽電子 (e^+) は周囲の電子と対消滅してガンマ線になり熱エネルギーに転換され、(電子) ニュートリノ (ν_e) はそのまま恒星の外に飛び出してエネルギーを持ち去る。この反応は、



と記す。重水素の原子核と陽子の反応は、核子の組み替えるのみであり、余剰エネルギーを photon として放出する電磁相互作用による反応のため、陽子同志の衝突が weak interaction による核子の転換を伴う p-p 反応と比べて桁違いに早く（太陽の中心温度では、d-p 反応と p-p 反応の時間尺度の比は $\sim 10^{-17}$ ）、重水素が形成されるとすぐに陽子を捕獲して ${}^3\text{He}$ になる。ヘリウムにはもはや陽子は結合できず、また、質量数（原子核中の陽子と中性子の総数）5 の原子核は束縛状態がないので、 ${}^3\text{He}$ の同士で反応し、 ${}^4\text{He}$ が形成されることになる（この反応は、核子の組み換えのみの強い相互作用なので、クーロン障壁が高いにもかかわらず、p-p 反応よりも速い（後者に対する時間尺度の比は、太陽の中心温度では、 $\sim 10^{-5}$ ）。したがって、最も低い温度で起きるのは、分枝 I の



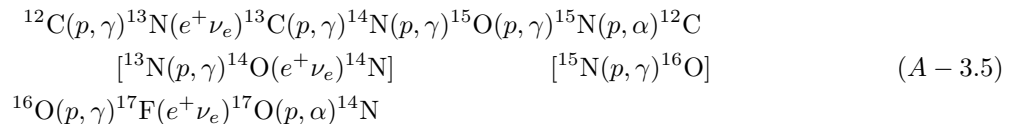
であるが、高い温度では存在量の多い ${}^4\text{He}$ との反応の方が速くなり、



の Li、Be、B が関与する分岐 II、III が支配的になる。これらの反応で最も遅いのは、weak interaction を伴う最初の ${}^2\text{D}$ を形成する反応なので、水素が燃え尽きたとき、 ${}^4\text{He}$ 以外の中間の核生成物は殆ど残らない。

A.3.1.2 CNO 循環反応

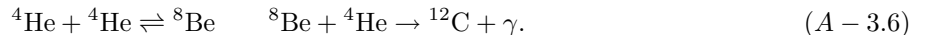
p-p 連鎖反応には、 ${}^2\text{D}$ を形成する最初の衝突反応に weak interaction が関与するために遅く、また、クーロン障壁が小さいために温度依存性も小さく（典型的にはエネルギー発生率の温度依存性は $\varepsilon \propto T^4$ ）、温度が上がってもエネルギー発生率の増加は比較的緩やかである。これに対し、CNO の陽子捕獲は、温度が上がるとともに急激に早くなり ($\varepsilon \propto T^{12}$)、クーロン障壁の高いにもかかわらず、 $T \gtrsim 2 \times 10^7 \text{ K}$ ではかえって p-p 反応よりも速くなる。CNO サイクルでは、陽子を中性子に転換する weak interaction は不安定原子核の β -decay の形をとるため十分早い (${}^{13}\text{N}$, ${}^{14}\text{O}$, ${}^{15}\text{O}$, および ${}^{17}\text{F}$ の lifetime はそれぞれ、862, 102, 176, 93 秒)。この場合、ヘリウムの形成は、CN cycle と ON cycle の 2 重循環からなる。



この反応では、CNO元素は触媒として働くため、水素が燃え尽きても残るが、その組成比は、反応前のそれとは異なり、循環反応なので、各元素の組成は、生成率と崩壊率の釣り合いで決まる。CNO反応で最も陽子捕獲の反応率が小さいのは¹⁶Oであるが、一旦反応すると¹⁷Oの陽子との反応率は速いので、¹⁴Nになる。CNサイクルの最後の分岐に位置する¹⁵Nの¹⁶Oを生成する(*p*, γ)反応は¹²Cを生成する(*p*, α)反応に比してbranching ratio(分岐率)が~1:1000と比して圧倒的に小さいので、殆どのCNO元素は、その次に陽子との反応率が小さい¹⁴Nに変換されることになる。AGB段階でCNO循環反応の起きる温度は高くなり、 $\simeq 10^8$ K近くに達するが、 $2 \times 10^7 \simeq 10^8$ Kで典型的な組成比は、C:N:O $\simeq 0.007 \sim 0.05 : 1 : 0.068 \sim 0.01$ 。近接連星系で、白色矮星や中性子星の表面に、伴星からガスが降り積もり水素燃焼に点火した場合は、さらに高温になることがあるが、その場合は陽子捕獲反応が β -decaysより早くなり、¹⁴Oや¹⁵Oが多くなる。

A.3.2 ヘリウム燃焼: ${}^4\text{He} \rightarrow {}^{12}\text{C}, {}^{16}\text{O}$

ヘリウム原子核の2体反応で形成される⁸Beは不安定核で、 10^{-16} 秒で2個のヘリウム原子核に崩壊する。しかしながら、熱力学的な平衡下では不安定核もわずかながら存在し、この⁸Beに第3のヘリウム原子核が衝突・反応して炭素が形成される。このため、温度としては $\simeq 2 \times 10^8$ Kと水素燃焼に比してかなりの高温を要する。反応過程としては、



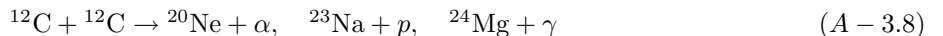
この炭素の合成は3個のヘリウム原子核が関与するので、 3α reactionsと呼ばれる。反応率は、ヘリウムの存在量Yの3乗に比例するので、Yの減少とともに急激に遅くなる。一方、形成された¹²Cの量が増えると、



が相対的に速くなり、¹⁶Oの合成が進む。結果として、ヘリウム燃焼後には炭素と酸素が残ることになるが、割合は、温度等にも依存する。これらの反応のQ-valuesは 3α reactionと¹²Cの α 捕獲について、それぞれ、7.275 MeVと7.162 MeVである。これは単位質量あたりにすると、ヘリウムから炭素が合成されるとき、また、酸素が合成されるとき、それぞれ、 $E_{He} = 5.8 \times 10^{17}$ と 1.01×10^{18} erg g⁻¹であり、単位質量あたりの核エネルギーとしては水素核反応の約1割である。

A.3.3 炭素燃焼: ${}^{12}\text{C} \rightarrow {}^{20}\text{Ne}, {}^{24}\text{Mg}$

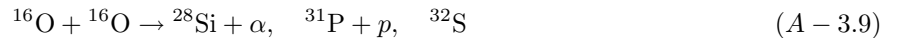
$T \simeq 6 \times 10^8$ Kになると、炭素原子核同士の2体反応が可能となる。核子数が多くなると、核子あたりの結合エネルギーが小さくなるため、これらの重元素では、核生成物に複数の組み合わせが可能となり、反応性生物が分布する。炭素の場合は、



となるが、主要な生成物は²⁰Neおよび²⁴Mgである。反応のエネルギーは $Q(C \rightarrow Mg) = 13.993$ MeVであり、 $E_C = 5.6 \times 10^{17}$ erg g⁻¹である。

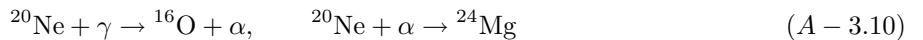
A.3.4 酸素燃焼とネオングの光分解: ${}^{16}\text{O}, {}^{20}\text{Ne} \rightarrow {}^{24}\text{Mg}, {}^{28}\text{Si}$

$T \simeq 10^9$ Kになると、酸素原子核の2体反応が可能となり、反応生成物としては、



で、この反応の主要な核生成物は²⁸Siであり、エネルギーは $Q(O \rightarrow Si) = 9.593$ MeVであり、 $E_C = 2.9 \times 10^{17}$ erg g⁻¹である。

一方、²⁰Neの α 粒子の放出の閾値は $Q = 4.73$ MeVであるが、 $T \simeq 10^9$ K = 0.086 MeVになると、Plank分布のhigh energy tailの属する、この閾値以上のエネルギーの γ 線の数密度が多くなり、

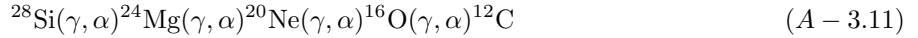


の過程でネオングの分解が進むことになる。このとき解放されるエネルギーは $E(2\text{Ne} \rightarrow O + Mg) = 7.3 \times 10^{17}$ erg g⁻¹となる。

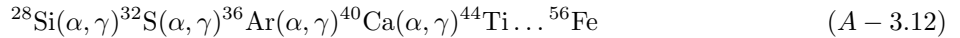
酸素燃焼とネオングの光分解はほぼ同じ温度でおきるが、密度依存性は、それぞれ、2乗と1乗と違っているため、質量の小さな恒星では、酸素燃焼が先行し、質量の大きな恒星ではネオングの光分解が先行することになる。核生成物としては、²⁸Siと²⁴Mgが残る。

A.3.5 シリコン燃焼: : ^{24}Mg 、 $^{28}\text{Si} \rightarrow ^{56}\text{Fe}$

Si や Mg の原子は、クーロン障壁があまりにも高いので、2 体反応が可能な温度に達する前に光分解が進むことになる。 $T \simeq 3 \times 10^9$ Kになると、



の過程で、次々と α 放出が続き、その結果できた O、C は 2 体反応で Si、Mg、Ne を形成するという形で分解が進行していく。放出された α 粒子は



と次々と吸収されていくが、途中で 2 回 β -decays を経て、 ^{56}Fe の合成に至る。

5 裸燃焼の物理 I—等温中心核の熱的な安定性

これまで中心での核反応の進行について議論してきたが、ガス球は温度勾配があるため、核反応は温度の高い中心部で速く進行する。その結果、内部の組成分布は一様ではなくなるため、力学的な構造も、単純なポリトロープのLane-Emden解で表されるようなものとは異なり、また、熱的な特性、調整機構も違ってくる。

5.1 Schönberg-Chandrasekhar 限界

centrally-condensed type の 2 種類の解を継ぎ合わせで構成される。

図11の $U-V$ 平面上に、 $N=\infty$ の等温中心核と $N=1.5$ の外層の 2 つの polytrope の複合で表される解を示した。等温の polytrope の $U-V$ curve 上の任意の点で接合が可能であるが、fitting point が中心から離れるに従って中心と中心核の外縁との密度比

$$\delta = \rho_c / \rho_1 \quad (88)$$

は大きくなる（下付の数字 1 は中心核の外縁を指す）。それとともに、最初は V/U の値は増加するが、 $\delta=132.9$ で最大値 $V/U=2.9$ に達した後、減少に転じ、その後も増減を交互に繰り返し特異解の周りを周回しながら近づいていくことになる。

全質量に占める等温中心核の mass fraction $q = M_1/M$ は、fitting point が外へ移動するに伴い最初は増大するが、その変化は単調ではない。図12に等温中心核の mass fraction を中心と外縁との密度比 δ の関数として示した。中心核の占める割合は、

$$q \equiv q_{SC} = 0.393 \sim 0.339 \quad \text{at} \quad \delta \equiv \delta_{SC} = 36.7 \sim 31.6 \quad (89)$$

(for $N = 1.5 \sim 3$) で最大値に達する。この点を過ぎると減少し、 $\delta = 4.4 \times 10^3 \sim 3.84 \times 10^3$ で極小値 $q = 0.238 \sim 0.208$ を経て再び増加に転じる。このことは、mass fraction がこの最大値を越える等温中心核の場合、外層との境界での連続の条件を満たす静水平衡な解が存在しないということで、圧力を連続にすると境界で温度が不連続になるということを意味する。

したがって、熱的に安定に存在できる等温中心核には、mass fraction に上限造中ら関中流に比伴膨流の構はなどとをへ造のにはへ負があることになる。すなわち、 $q < q_{SC}$ である場合は、等温中心核を構成されることは、質熱外構正動部外の連続性は、が温「移心」(外)へ負が可能であるが、臨界値 $q = q_{SC}$ を超えると外層と同じ温度の等温「移心」(外)へ負を支えることができず、温度勾配を伴う構造へと重力熱場し、熱が温「移心」(外)へ負を支えることになる。これはガス球の小ささい場合、熱が温「移心」(外)へ負連している(章末の note 参照)。中心核の mass fraction が小出し(外から流入)して、温度が下がり(上がり)、その結果も系と、同熱の中心(外)へ負心部に与える(中心部から奪う)と中心温度が上昇(下降)し、とと熱と熱が外から入り、「負復帰することになる。すなわち、中心核は、通常の熱力学的効果が大きくなり、熱を与える(奪う)から温度が下がる(上がる)ようになり、「負張(収縮)を経て、中心温度が逆に下降(上昇)し、熱が外から入り、「負張(収縮)を続けることになり、さらに温度が下がる(上がる)ようになり、「負比熱」の系になり、その結果、熱的な暴走が起きることになる。

平均分子量の違いを考慮すると、 q の最大は密度比の小さい $\delta = 16.6$ で起きこ層が不安定になり、中心核も mass fraction の臨界値はも $q_{SC} = 0.078$ と小さくなる。外層が外層とヘリウム中心角の分子量を $\mu_e = 0.617$ 、 $\mu_c = 1.327$ とした。この関係の底との密度比 μ_c/μ_e を考慮すると $\delta' = \delta(\mu_c/\mu_e) \simeq \delta_{SC}$ 、 $q' = q(\mu_c/\mu_e)^2 \simeq q_{SC}$ のある。臨界値は外層のモデルによても異なり、polytropic index が $N = 1.5$ から $N = 3$ に増加すると減少するが、realisticな吸収係数を用いて外層の積分を解くと、この等温中心核の上限の近似値は

$$q_{SC} \simeq M_1/M \simeq 0.37(\mu_{1,e}/\mu_c)^2. \quad (90)$$

となる。

等温中心核に臨界値が存在する結果、殻燃焼を持つ恒星の進化はウム等の燃焼による太陽燃焼が燃え尽きたときの中心核の大きさに依存することになる。外層は水が核燃料の中の中陽燃焼が形成されたとき、その mass fraction が q_{SC} 以下であればいい。これで水が核燃料の質量の小さな恒星の場合にあたり、中心温度が低い中心部で素燃焼の定の場流のようなら、殻燃焼がおきる静水平衡構造に落ち着く。そのため水素中心不列星の p-p 連鎖反応が支配的で対流が発生しないので、中心部で素燃焼が起こる。その結果は熱的に系で、大質量の主星は、温度依存性の強い CNO サイクルをエネルギー源とするので、水素が減少できたら、準静的な殻燃焼で徐々に燃え広がっていく。それが増加し、mass fraction が限界値 q_{SC} を超えると、中心核は熱的に系で、大質量の主星は、温度依存性の強い CNO サイクルをエネルギー源とするので、水素が減少が発生し、その中で物質が混合されるため、対流層全体で一様に水素が減少

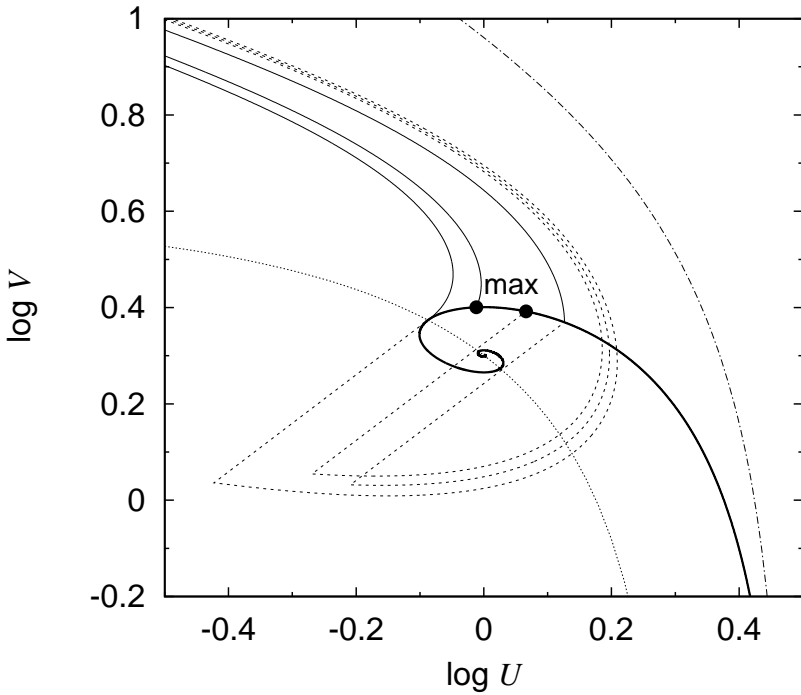


図11. 等温中心核を持つ恒星の $U-V$ 平面上の構造。実線は中心核と外層の平均分子量が同じ場合、破線は、平均分子量の違いに飛びを考慮した場合である。黒丸はそれぞれの場合に等温中心核の mass fraction q が最大になるモデルの中心核と外層の fitting point を示す。一点鎖線は Lane-Emden 解を表す。

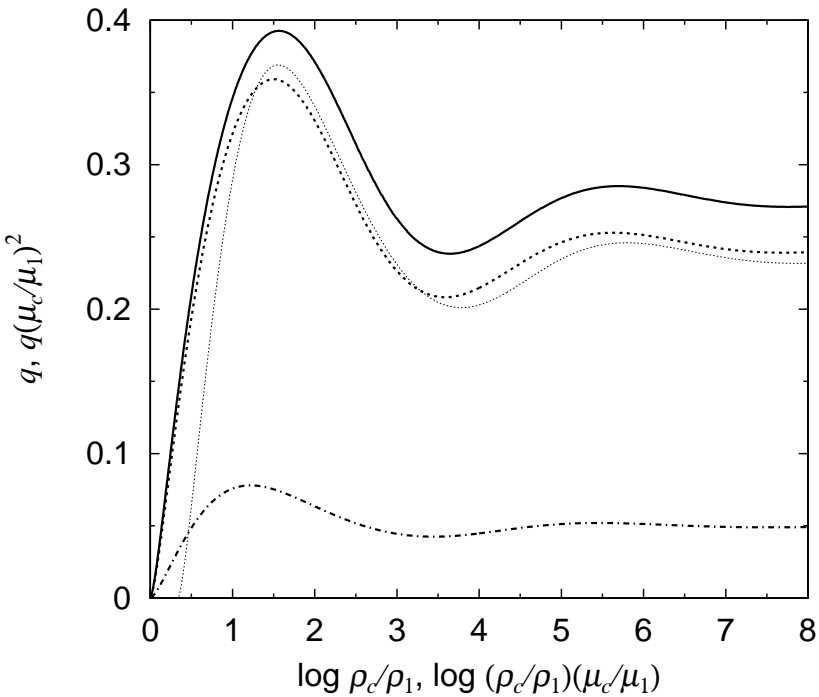


図12. 中心 (ρ_c) と中心核の外縁 (ρ_1) の密度比伴う等温中心核の mass fraction q の変動。実線と破線は中心核と外層の平均分子量が同じ場合で、外層の polytropic index は $N = 1.5$ (実線) と $N = 3.0$ (破線)。一点鎖線は中心核と外層の平均分子量がある場合で、外層の polytropic index は $N = 1.5$ 、点線は横軸を外層の底の密度との比 $\log \rho_c / (\rho_1 \mu_1 / \mu_c)$ 、縦軸を $q(\mu_c / \mu_1)^2$ にとった。

していくことになる。その結果、中心領域で水素が燃え尽きた段階で、中心核の mass fraction は既に臨界量 q_{SC} を上回っていて、中心部で水素が燃え尽きるとともに重力収縮段階に入ることになる。

note.4 重力熱力学的 catastrophe

ガス球は、質量が小さく熱エネルギーに比べて重力エネルギーが無視できる場合には、通常の熱力学系として振舞うが、質量が増加して重力エネルギーが勝ってくるとやがて比熱が負になり自己重力系として振舞うようになる。Schönberg-Chandrasekhar limit の存在は、この通常の熱力学系から自己重力系への転換と関係している。この通常の熱力学から自己重力系の熱力学への転換は Antonov (1962) によって最初に議論された。彼は球形の固定断熱壁で囲まれた空間でランダムな運動をしている恒星系の状態を調べ、(1) エントロピーの極値は等温構造にあたること、(2) 中心密度と外縁での密度比が $\rho_c/\rho_e = 709$ を越えると等温構造が熱的に不安定になることを示した。それを受けて、Lynden-Bell & Wood (1968) は、比熱の概念を適用して議論を整理し、境界条件に対する依存性を含めて一般化した。熱的な不安定によって一旦重力収縮が引き起される止まることがないため、これを“gravothermal catastrophe”と名づけた。その後、Bettwieser & Sugimoto (1984) はこの gravothermal catastrophe を球状星団などの恒星系の core collapse と結びつけ、恒星系では gravothermal oscillation が起きることを示した。彼らはいわゆるガス近似を用いたが、その後、N体計算でも十分大きな系では、同様の現象が起きることが確かめられた (Makino 1996)。

Antonov と Lynden-Bell & Wood は質点系を対象として位相空間の分布関数 $f(\mathbf{x}, \mathbf{p})$ を直接扱い、系の全エントロピー S を

$$S = \int -k f \log f d\mathbf{x} d\mathbf{p} / h^3 \quad (A-4.1)$$

で定義すると、Maxwell-Boltzmann が S の極大値を与えることを示した。ここでは、理想気体を対象として、彼らの議論を辿ることにする。局所熱力学的平衡 (LTE) を仮定し、各部分でガスの specific entropy と specific internal energy を、それぞれ、小文字の s と u で表すと、系のエントロピーと全エネルギーは、

$$S = \int s \rho d\mathbf{x} \quad (A-4.2)$$

$$E = \int (u + \frac{1}{2}\phi) \rho d\mathbf{x} \quad (A-4.3)$$

で与えられる。全質量 M の系が体積 V の断熱壁で囲まれているとき、熱平衡状態は変分原理からに任意の virtual Lagrangian 変位 ξ に対して

$$\delta W = \delta S - \frac{1}{T_e} \delta E - \frac{P_e}{T_e} \delta V = 0 \quad (A-4.4)$$

$$\delta^2 W = \delta^2 S - \delta^2 \left(\frac{1}{T_e} E - \frac{P_e}{T_e} V \right) < 0 \quad (A-4.5)$$

条件からで求められる。ここで、 T_e と P_e は Lagrange の未定係数である。重力エネルギーの変分が

$$\delta \int \frac{1}{2} \phi \rho d\mathbf{x} = \int (\nabla \phi) \cdot \xi \rho d\mathbf{x} \quad (A-4.6)$$

(Chandrasekhar 1969) に留意すると、式 (A-4.4) の変分は

$$\delta W = \int \left[\left(1 - \frac{T}{T_e} \right) \Delta s + \frac{1}{T_e} \left(-\frac{1}{\rho} \nabla P - \nabla \phi \right) \cdot \xi + \frac{1}{T_e} \frac{1}{\rho} \nabla \{(P - P_e)\xi\} \right] \rho d\mathbf{x} = 0 \quad (A-4.7)$$

となる。ここで、 Δ は Lagrange 変分を表す、すなわち、 $\Delta s = s(\mathbf{x} + \xi) - s(\mathbf{x})$ 。したがって、熱平衡状態は、等温の静水平衡のもとで実現することになる。積分の第3項は境界条件 $P = P_e$ を表す。

上記の(A-4.7)の条件が実際 S の最大値をあたえることを診るには、2階の変分をとらなければならない。このことは等温静水平衡構造の熱的な安定性を求めるに対応し、したがって、摂動方程式を解くことになるが、これと等価な方法として linear series の転回点から求めることができる。静水平衡を前提とすると、全エネルギーは

$$E = \frac{GM^2}{R} \left(\frac{3\xi_1^3}{2\varphi_1^2} \int \varpi \xi^2 d\xi - \frac{\xi_1^3}{\varphi_1} \int \varphi \theta \xi d\xi \right) \quad (A-4.8)$$

で与えられる。中心と断熱壁境界との密度比 $\delta = \rho_c/\rho_1$ をパラメータとして静水平衡を満たす構造を求めるに、 δ が増加するとともに全エネルギーは最初は増加するが、 $\delta = 709$ で最大に達し、その後は振動するが、極大値は通減する。この臨界値は、境界条件によってかわり、Schönberg-Chandrasekhar 限界は近似的に一定温度の熱浴に囲まれた場合に対応する。

6 準静的進化の限界 = 恒星の終末

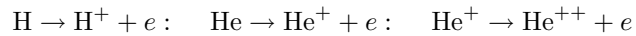
ガス球の準静的な進化が続く条件は、ガス球の静水平衡が保たれることがある。これと「負の比熱」が保持されることである。この2つの条件があると、恒星はその寿命を終えことになる。大質量星は、動的な不安定を起し、中低質量の恒星は、進化の後期に電子縮退によって比熱が正となり終末を迎える。

6.1 動力学的な不安定性 - 中性子星、ブラック・ホール

静水平衡のポリトロープ球の質量は $M \propto \rho_c^{(3-N)/2N}$ となる。すなわち、ポリトロープのガス球では、一様な (homologous) 膨張/圧縮に対して、 $N=3$ 、あるいは、 $\Gamma \equiv 1 + 1/N = 4/3$ を境に質量と中心密度の依存関係の符号が変わることになるが、これは安定性が交替することを意味している。

1. $N < 3$ ($\Gamma > 4/3$) の場合: 静水平衡で支えられる質量 M は中心密度の増加関数なので、膨張/圧縮に対して、元に復元するする力が働く。
2. $N = 3$ ($\Gamma = 4/3$) の場合: 前節の白色矮星のところでも見たように、 M は中心密度によらないため、圧縮/膨張に対して中立で、そのまま停まる。
3. $N > 3$ ($\Gamma < 4/3$) の場合: M は ρ_c の減少関数なので、不安定である。圧縮するとそのままつぶれてしまい、膨張させると逆にそのまま飛び散ってしまうことになる。

理想気体では、断熱指数 $\gamma = (\partial \log P / \partial \log \rho)_{\text{ad}} = 5/3 > 4/3$ (一原子分子の場合) であり、動力学的には安定であるが、電離など相転移が起きる場合には、断熱指数は小さくなり $\gamma < 4/3$ になりうる。温度が1万度を超えると物質は電離するが、



の反応がおきると、圧縮(膨張)させて密度を上(下)げても、仕事が電離のエネルギー(再結合のエネルギーが仕事)に使われて温度が上(下)らないため圧力の増加(減少)は小さくなる。したがって、水素やヘリウムの組成の多い元素の場合は、内部で相転移が起きるとガス全体の断熱指数が $\gamma < 4/3$ になり、ガス球は動力学的に不安定になる。電離の場合には、すべての原子が電離、あるいは、再結合した段階で、断熱指数が通常の値に復し、ガス球は動力学的に安定化、その結果、膨張/収縮は反跳し、収縮/膨張に転じる。これが、セファイドなどの脈動のひとつ機構である。

また、 $(4 \sim 5) \times 10^9$ K を超える高温では、鉄の分解や電子対発生が起きるため、断熱指数が $\gamma < 4/3$ となって、ガス球が動力学的に不安定になる。鉄の分解は、恒星の進化の最後に起きる。中心部に鉄が形成されると、鉄は最も結合エネルギーが大きいため、核エネルギーを使い果たしたことになり、それ以後、鉄からなるガス球の中心部はもっぱら重力崩壊を続けることになる。その結果、高温になり、ついには、熱運動のエネルギーが核子の結合エネルギーを上回るようになり、鉄の分解



が始まり、動力学的な不安定性が誘起される。中心部の崩壊は、原子核が分解して、核子間に反発力が働くようになると一旦崩壊は止まる(減速される)。後から崩落してきた外層はこの中心核に止められて反跳する、あるいは、このような高温・高密度の中心部分では、ニュートリノが大量に発生す

るので、その内部から放出されるニュートリノを吸収して、エネルギーとエネルギーをもつぶれて、得られる。その結果、外層は崩壊から膨張に転じて超新星爆発を起こすことは、中性子星が形成される。初期の質量が大きく中心核の質量が大きい場合は、核力では重力を支えられず、あるいは、反跳を起こすことなく、そのままつぶれて、ブラック・ホールが残されることになると考えられている。これが、鉄崩壊型超新星爆発の機構であり、II型超新星爆発のモデルである。

一方、 $T \gtrsim 10^9$ では、熱輻射のうちでエネルギーが電子の静止エネルギーを上回る熱ガンマ線の割合が多くなり、頻繁に電子陽電子の対発生が起きるようになる。

$$2\gamma \longleftrightarrow e^- + e^+ \quad (92)$$

電子対の熱容量への寄与は、輻射と同程度であるが、ガスの寄与が非常に小さくなる大質量星では、対発生のために、断熱指数が $\gamma < 4/3$ となり、動的に不安定になる。太陽の質量の100倍を超える恒星では、温度が 10^9 K を超えた段階で重力崩壊を起こす。この温度では、中心部はすでに炭素燃焼を終え、酸素で構成されているので、この崩壊によって、中心部の温度、密度が上昇するが、その後度化は質量によって異なる。質量が比較的小さい場合、温度の割り合は重力崩壊による圧縮が比較的小さい段階で酸素燃焼に点火し、反跳が酸素燃焼での発生する核エネルギーが重力エネルギーを上回り、恒星全体が飛び散ることになる。これが、電子対超新星爆発である。さらに質量の大きい恒星では、圧縮が大きく核反応による反跳が起きる前に鉄の分解領域に入ることになる。この場合は、反跳は起こらず、そのまま星全体がブラック・ホールになることになる。

6.2 動力学的な安定性の解析

前節のポリトロープの安定性の議論では、ガス球全体で同じ Γ を仮定した。しかし、相転移で $\gamma < 4/3$ になるのはガス球内的一部であり、その場合には安定性の解析を必要とする。ここで議論するのは、動径方向の断熱的な摂動に対する系の応答である。平衡形状 (subscript 0 で記述) からの Lagrange 的な摂動 (Δ で記述) を考え

$$r = r_0 + \Delta r = r_0(1 + \xi), \quad P = P_0 + \Delta P, \quad \rho = \rho_0 + \Delta \rho \quad (93)$$

として、(9') (10') に時間微分の項を加えた動力学的な方程式

$$\frac{\partial \rho}{\partial t} \Big|_{M_r} + 4\pi r^2 \rho^2 \frac{\partial}{\partial M_r} r^2 \frac{\partial r}{\partial t} \Big|_{M_r} = 0 \quad (9'')$$

$$\frac{\partial^2 r}{\partial t^2} \Big|_{M_r} = -4\pi r^2 \frac{\partial P}{\partial M_r} - \frac{GM_r}{r^2} \quad (10'')$$

の摂動を1次までとる。ただし、断熱過程を考えるので、

$$\Delta P/P_0 = \gamma \Delta \rho/\rho_0. \quad (94)$$

連続の方程式 (9'') の摂動は時間積分できて、

$$\frac{\Delta \rho}{\rho_0} = -3\xi - r_0 \frac{\partial \xi}{\partial r_0}. \quad (95)$$

これを代入して、密度の摂動を消去すると、運動量保存則 (10'') の摂動から

$$\frac{\partial^2 \xi}{\partial t^2} \Big|_{M_r} = \left(\frac{4\pi}{r_0}\right)^2 \frac{\partial}{\partial M_r} \left(\gamma \rho_0 P_0 r_0^6 \frac{\partial \xi}{\partial M_r}\right) + 4\pi r_0 \left[\frac{\partial}{\partial M_r}(3\gamma - 4)P_0\right] \xi \quad (96)$$

となる。Fourier 変換して

$$\xi = \zeta \exp(i\omega t) \quad (97)$$

とおくと固有値問題となり、

$$L[\zeta] \equiv -\frac{1}{r_0^4 \rho_0} \frac{d}{dr_0} \left[\gamma P_0 r_0^4 \frac{d\zeta}{dr_0} \right] - \frac{1}{r_0 \rho_0} \left[\frac{d}{dr_0} (3\gamma - 4) P_0 \right] \zeta = \omega^2 \zeta. \quad (98)$$

これはStrum-Liouville型の方程式で、固有値に最小値 ω_0^2 が存在し、任意の関数 u に対して

$$\omega_0^2 \leq -\frac{\int_0^M u^* L[u] r_0^2 dM_r}{\int_0^M u^* u r_0^2 dM_r} = \frac{\int_0^M 3(3\gamma - 4)(P_0/\rho_0) dM_r}{\int_0^M r_0^2 dM_r}. \quad (99)$$

最右辺では $u = \text{const}$ と置いた*。積分が負になることが不安定性の十分条件で、固有値問題を解き、固有関数を求めるとき、 ω_0^2 はこれより小さくなる。脚注に見るように、ガス球内部で $\gamma < 4/3$ の領域があることが、不安定性の必要条件に寄与することを示している。

6.2.1 Pulsaton Instability

$\omega_0^2 > 0$ の場合は、断熱的な振動に対しては安定であり、平衡形状の周りに振動することになる。この振幅の盛衰は energetics から議論できる。振動の energy E の変化は

$$\begin{aligned} \frac{dE}{dt} &= \frac{d}{dt} \int \left(\frac{1}{2} v^2 + \frac{1}{2} \phi + u \right) dM_r \\ &= \int_0^M T \frac{ds}{dt} dM_r - [4\pi r^2 P v]_0^M = \int_0^M \varepsilon_N - \frac{\partial L_r}{\partial M_r} dM_r \end{aligned} \quad (100)$$

で評価できる**。振動に伴う温度とエントロピーの変化を

$$T = T_0 + \Delta T \quad s = s_0 + \Delta s \quad (101)$$

とおくと、1周期の振動の間の energy gain W は

$$\begin{aligned} W &= \oint \frac{dE}{dt} dt = \oint dt \int_0^M \left(T \frac{ds}{dt} \right) dM_r \\ &= \oint dt \int \Delta T \frac{d\Delta s}{dt} dM_r = \oint dt \int \frac{\Delta T}{T} \Delta \left(\varepsilon_N - \frac{\partial}{\partial M_r} L_r \right) dM_r \end{aligned} \quad (102)$$

となる***。 $W > 0$ の場合は、振幅が成長することになり、これを振動不安定という。この不安定には、最後の括弧の中の第1項の核反応が寄与する場合と、第2項の輻射の流れを決める吸収係数が寄与する場合があり、それぞれ ε 機構(mechanism) および κ 機構(mechanism) と呼ばれる。後者は、一般に、収縮したときの高温時に輻射を堰きとめて暖め、膨張し低温になったときに輻射をより多く逃がしてさらに冷却することによって、振動の振幅を成長させる機構が働く場合で、通常、外層の水素およびヘリウムの電離層で励起される。これに対して、前者の場合には、核反応は高温でエネルギー発生率が大きくなるので常に振幅を成長させる方向に働くが、核反応は中心部に限定され、中心部が振動する場合に不安定化に効くことになる。通常の恒星では、振動の振幅は圧力の小さい外層で大きく、密度の大きい中心部は殆ど振動

*

$$\begin{aligned} \int_0^M u^* L[u] r_0^2 dM_r &= \int_0^R 4\pi P_0 [\gamma r_0 | \frac{du}{dt} |^2 + (3\gamma - 4)(|u|^2 + \frac{d|u|^2}{d \ln r_0})] dr_0 \\ &\quad - 4\pi [\gamma r_0^4 P_0 u^* \frac{du}{dr_0} + r_0 P_0 (3\gamma - 4) u u^*]_0^R. \end{aligned}$$

最後の鍵括弧の中は、表面で $P_0 = 0$ を考慮すると消える。

** $\int \frac{1}{2} \phi dM_r = \int \frac{1}{2G} \phi r^2 \nabla^2 \phi dr = \int -\frac{GM_r}{r^3} dM_r$ を使う。

*** 平衡形状では local に $\varepsilon_N - \frac{\partial}{\partial M_r} L_r = 0$ を使う。

しないので、この機構は働くかない。しかし、太陽質量の ~ 100 近くあるいはあるいはそれ以上の恒星のように、輻射圧の寄与が大きく、断熱指数が $4/3$ に近くなる。したがって、恒星全体が一様に振動するようになり、 ε 機構で脈動不安定になる。したがって、これらの大質量星では、主系列星に達し中心部で核反応が起きた場合になると、脈動が成長して振幅が大きくなり、表面から質量を放出するようになる。その結果、恒星の質量は減少し、脈動が収まることになる。

6.2.2 超大質量星の相対論的な不安定性

質量が増加すると2章の式(35)で見たように、輻射の寄与が大きくなるので、恒星の構造は $N=3$ のポリトロープでの近似がよくなる。したがって、超大質量星では、 $\beta = 4.27\mu^{-1}(M/M_\odot)^{-1/2}$ と小さくなり、断熱指数も $\gamma = (4/3)[1 - (3/4)\beta - (1/8)\beta^2]/[1 - (7/8)\beta]$ となり、動的な安定性の境界である $4/3$ に極めて近くなる。

一方、半径についても、式(30)より、 $R = (\Xi/\Phi)GM\rho_c/P_c$ で与えられるので、重力半径 $R_g = 2GM/c^2$ との比も

$$R/R_g = (\Xi/\Phi)\beta c^2\mu m_a/2k_B T_c = 4.6 \times 10^{12} \mu\beta/T_c \quad (103)$$

となり、一般相対論的な効果も効いてくる。例えば、 $M > 10^6 M_\odot$ 、 $T_c \sim 10^8$ K とすると $R/R_g \lesssim 10^2$ 。一般相対論的な恒星の重力平衡の式は

$$\frac{dP}{dr} = -(\rho + P/c^2) \frac{G(M_r + 4\pi r^3 P/c^2)}{r(r - 2GM_r/c^2)} \quad (104)$$

であった。この方程式は、Tolman-Oppenheimer-Volkoff方程式と呼ばれるが、 $R_g/R \ll 1$ として、1次の摂動まで近似(post-Newtonian approximation)すると

$$\frac{dP}{dr} = -\frac{GM_r\rho}{r^2} \left(1 + \frac{4\pi r^3 P}{c^2 M_r} + \frac{P}{c^2 \rho} + \frac{2GM_r}{rc^2}\right). \quad (105)$$

これは、一般相対性理論の効果を考慮すると、質量と等価なエネルギーにも重力がかかる、重力が強くなることを意味する。したがって、この効果が効いてくると、 $4/3$ より大きい γ に対しても、動的に不安定になりうることを意味する。

一般相対性理論の効果を考慮すると、動的不安定性の条件は

$$\gamma - \frac{4}{3} = \frac{\beta}{6} < 1.1245 \frac{R_g}{R} \quad (106)$$

で与えられる(下記のnote参照)。 β は質量で決まっているので、この条件は質量と半径の関係に書き直せて

$$R < R_{\text{cr}} = 4.8 \times 10^5 \mu \left(\frac{M}{M_\odot}\right)^{3/2} \text{ cm} \quad (107)$$

となる。すなわち、質量を与えると安定に静水平衡を保つことのできる半径に下限があることになる。主系列段階のCNOサイクル反応の起きる温度を $T \simeq 7 \times 10^7$ K とすると、主系列段階の半径は、ポリトロープ $N=3$ の解から、 $R_{\text{ms}} = 8.3 \times 10^{10} (M/M_\odot)^{1/2}$ cm(3章の式[30]参照)となるので、上記の臨界半径 R_{cr} に対応して、主系列段階の恒星の質量の上限値

$$M_{\text{cr}} = 3.6 \times 10^5 M_\odot \quad (108)$$

が定義される。 $M > M_{\text{cr}}$ の恒星は、主系列星になる前に、動的に不安定になり、そのまま重力崩壊して、black hole になる。

一般相対性理論では、いくつかの質量（エネルギー）の表式が定義される。重力質量 M は、

$$M = \int_0^R (\epsilon/c^2) 4\pi r^2 dr$$

で定義され、静止質量、内部エネルギー、および、重力エネルギーを含む。静止質量を含む固有内部エネルギー M_p 、および、固有の静止質量 M_m は、それぞれ、

$$M_p = \int_0^R (\epsilon/c^2)(1 - 2GM_r/c^2r)^{-1/2} 4\pi r^2 dr$$

$$M_m = \int_0^R \rho(1 - 2GM_r/c^2r)^{-1/2} 4\pi r^2 dr$$

で与えられる。ここで、 ρ は物質の静止質量密度であり、 M_m は星を構成するバリオン数に静止質量をかけたものである。重力エネルギー E_G と静止質量を含まない内部エネルギー E_T は、それぞれ、

$$E_G = (M - M_p)c^2 = - \int \frac{GM_r \epsilon}{rc^2} dV - \frac{3}{2} \int \frac{G^2 M_r^2 \epsilon}{r^2 c^2} 4\pi r^2 dr$$

$$E_T = (M_p - M)c^2 = \int \rho u dV + \int \frac{GM_r}{r} \rho u dV.$$

ここで、 u は単位質量あたりの内部エネルギーで、 $\rho u = (\epsilon - \rho c^2)$ であり、

$$P = (\gamma - 1)\rho u, \quad \gamma = \frac{4}{3} + \frac{\beta}{6}.$$

一方、式 (105) を $dV = 4\pi r^2 dr$ をかけて積分すると、

$$3 \int P dV - \int \frac{GM_r \epsilon}{rc^2} dV + \int \frac{GM_r P}{c^2 r} dV - 3 \int \frac{G^2 M_r^2 \epsilon}{c^2 r^2} \rho dV = 0.$$

この最初の 2 項をとると virial 定理に対応する。これを用いると、全エネルギーは

$$E = E_T + E_G = - \frac{\langle 3\gamma - 4 \rangle}{3\langle \gamma - 1 \rangle} \int \frac{GM_r \epsilon}{rc^2} dV + \frac{2}{3} \int \frac{GM_r}{r} \rho u dV$$

$$- \frac{\langle 5 - 3\gamma \rangle}{3\langle \gamma - 1 \rangle} \frac{3}{2} \int \frac{G^2 M_r^2 \epsilon}{r^2 c^2} 4\pi r^2 dr$$

$N = 3$ のポリトロープの解を用いて計算すると

$$\frac{E}{Mc^2} = - \frac{3}{8} \beta \frac{R_g}{R} + 1.265 \left(\frac{R_g}{R} \right)^2.$$

これは E は有限の半径 ($R = R_{\text{cr}}$) で最小値をとり、その半径よりさらに収縮すると、かえって増加し、静水平衡を支えるのにより大きなエネルギーが必要となること、すなわち、ガス球が動的に不安定になることを意味する。

6.3 核爆弾としての終末 - 不発弾あるいは超新星爆発

6.3.1 電子縮退による正の比熱への転化

理想気体の場合、電子とイオンはエネルギーの等分配が成り立つので、それぞれの分圧は、その数密度に比例、したがって、平均分子量に反比例することになる。しかし、電子は質量が小さいために、その運動量はイオンに比して桁違いに小さく、位相空間で占める体積は小さく密度は大きい。静水平

衡のもとでは、ガス球は密度の増加に比して温度の上昇が小さいため、重力収縮して中心密度が高くなるとともに位相空間での密度が高くなり、やがて、Fermi 粒子である電子にはPauli の排他律が働き、電子縮退を起こす。電子は Fermi-Dirac 統計に従い、電子の化学ポテンシャルを ΨkT とおくと、

$$n_e = \int_0^\infty \frac{1}{\exp(\epsilon/kT - \Psi) + 1} \frac{8\pi p^2}{h^3} dp, \quad (109)$$

$$P_e = \frac{1}{3} \int_0^\infty p \frac{\partial \epsilon}{\partial p} \frac{1}{\exp(\epsilon/kT - \Psi) + 1} \frac{8\pi p^2}{h^3} dp. \quad (110)$$

ここで、 ϵ は特殊相対論を考慮した運動エネルギーである $[= (m_e^2 c^4 + p^2 c^2)^{1/2} - m_e c^2]$ 。非縮退、非相対論的な場合、電子の数密度と化学ポテンシャルの関係は

$$n_e = e^\Psi 2(2\pi m_e kT/h^2)^{3/2} \quad (111)$$

で与えられるので、これを使って電子縮退の条件 $\Psi \gtrsim 0$ を書き下すと

$$\rho \gtrsim \mu_e m_a \cdot 2(2\pi m_e kT/h^2)^{3/2} = 8.1 \mu_e T_6^{3/2} \quad (112)$$

(μ_e は電子の一個あたりの平均分子量で、すなわち平均核子数、 $T_6 = T/10^6$ K)。質量の小さいガス球ほど中心密度の割に中心温度が低い(式 [33])ので、電子縮退は低密度でおきることになる。

縮退が強い場合には、ガスの圧力は温度によらず電子密度だけで決まるようになる。完全縮退の下では、電子の数密度と圧力は Fermi 運動量 p_F を用いて

$$n_e = (8\pi/3)(m_e c/h)^3 (p_F/m_e c)^3 \quad (113)$$

$$P_e = \begin{cases} (\pi/3)(m_e c/h)^3 m_e c^2 8/5 (p_F/m_e c)^5 & \text{(N.R.)} \\ (\pi/3)(m_e c/h)^3 m_e c^2 2(p_F/m_e c)^4 & \text{(E.R.)} \end{cases} \quad (114)$$

で与えられる。電子の運動エネルギーが非相対論的(N.R.=non-relativistic)な場合と相対論的(E.R.=extremely-relativistic)な場合の境界は、Fermi エネルギーが $\epsilon_F = (m_e^2 c^4 + p_F^2 c^2)^{1/2} - m_e c^2$ が静止エネルギー $m_e c^2$ に匹敵するようになるという条件(ここでは、 $p_F = 2m_e c$ とおく)で決まり、

$$\rho = \mu_e m_a \frac{64\pi}{3} \left(\frac{m_e c}{h} \right)^3 = 7.8 \times 10^6 \mu_e \text{ g cm}^{-3} \quad (115)$$

であり、これ以上の密度では相対論的な取り扱いが必要となる。したがって、電子の縮退圧は密度の関数としてそれぞれ

$$P_e = \begin{cases} (4/5)(\pi/3)^{2/3} (h/m_e c)^2 m_e c^2 (\rho/\mu_e m_a)^{5/3} & \text{(N.R.)} \\ (\pi/3)^{2/3} (h/m_e c) m_e c^2 (\rho/\mu_e m_a)^{4/3} & \text{(E.R.)} \end{cases} \quad (116)$$

となり、非相対論的な場合は $N = 1.5$ 、相対論的な場合は $N = 3$ のポリトロープとなる。

電子が強く縮退すると、ガス球の熱的な振る舞いが理想気体の場合と異なる。電子の縮退により圧力がイオンの圧力を上回る($P_e \gg P_i$)ようになると、圧力は密度で決まり、温度が変化しても変わらない。したがって、加熱、冷却で熱の出入りがあっても重力エネルギーの変動は無視できるようになり、 $\delta E \simeq \delta E_T$ 、 $|\delta E_G / \delta E_T| \ll 1$ 、すなわち、ガス球の比熱は正の通常の熱力学系となる。このため、恒星はまさに核爆弾そのものとなり、爆弾の命運は、起爆装置が作動するかどうかで分岐することになる。

- I. 恒星は表面からの放射によってエネルギーを失うが、電子縮退によって比熱が正となったもとでは、この輻射による熱損失とともに中心の温度が下がり、恒星全体が冷却していくことになる。この場合、核反応には点火せ

す、いわばガス球は不発弾である。この電子の縮退圧で支えられた恒星が白色矮星である。

- II. ガスは圧縮されるとその仕事に伴って温度が上昇するので、電子が縮退エネルギーを放出することがある。この場合、核反応によってエネルギーが発生して中心温度が上昇しても、膨張を伴わないので、エネルギー発生率が表面からのエネルギー放出率を上回ると、内部エネルギー加熱となって温度が上昇（「正の比熱」）、その結果、核反応率が上昇、エネルギー発生率が増加してさらに温度が上昇しと、温度上昇とエネルギー発生率の増加とが加速されていく。つまり、一旦発火の条件 ($\delta E > 0$) が満たされると、正のフィード・バックが働き、核反応は暴走することになる。

この核反応の暴走は、温度が上昇して、縮退の条件 (112) に達し、電子縮退が解けるまで続くことになる。この現象はflashと呼ばれる。縮退が解けると、比熱が負に戻り、加熱するとともに、ガス球は膨張を始めると、温度の後進化はこの膨張の速さに依存することになる。膨張の速さは、この上昇の時間尺度 $\tau_{\text{exp}} = c_P T / \varepsilon_N$ (c_P はガスの定圧比熱) で見積もられ、これと系の動力学的な時間尺度 $\tau_{\text{ff}} = 1/\sqrt{4\pi G\rho}$ との比較で、結末が異なる。

- (a) $\tau_{\text{exp}} > \tau_{\text{ff}}$ の場合: ガス球は静水平衡を保ちながら膨張し、やがて縮退が解けて「負の比熱」の重力熱力学的な状態を回復、その後は、エネルギーの増加とともに温度が下がり、核反応も遅くなつて暴走が収まり、 $L_N = L$ の安定な核燃焼段階に落ち着くことになる。
- (b) $\tau_{\text{exp}} < \tau_{\text{ff}}$ の場合: 縮退が解けても系の膨張が、エネルギーの増加に追いつかないため、圧力は下がらず、衝撃波が発生、暴走が続くことになる。この結果、発生した核エネルギーがガス球の束縛エネルギー ($-E = -E_T - E_G$) を上回ると、ガス球全体が吹き飛び、超新星爆発に至る。

電子縮退の下では、温度が上がっても、密度、圧力は殆ど変化しないので、縮退が解けるときの温度は縮退の条件から、暴走に点火するエネルギー点火率は、大表層縮り、素にが新白色矮星である。したがって、このときの核反応による高密度で質量增加が降り、高密度から質量が減少するが、(a) の場合とは、表面に降着する間に着火する。この結果、表面近くで水素燃焼に点火する。この場合は、(b) の場合とは、表面近くの密度が小さい層では、動力学的に外層の膨張、燃焼領域の温度が下がり、安定な核燃焼は、燃えている。一方、降着した水素が安定に燃え、これがIa型超新星爆発の機構である。

6.3.2 白色矮星 = 電子の縮退圧で支えられる星

電子が縮退すると、ガス球は冷却して温度が下がり、やがて、電子の縮退圧に比してイオンの圧力が無視できるようになる。電子縮退ガスの状態方程式は、ポリトロープで近似できるので、このときの質量と半径はLane-Emden解から中心密度の関数として求められる。電子のFermiエネルギーが非相対論的な場合は、ポリトロープ指数は $N = 1.5$ であり、半径と質量はそれぞれ、

$$R = 5.777 \left[\frac{h^2}{4\pi G m_e} \frac{1}{5} \left(\frac{3}{8\pi} \right)^{2/3} \left(\frac{1}{\mu_e m_a} \right)^{5/3} \right]^{1/2} \rho_c^{-1/6} \quad (117)$$

$$M = 10.73 \left[\frac{3h^6}{32\pi^2 G^3 m_e^3} \frac{1}{5^3} \left(\frac{1}{\mu_e m_a} \right)^5 \right]^{1/2} \rho_c^{1/2}$$

となる。つまり、白色矮星の質量は中心密度の増加関数ではあるが、半径は、

中心密度の減少関数である。密度を消去すると、質量－半径関係が導かれ

$$RM^{1/3} = \frac{1}{5} \left(\frac{3}{32\pi^2 \mu_e m_a} \right)^{2/3} \frac{h^2}{G \mu_e m_a m_e} \Xi \Phi^{1/3} = 0.040 \left(\frac{1}{\mu_e} \right)^{5/3} R_\odot M_\odot^{1/3} \quad (118)$$

ヘリウムや炭素・酸素($\mu_e = 2$)からなる白色矮星では、最右辺の係数は $\simeq 0.013$ となり、半径は太陽の $1/100$ 程度となる。一方、電子の Fermi エネルギーが相対論的になると、 $P \propto \rho^{4/3}$ 、すなわち、 $N = 3$ となるので、質量は

$$M = M_{\text{ch}} \equiv 16.14 \left[\frac{3}{32\pi^2} \left(\frac{hc}{4Gm_a} \right)^3 \frac{1}{m_a} \right]^{1/2} \mu_e^{-2} = 1.42 M_\odot \left(\frac{2}{\mu_e} \right)^2 \quad (119)$$

と中心密度によらず一意的に決まる。 M_{ch} は Chandrasekhar 限界質量と呼ばれ、電子の縮退圧で支えることのできる質量の上限値をあたえる。半径は、

$$R = 13.79 \left[\frac{hc}{4\pi Gm_a} \left(\frac{3}{8\pi m_a} \right)^{1/3} \right]^{1/2} \left(\frac{1}{\mu_e} \right)^{2/3} \rho_c^{-1/3} = 0.011 \left(\frac{1}{\mu_e} \right)^{2/3} \rho_{c,6}^{-1/3} R_\odot \quad (120)$$

($\rho_{c,6} = \rho_c / 10^6 \text{ g cm}^{-3}$) で、中心密度とともに減少する。したがって、近接連星で伴星からの質量流入で白色矮星の質量が増加すると、中心密度は $\rho_c \propto M^2$ で増加し、半径は、 $R \propto M^{-1/3}$ で収縮していく。質量が M_{ch} 近づくと、中心密度の増加が急激になり、それに応じて半径も小さくなっていく。質量が Chandrasekhar 限界を超えると静水平衡の構造がなくなり動力学的に収縮し、重力崩壊を起こす。実際には、その前に重力収縮で中心密度が高くなり、また、圧縮で温度も上がる所以核反応が点火し、超新星爆発を起こす。

6.3.3 恒星の下限質量と褐色矮星

ガス球の進化は $T_c \propto \rho_c^{1/3} M^{2/3}$ (式 [33]) に沿う。一方、縮退の条件は $T_c \propto \rho_c^{2/3}$ (式 [112]) で与えられる。したがって、電子縮退は、低質量の恒星ほど早く(低密度、低温度で)起きることになる。縮退すると中心温度は下がるので、式 (35)、(112) の 2 条件の交差する温度は、ガス球が到達できる最高温度を与える。密度を消去すると、縮退が始まる温度 T_{deg} は、

$$T_{\text{deg}} = \frac{2\pi (8\pi \mu_e m_a)^{2/3} \mu^2 m_a^2 m_e G^2}{h^2 k} \left(\frac{M}{\Phi} \right)^{4/3} \quad (121)$$

で与えられるので、polytropic index を $N = 1.5$ とおいてこの式を質量について解くと

$$M = 0.023 (\mu^3 \mu_e)^{-1/2} T_6^{3/4} \quad (122)$$

この式に、水素核反応に必要な温度として $T \simeq 2 \times 10^6 \text{ K}$ を代入する ($\mu = 0.61$ 、 $\mu_e = 1.2$) と、主系列星の下限質量が $M \simeq 0.08 M_\odot$ が求まる。質量が $0.08 M_\odot$ 以下のガス球では、中心で水素核燃焼に点火する前に電子の縮退が始まり、そのまま、温度が冷えて、電子縮退で支えられたガス球へと進化することになる。これらの恒星の冷却は、Kelvin-Helmholtz の時間尺度

$$\tau_{\text{KH}} \equiv (GM^2/R)/L \simeq 3 \times 10^7 (M/M_\odot)^2 (R/R_\odot)^{-1} (L/L_\odot)^{-1} \text{ yr} \quad (123)$$

で進むが、低質量星は、光度が低い($L \propto M^{3 \sim 4}$)ために $\sim 10 \text{ Gyr}$ のオーダーでゆっくりと冷えてゆくことになり、また、表面温度も低いため、褐色矮星(brown dwarf)として観測される。質量が上限値に近い場合は、重水素の核燃焼は起きるが、その場合も、中心温度が上昇するわけではないので、p-p chain reactions には点火することなく、そのまま冷えて水素から成る白色矮星になる。

生まれたときのガス球の質量

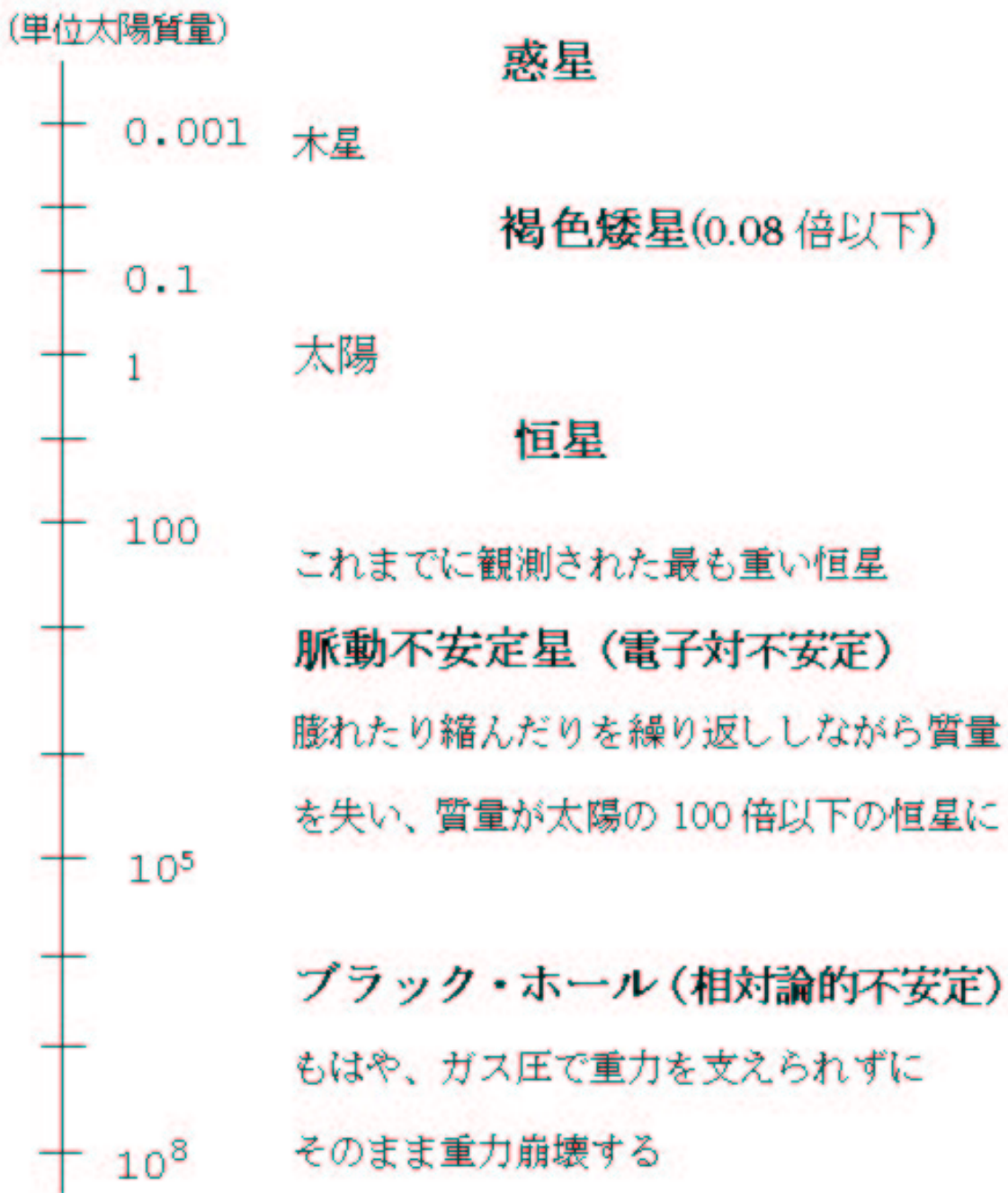


図13 球対称自己重力系天体の運命。褐色矮星以上の重い天体はガス雲の重力収縮によって形成されるが、その振る舞いは質量によって異なる。太陽の0.08倍以上のガス球は中心で核反応に点火、恒星となる。太陽質量の100倍位以上の大質量星は、主系列段階に脈動不安定によって質量を失って軽くなり、鉄分解によって超新星爆発を起こし、さらに重い場合は、重力崩壊してblack holeになる。最も軽い惑星は、恒星の誕生時に、その星周のガス円盤中のダストの凝集によってでききる物体が衝突合体して成長、木星のように重いものはさらにその周りのガスを降着して形成される。

7 殻燃焼の物理 II—巨星分枝への進化とShell Flash

7.1 外層の膨張と核反応生成物の浚渫

一方、低質量星の場合、中心水素燃焼の対流核の質量が小さく、特に、温度依存性の弱いp-p連鎖反応が支配的な場合には対流にはならず輻射平衡で燃える。そのため、中心で水素が燃え尽きた段階で中心核の質量はSchönberg-

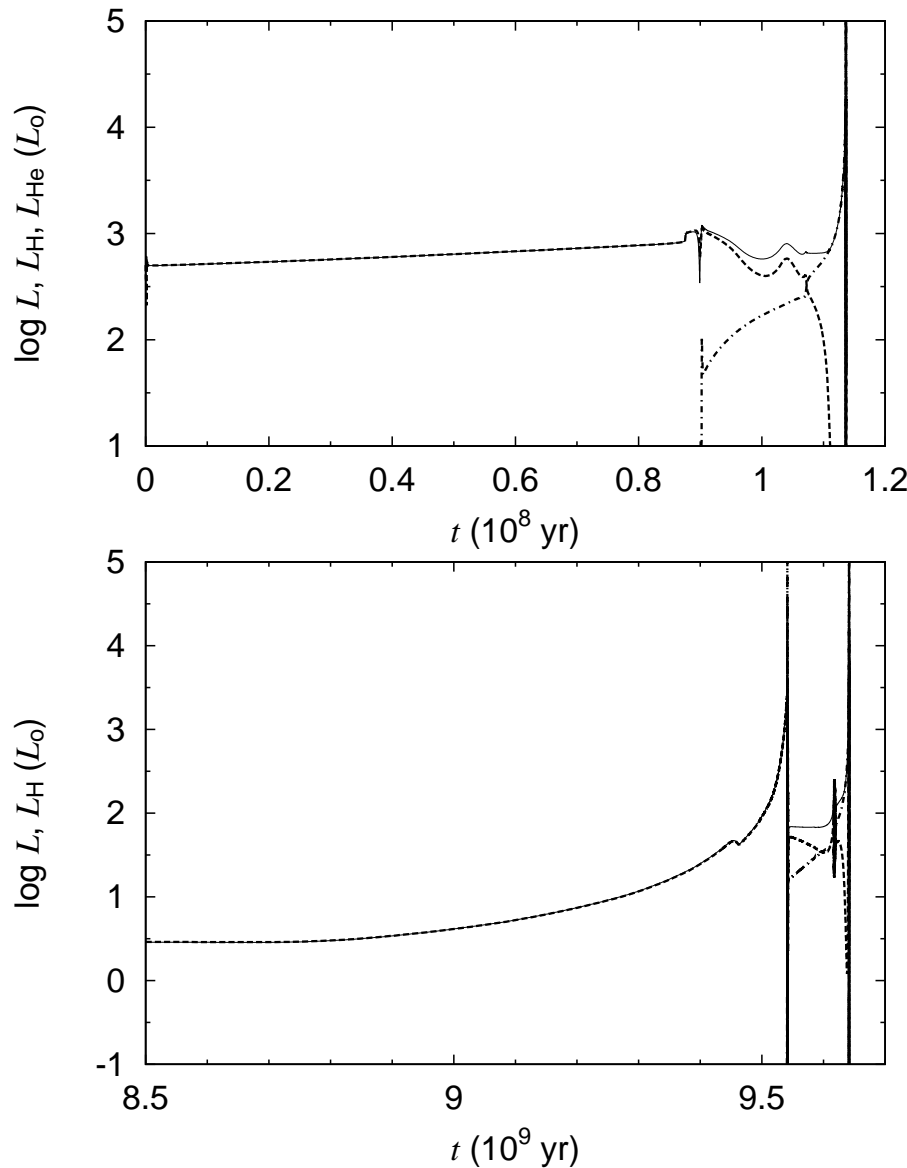


図13. 種族Iの恒星の光度(L :細実線)と水素燃焼およびヘリウム燃焼によるエネルギー発生率(L_H :破線、 L_{He} :一点鎖線)の時間変化。上図は質量 $5M_\odot$ 星について主系列に到達した段階(ZAMS)から赤色巨星段階、ヘリウム中心燃焼を経て漸近巨星分枝に到達し熱パルスが発生するまで、下図は太陽質量の星についてヘリウム中心核の質量がSchönberg-Chandrasekhar限界を超えた段階から漸近巨星分枝までを示した。

Chandrasekhar限界以下であり、中心核は一旦等温構造に落ち着き、その後、水素の殻燃焼によってその質量がSchönberg-Chandrasekhar限界を超えた段階で重力収縮を開始することになる。低質量の場合は温度に比して密度が点滅するので、この重力収縮の途上で、ヘリウム中心核でヘリウム核燃焼の前に縮退の条件(112)に達し中心部で電子縮退が始まるが、電子がイオンの圧力を上回るようになると、圧力は電子密度のみで決まり、依存しなくなるので、力学構造は熱輸送によるエネルギー損失を受けなくなる。この結果、熱輸送の時間尺度での重力収縮は止まるが、電子の縮退圧で支えられるガス球の半径は質量の関数なので(5章参照)、水素の殻燃焼によって質量が増加するとともに、中心核は圧縮されて核

太陽中子恒星はこのでし、心臓昇圧率も上昇する。図13が、心臓昇圧率も上昇する。図13が、心臓昇圧率も上昇する。図13が、心臓昇圧率も上昇する。

7.2 漸近巨星分枝星とヘリウム殻燃焼の熱パルス

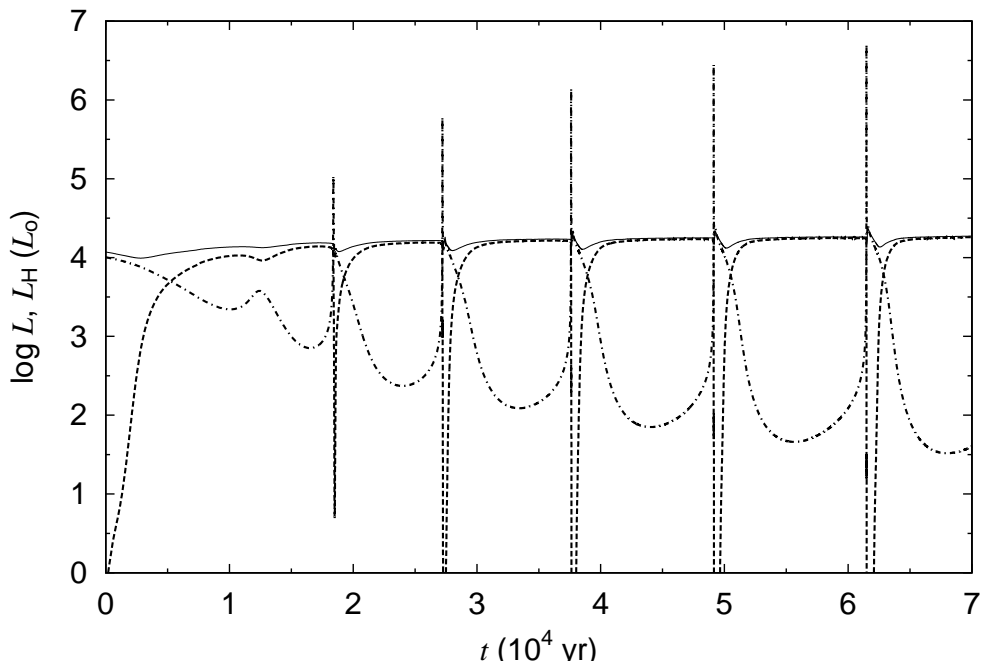


図14. 初期漸近巨星分枝(EAGB)から熱パルス漸近巨星分枝(TP-AGB)段階での光度(L : 細実線)と水素燃焼およびヘリウム燃焼によるエネルギー発生率(L_H : 一点鎖線、 L_{He} : 破線)の時間変化。モデルは質量 $5M_\odot$ 種族Iの恒星。

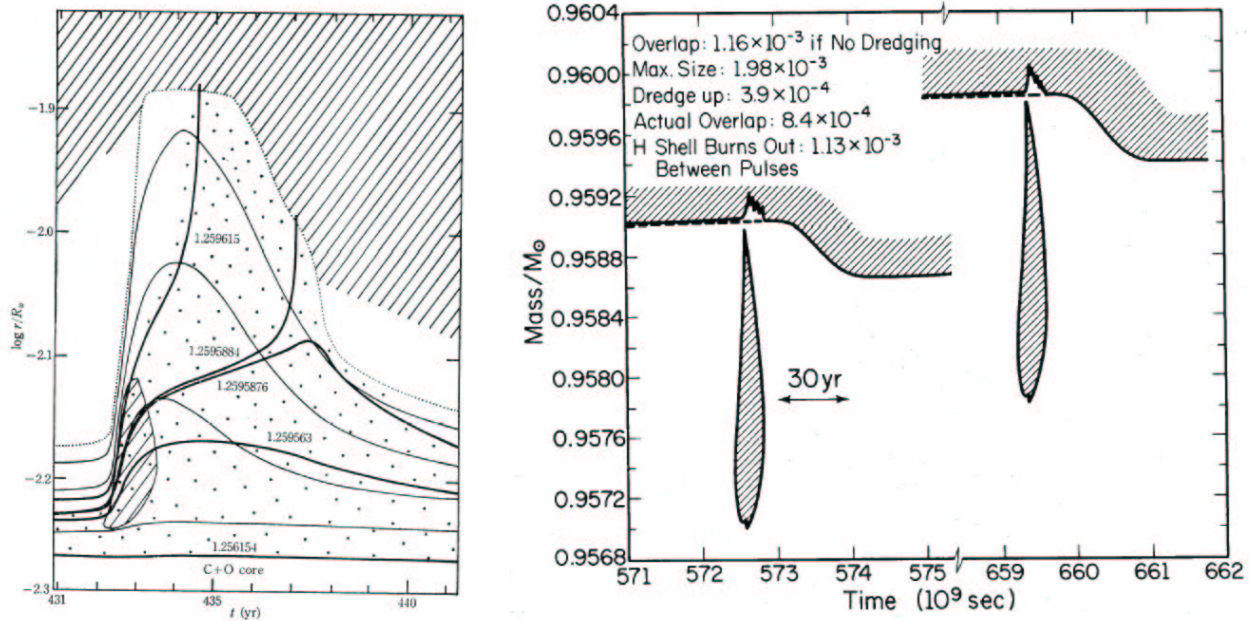


図15. 热パルス中の物質混合。斜線部は対流を表す。左図の縦軸は半径で、太実線はヘリウム・フラッシュでヘリウム層の物質が膨張し、表面対流層に突入する様子を表す (Fujimoto, Nomoto & Sugimoto 1976, PASJ)。右図が縦軸が質量座標(各殻の内側に含まれる質量を表す)でフラッシュ中の対流層と表面対流層に巻き込まれる領域を示したもの (Iben 1976 ApJ)。

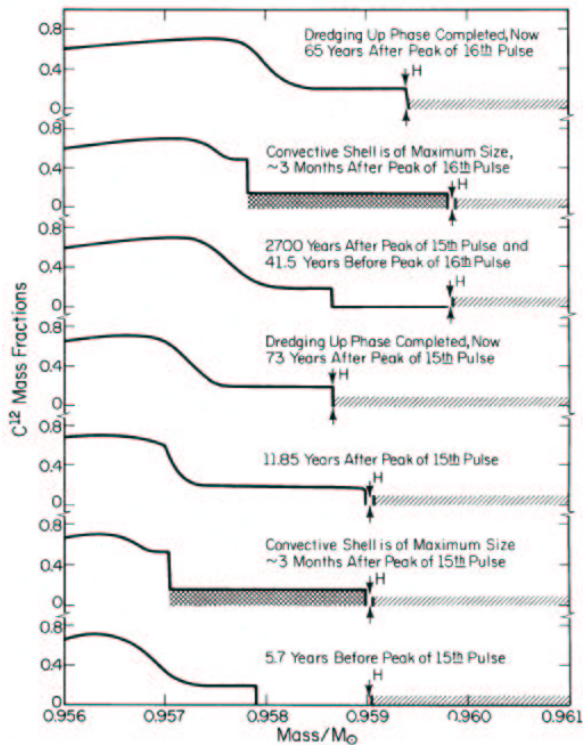


図16. 热パルス中の物質混合の進行。ヘリウム層を含む水素外殼から炭素と酸素なら下部(右方)から中心核の上部にかけての ^{12}C の分布の時間変化を質量座標の関数に対するで示す。時間順序は、一番下の15番目のパルスの火前、ヘリウム対流層が最大になった段階、ヘリウム対流が消えた段階、表面対流層によるヘリウムの浚渫(third dredge-up)、水素殻焼によるヘリウム層が成長、16番目のパルスでヘリウム対流層が最大になった段階を経て、一番上の16番目のパルスの表面対流層による浚渫の終わりまで (Iben 1976 ApJ)。

図15は熱パルスに伴うヘリウム層での物質混合の進行を示したものである。斜線部は対流層を表す。左図はヘリウム核反応の熱的暴走に伴い燃焼殻の上のヘリウム層に対流が発生、この対流層は水素を含む外層には届かないが、対流が消えた後も対流層の跡の上層部の物質は、暖められて膨張し、

温度が下がって表面対流層に突入することになる。左図は、対流層の境界の変動を質量座標で表したものである。フラッシュ時の対流層の広がりとフラッシュの納まつた後の表面対流層の侵入ともフラッシュが強くなると大きくなり、図にあるように、ヘリウム核反応に曝された物質のかなりの部分が表面汲み出されることになる。図16に、ヘリウム層の炭素分布の時間変化を示した。下から、水素殻燃焼によってヘリウム層が成長、フラッシュが起きた時に付加された層も含めてヘリウム層の殆どが対流層に巻き込まれる前ある対流は既に成された炭素で汚染される。このとき、同時に対流が発生する3- α 反応は対流内で生成されたs過程元素も対流層内にばら撒かれる。フラッシュが消えた後、表面対流層が深くなつて(実際には、ヘリウム層が膨張して)、既に消えている水素燃焼殻を越えて、ヘリウム層に侵入する。熱パルスが中心核が冷えて熱パルスが成長して強くなると、表面対流層は物種合はIben(1975)によって見出されたが、第3浚渫(Third Dredge-up)と呼ばれ、表面組成で炭素が酸素より多いN型炭素星やs過程元素に富んだS型星など化学特異星の形成機構と考えられている。

7.3 有限振幅のshell flashの理論

7.3.1 燃焼殻の構造とflatness parameter

第3章の相似不変量による構造解析で見たように、赤色巨星分枝や漸近巨星分枝の外層は中心集中型の解に対応し、その底の燃焼殻では、密度が平均密度に比して小さく、 $U \ll 1$ となる。したがって U の高次の項を無視すると、静水平衡の式(58)は積分できて

$$U = U_1 \left(\frac{V_1}{V} \right)^N \left(\frac{1 - [N+1]/V}{1 - [N+1]/V_1} \right)^{3-N} \quad (124)$$

となる。ここで U_1, V_1 は燃焼殻の底での値であり、また、polytropic index N については、熱パルス中は対流が発生するので

$$\frac{N}{N+1} = \left(\frac{\partial \ln \rho}{\partial \ln P} \right)_{\text{ad},1} = \frac{24 - 21\beta_1}{32 - 24\beta_1 - 3\beta_1^2} \quad (125)$$

で近似できる。最右辺は理想気体と輻射の状態方程式を仮定したものである。この解は $V_1/(N+1) - 1 \gg U_1$ の範囲で有効である。上記の解を用いると同じ近似で質量の式 $d \log M_r / d \log V = U / [U + V / (N+1) - 1]$ も積分できて、

$$\ln M_r \Big|_1 = \left(\frac{U_1}{V_1} \right) (N+1) \left(\frac{V_1}{N_1} \right)^{N+1} \left(1 - \frac{N+1}{V_1} \right)^{N-3} \int_0^{(N+1)/V_1} (1-t)^{2-N} t^N dt \quad (126)$$

となる。左辺は殻燃焼に巻きこまれた質量で、shell flashの間一定に留まる。したがって、shell flash中の燃焼殻の底の半径 r_1 の変化を無視すると、

$$P_1 = P_1^* f(V_1, N_1) \quad (127)$$

と書けることになる。ここでproper pressure, P_1^* , はshell flash毎に決まる定数、 f はSugimoto & Fujimoto (1978)によって導入されたflatness parameterである。図17にいくつかの N について V の関数として示した(flatness parameter f の具体的な関数形については脚注¹を参照)。燃焼殻が薄い $V \gg 1$ のときは $f \simeq 1$ となり、

¹ flatness parameter は不完全ベータ関数を用いて

$$[f(V, N)]^{-1} \equiv (N+1) \left(1 - \frac{N+1}{V} \right)^{N-3} \left(\frac{V}{N+1} \right)^{N+1} B_{(N+1)/V}(N+1, 3-N)$$

圧力は燃焼殻の厚さによらず一定のままに留まる。これは flat な平板平行の構造に対応する。しかし、殻の厚さが増し V が小さくなると球殻の厚みの変動が重力に影響を与える spherical な構造に移行する。 f は V_1 の減少関数であり、 V の値に sensitive になる。図 17 は数値計算した熱パルス中の圧力降下を燃焼殻の底の V_1 の値に対してプロットしたものであるが、 f の曲線と相似形になっている。これらのパルスでは圧力が下がると核反応率が落ち、それとともに、輻射の寄与が増加し熱輸送率は大きくなるので、両者が釣り合う状態でフラッシュは鎮火することになり、初期の圧力が大きいほどフラッシュ中の圧力降下は大きくなる。特に $V_1 \rightarrow N+1$ の極限では $f \rightarrow 0$ となり、外層の重みは消失して、中心核の構造は $V_1 = N+1$ を表面条件として決まることになる。^{*2}。

7.3.2 重力熱力学的な比熱

固有圧力 P_1^* を指定すると、燃焼殻の圧力 P_1 が V_1 の関数として与えられる。また、密度 ρ_1 も V の定義より

$$\rho_1/P_1 = V_1 r_1/GM_1$$

と与えられる。すなわち、燃焼殻の底の質量 M_1 と半径 r_1 、および、固有圧力 P_1^* を指定すると、これらの 2 式によって、flash 中の燃焼殻の熱的な状態の軌跡が V_1 の関数として一意的に決まることになる。

上記の関係より、 f の V への依存性を ϖ で定義すると、すなわち、

$$\varpi \equiv d \log f / d \log V \quad (128)$$

で定義され、 N が整数または半整数の場合には V の陽の関数としてかける。

$$\begin{aligned} [f(V, N)]^{-1} &= 4 \left(\frac{V}{4} \right)^4 \ln \frac{1}{1 - 4/V} - \frac{4}{3} \left(\frac{V}{4} \right) - 2 \left(\frac{V}{4} \right)^2 - 4 \left(\frac{V}{4} \right)^3, \\ [f(V, N)]^{-1} &= \frac{1}{3/V}, \\ [f(V, N)]^{-1} &= \frac{2.5}{8} \left(\frac{V}{2.5} \right)^{2.5} \left(1 - \frac{2.5}{V} \right)^{1.5} \left[\theta - \frac{1}{4} \sin 4\theta - \frac{1}{3} \sin^3 2\theta \right]. \end{aligned}$$

ここで、 $\theta \equiv \sin^{-1}[(2.5/V)^{1/2}]$ である。一般の N の場合は、無限級数に展開できて

$$[f(V, N)]^{-1} = \sigma_{k=0}^{\infty} b_k, \quad b_0 = 1, b_k = b_{k-1} \frac{k+3}{N+k+1} \left(\frac{N+1}{V} \right),$$

の漸化式で与えられ、この式は、 $V > N+1$ で収束する。

^{*2} 安定な殻燃焼を持つ場合

$$V_1 = N+1$$

がよい近似でなり立つことになる。したがってこれを燃焼殻の境界条件として、中心核の進化だけを追うことも可能で、この方法は single star 近似と呼ばれる。ただし、外層と中心核には組成の違いがあるので境界条件には外層の組成を用いる。また、もうひとつの表面条件は

$$L_r + L_N = \frac{4\pi G c M_1}{\kappa} 4(1-\beta) \left(\frac{d \log T}{d \log P} \right)_s,$$

ここで、

$$\begin{aligned} \left(\frac{d \log T}{d \log P} \right)_s &= \frac{1 + (\partial \log \kappa / \partial \log P)_T}{4 - (\partial \log \kappa / \partial \log T)_P} \\ L_N &= \frac{M_1 (U/V)_{1, \varepsilon_{N,1}}}{(\frac{\partial \log \varepsilon_N}{\partial \log T})_\rho (\frac{d \log T}{d \log P})_1 + (\frac{\partial \log \varepsilon_N}{\partial \log \rho})_T (\frac{d \log \rho}{d \log P})_1 + 4/V_1 - 1}. \end{aligned}$$

最後の式は燃焼殻でのエネルギー発生率を燃焼殻の厚さは pressure scaleheight に比して十分薄いとして評価したもので、thin shell approximation と呼ばれている。

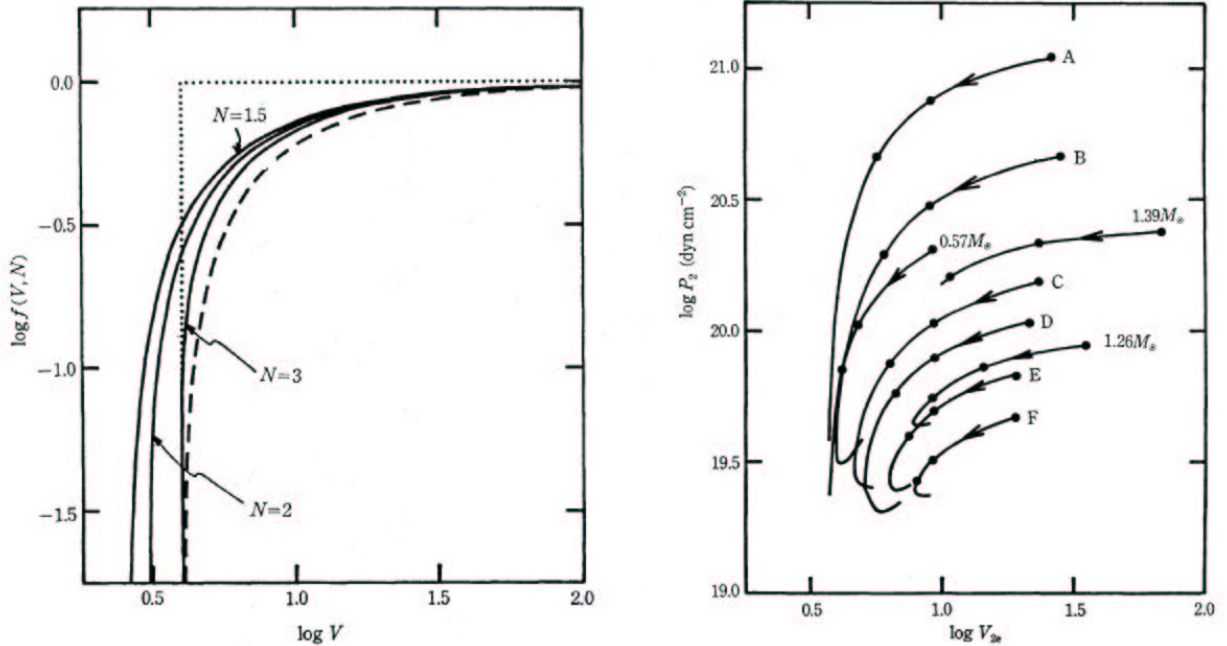


図 17. flatness parameter (左) と熱パルス中の燃焼殻の圧力の変動(右)。横軸はともに V 。(Sugimoto & Fujimoto 1978 PASJ)。

とおくと、圧力と密度の変化は

$$d \log P_1 = \varpi d \log V_1 \quad (129)$$

$$d \log \rho_1 = (\varpi + 1) d \log V_1. \quad (130)$$

これから V_1 を消去すると燃焼殻の状態量の間の関係が導かれ、

$$d \log T = \frac{1}{\alpha} \left(\alpha \frac{\partial \log T}{\partial \log P} \Big|_{\rho} + \frac{\partial \log T}{\partial \log \rho} \Big|_P \right) d \log P = \left(\alpha \frac{\partial \log T}{\partial \log P} \Big|_{\rho} + \frac{\partial \log T}{\partial \log \rho} \Big|_P \right) d \log \rho \quad (131)$$

となる。したがって、静水平衡の下における球殻の比熱 c_{gr} は

$$T_1 ds_1 = c_{\text{gr}} dT_1 = c_P \frac{1 - \alpha(\partial \log \rho / \partial \log P)_{\text{ad}}}{1 - \alpha(\partial \log \rho / \partial \log P)_T}. \quad (132)$$

ここで、 α は

$$\alpha = \varpi / (1 + \varpi) \quad (133)$$

で定義され、球殻の静水平衡下でのガスの振る舞いを具現することになる ($d \log P_1 = \alpha d \log \rho_1$)。 $\alpha = 0$ のときは、ガスは定圧の下での通常の熱力学系のように振舞う。homologous な変形の場合には $\alpha = 3/4$ となる。 N の変化を無視する定義から明らかのように、 ϖ は flat の構造のときの 0 から spherical な構造の極限で発散することになり、 α は 0 と 1 の間をとる。したがって、式 (132) の分子は正定値であるが、理想気体と輻射の場合 ($d \log \rho / d \log P)_{T,1} = 1/\beta_1$ となり、 $\alpha = \beta_1$ のとき消えて、 c_{gr} は発散して無限大となる。

図 18 にフラッシュ中の燃焼殻の重力熱力学的な比熱 c_{gr} を V_1 および α とともにエントロピーの関数として示した。燃焼殻が薄く $V_1 \gg 1$ のとき、 $\alpha \approx 0$ で比熱は正で $c_{\text{gr}} = c_P$ である。燃焼殻が厚くなると c_{gr}/c_P は増加するが、これは膨張とともに重力が小さくなるために、膨張が大きくなり、より多くのエネルギーを要するようになるためである。この間、 $c_{\text{gr}} > 0$ の間では、温度はエントロピーが増えると増加する。やがて、 c_{gr} は無限大になるが、このとき燃焼殻の温度は最大に達することになる。さらに燃焼殻が膨張すると、エントロピーが増

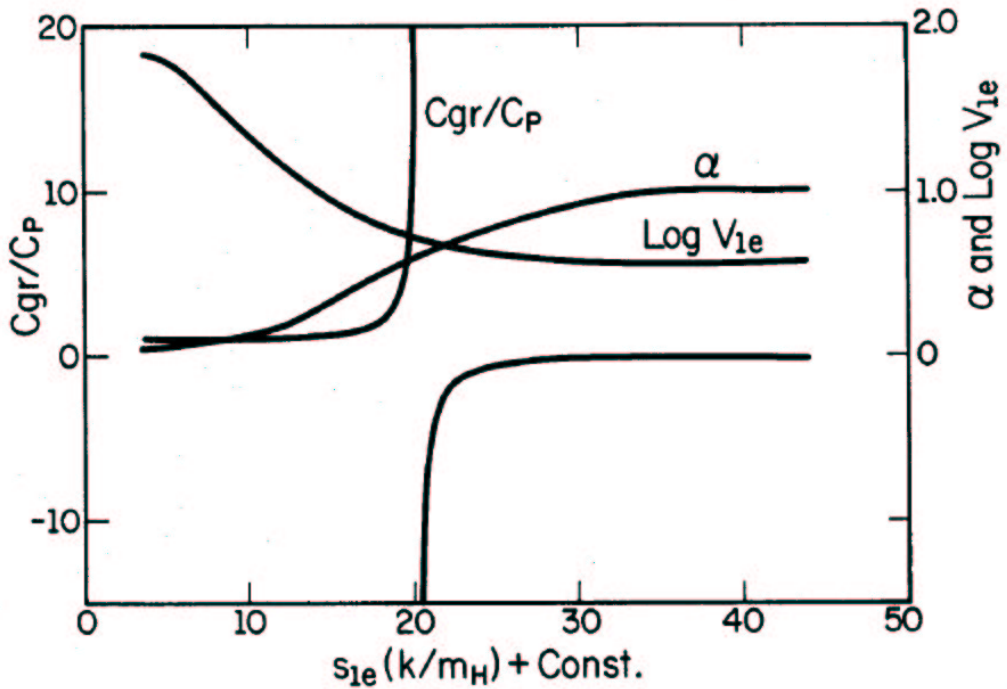


図18. 燃焼殻の熱力学的特性。燃焼殻のエンタロピー s_{1e} に伴う燃焼殻の半径 r と厚さ H_p の比 V_{1e} 、圧力と密度のレスポンス $\alpha = d \log P / d \log \rho$ 、および重力熱力学的な比熱 c_{gr} 。添え字の e は燃焼殻の外側の組成を用いた量であることを示す (Fujimoto 1982 ApJ)。

加しても膨張に要するエネルギーがガスに加えたエネルギーを上回るようになり、比熱 c_{gr} は負になり、温度は逆に下がることになる。殻燃焼のエネルギー発生率も、燃焼殻が薄い間は温度とともに増加する。しかし、圧力および密度はエンタロピーが増加するとともに単調に減少するので、核反応率の密度依存性も考慮すると、最高温度に到達する前に最大値に達し、その後は減少に転じることになる。

7.3.3 Shell Flash の時間発展

燃焼殻のエネルギー収支はエネルギー保存から

$$T \left(\frac{\partial s}{\partial t} \right)_{M_r} = \varepsilon_N - \frac{\partial L_r}{\partial M_r} \quad (134)$$

で与えられるが、フラッシュの点火の条件は静水平衡のもとでのこの方程式の摂動を取ることによって求めることができる。このため右辺の第2項の熱輸送によるエネルギー損失を

$$\varepsilon_r = \frac{ac}{3} \frac{T^4}{\kappa H_p^2 \rho^2} \quad (135)$$

で近似する^{*3}。式達 (131) と (132) を用い、温度勾配の摂動を無視すると摂動方程式は

$$\begin{aligned} \frac{\partial \delta T}{\partial t} &= \frac{\varepsilon_r}{c_P T} F \delta T \\ F &= \frac{c_P}{c_{gr}} \left[\frac{\varepsilon_N}{\varepsilon_r} \nu - (4 - \kappa_T) \right] + \frac{(\partial \log \rho / \partial \log T)_P}{1 - \alpha (\partial \log \rho / \partial \log P)_{ad}} \left[\frac{\varepsilon_N}{\varepsilon_r} \eta + (\kappa_\rho + 2\alpha) \right]. \end{aligned} \quad (136)$$

^{*3} この近似は半径での微分を pressure scale height での割り算で置き換えることで得られる。

と書ける。ここで、 ν と η は核エネルギー発生率の温度と密度依存性, i.e., $\varepsilon_N \propto T^\nu \rho^\eta$ 、また、 κ_T と κ_ρ は opacity の温度と密度依存性で $\kappa_T = \partial \log \kappa / \partial \log T$ と $\kappa_\rho = \partial \log \kappa / \partial \log \rho$ である。熱的な安定性は F の符号で決まり、 $F < 0$ のとき安定、 $F > 0$ のとき不安定となる。

フラッシュの時間発展も energetics から求められる。フラッシュ中に発生する対流によるエネルギー輸送の効果を取り入れる必要がある。断熱勾配を仮定して、

$$\begin{aligned} \frac{ds_1}{dt} &= \frac{1 + \nabla_{\text{ad}} - 4/V_1}{T_1 f(V_1, N_1)} (L_N - L_{\text{ph}}) \\ L_N &= M_1 \left(\frac{U_1}{V_1} \right) \varepsilon_{N,1} \frac{1}{1 + \nabla_{\text{ad},1} \nu (N_1/N_1 + 1) \eta - 4/V_1} \\ L_{\text{ph}} &= \frac{4\pi G c M_1}{\kappa} 4 \nabla_{\text{ad},1} (1 - \beta)_1. \end{aligned} \quad (137)$$

ここで、対流層内の平均温度および核反応率の評価には thin shell 近似を用いた^{*4}。この式を解くことによって時間発展が求められる。

同様にフラッシュの終焉は、式 (134) から平衡状態(定常状態)

$$L_N = L_{\text{ph}} \quad (138)$$

が実現すると終わることになる。この意味で shell flash は flat な形状での平衡状態から spherical な平衡状態への相転移と考えられる。特に、漸近巨星分枝段階では、水素殻燃焼の巨星からヘリウム殻燃焼の巨星への遷移と位置づけられる。

7.3.4 降着星表面の shell flash への応用

燃焼殻の解 (124) を求める段階で使った仮定

$$U \ll 1 \quad (139)$$

は、漸近巨星分枝では水素燃焼の上方の広がった外層の影響を無視することを意味している。図 19 に示したように水素燃焼殻の内部で構造を表したが、外層の殆どの質量は $U-V$ 平面上の構造線が臨界曲線を下から上へ横切るところに分布することになり、半径が大きく重力が弱くなるためヘリウム層の構造には殆ど影響しない。

白色矮星や中性子星を含む近接連星系では、質量交換でその表面への物質が降着することがある。これらの縮退星は表面重力が大きいので、表面に降り積もった水素やヘリウムに富んだガスの量が増えると、自らの重みで圧縮でその底の温度と密度が高くなり、やがて核反応に点火、熱的な暴走を起こすことになる。この場合は、上記で仮定した状況が実現していて、降着層の構造は式 (124) で求めた解で表されることになり、固有圧力は

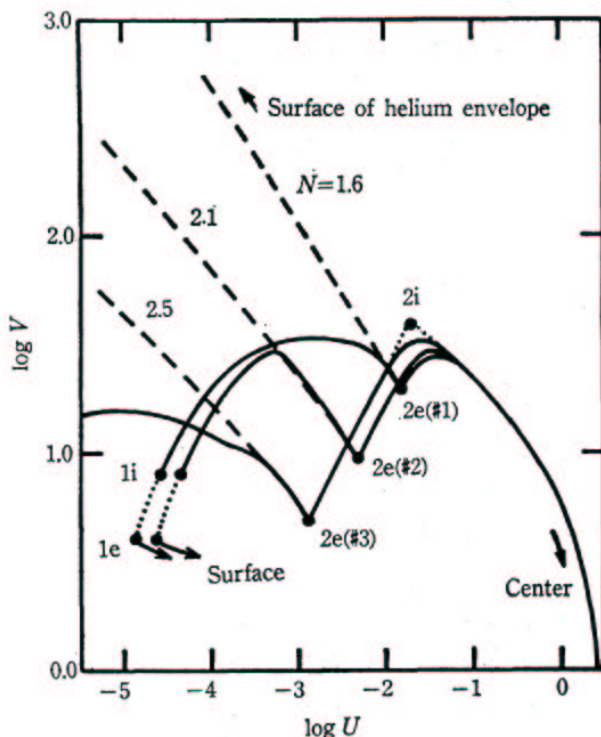
$$P_1^* = GM \Delta M_{\text{acc}} / 4\pi R^4 \quad (140)$$

と、縮退星の質量 M と半径 R 、および核燃料の降着層の質量 ΔM_{acc} で explicit に書けることになる。白色矮星へ降着した場合は新星爆発や超新星爆発、中性子星の場合は X 線 burst を引き起こすが、この式は、その強度が表面重力 ($g = GM/R^2$) と単位面積あたりの降着層の柱密度 ($\sigma = \Delta M / 4\pi R^2$) で決まることを示している。

^{*4}

$$\begin{aligned} \frac{1}{\Delta M} \int_{M_1}^{M_1 + \Delta M} T dM_r &= \frac{M_1}{\Delta M} \frac{U_1}{V_1} T_1 \int_0^{P_1} \left(\frac{P}{P_1} \right)^{\nabla_{\text{ad}} - 4/V_1} d \frac{P}{P_1} = \frac{T_1 f(V_1, N_1)}{1 + \nabla_{\text{ad},1} - 4/V_1} \\ L_N &= \frac{1}{\Delta M} \int_{M_1}^{M_1 + \Delta M} \varepsilon_N dM_r = \frac{M_1 (U_1/V_1) \varepsilon_{N,1}}{1 + \nabla_{\text{ad},1} \nu + (N_1/N_1 + 1) \eta - 4/V_1}. \end{aligned}$$

ただし、 ΔM は対流が発生している層の質量 ($= P_1^* 4\pi r_1^4 / GM_1$)。



星線心はリリが心式スウを
巨実中 1i へヘム中は。リ行
近。のととはウの線るへ進
漸造部 1e 底 2i リ素破すはな
の構内号のとへ酸す。応
での記層びとわに #3 対
上層殻す。外、よ素ら似
面ム焼表素端お炭あ似
平ウ燃を水上底たを近 #1、#2、
V ーへの造れののき端のジ数
U の素構ぞ層層尽上でジ数
19. 枝水のれムムえの ー テ
図分は核そウウ燃核 (139) ム・フラッシュの時間的
1978 PASJ)。

図20に応用例を示す。左図の実線は、白色矮星の質量(M)と降着ヘリウム層(ΔM_2)を与えた時のヘリウム・フラッシュの中に到達する最高温度の軌跡をしめしたもの。白色矮星の半径は質量の減少関数なので、質量が大きいほど表面重力が大きく、また、降着層の質量が大きいほど柱密度が大きいので、表固有圧力が大きく、したがって、到達温度は高く、フラッシュは強くなることを示している。

質過は柱度の層より前いの場合は、降着率はその運命は、降着星の質量と降着率できることになる。

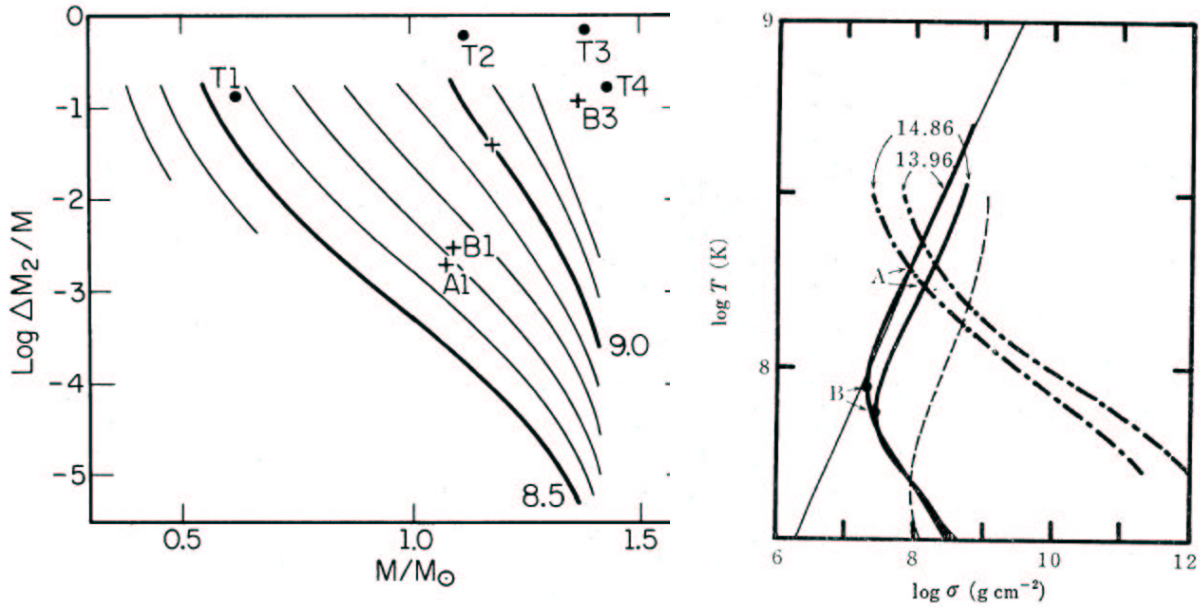


図 20. 白色矮星の表面でのヘリウム・フラッシュの強度(左)と中性子星表面での殻燃焼の熱的な安定性(右)。左図の実線は熱パルス中に到達できる最高温度を白色矮星の質量 M と降着ヘリウム層の質量 ΔM 図上に表したもので、付した数字は到達温度の対数 (Fujimoto & Sugimoto 1982 ApJ)。右図は中性子星表面での水素殻燃焼の底の軌跡(実線)とヘリウム殻燃焼の点火線(一点鎖線)を柱密度と温度の図上に示したもの。付記した数値は表面重力の対数 (CGS 単位) (Hanawa, & Fujimoto 1982 PASJ)。

8 恒星進化の標準理論

8.1 恒星の寿命

質量が $0.08M_\odot$ 以上の恒星は、水素燃焼に点火、主系列に落ち着くことになる。主系列段階の間、恒星の光度はそれほど変わらないので、主系列段階の恒星の寿命は、核燃料の備蓄と消費率で決まることがある。ただし、核反応は中心部の温度の高いところでしか起こらないので、主系列段階で消費できる水素の量を f とすると、

$$\tau = \frac{MXE_H f}{L} = 6.8 \times 10^9 \left(\frac{M}{M_\odot}\right) \left(\frac{X}{0.7}\right) \left(\frac{L}{L_\odot}\right)^{-1} \left(\frac{E_H}{6 \times 10^{18} \text{erg g}^{-1}}\right) \left(\frac{f}{0.1}\right) \text{yr} \quad (141)$$

(X と E_H はそれぞれ、水素の初期組成と水素はヘリウムに変換するとき単位質量から解放される核エネルギー)。

現在の太陽の光度は、初期に比べて 46 億年の間に 2 倍くらいに増えたことを考慮すると、太陽質量の恒星の寿命は 100 億年ということになる。低質量星では、光度は $L \propto M^{3 \sim 4}$ なので、寿命は質量の増加とともに 2~3 乗に反比例して急激に減少することになる。大質量星では、光度は L_{Edd} で与えられる

ので、

$$\tau = 1.8 \times 10^6 \left(\frac{X}{0.7}\right) f \left(\frac{L_{\text{Edd}}}{L}\right) \text{yr} \quad (142)$$

となるが、対流中心核は大きく、 $f \simeq 0.5$ (for $M \sim 20M_{\odot}$) あるいはそれ以上になるので、寿命は質量によらずほぼ数百万年程度で一定になる。

8.1.1 恒星の終末—縮退星の形成と超新星爆発

道っはい鉄後安の星で恒えよそな恒星がに件てくの不星成条件ばて首し動る。形要れし、たでな核がに弾一い途と中心核」正發る。使のこの比熱が不なるをそるの比熱まさにギと終鉄負。まどくるをそる「はるのこルけるをそる工続一前節述に止が迎核をてこれでれそこ合なに最重心起きではそこして、る引進化起場と壊すこしはる。すべての恒星がないのとをみ崩されたるは彈發ったの力爆爆至一重ら、逃れ核核にギ、がで破なは成ルし、なまが大い形ネ遇し後れ巨るの工遭程て、わが心重性か最そばあ核力にしを、

質量で決まる星の一生

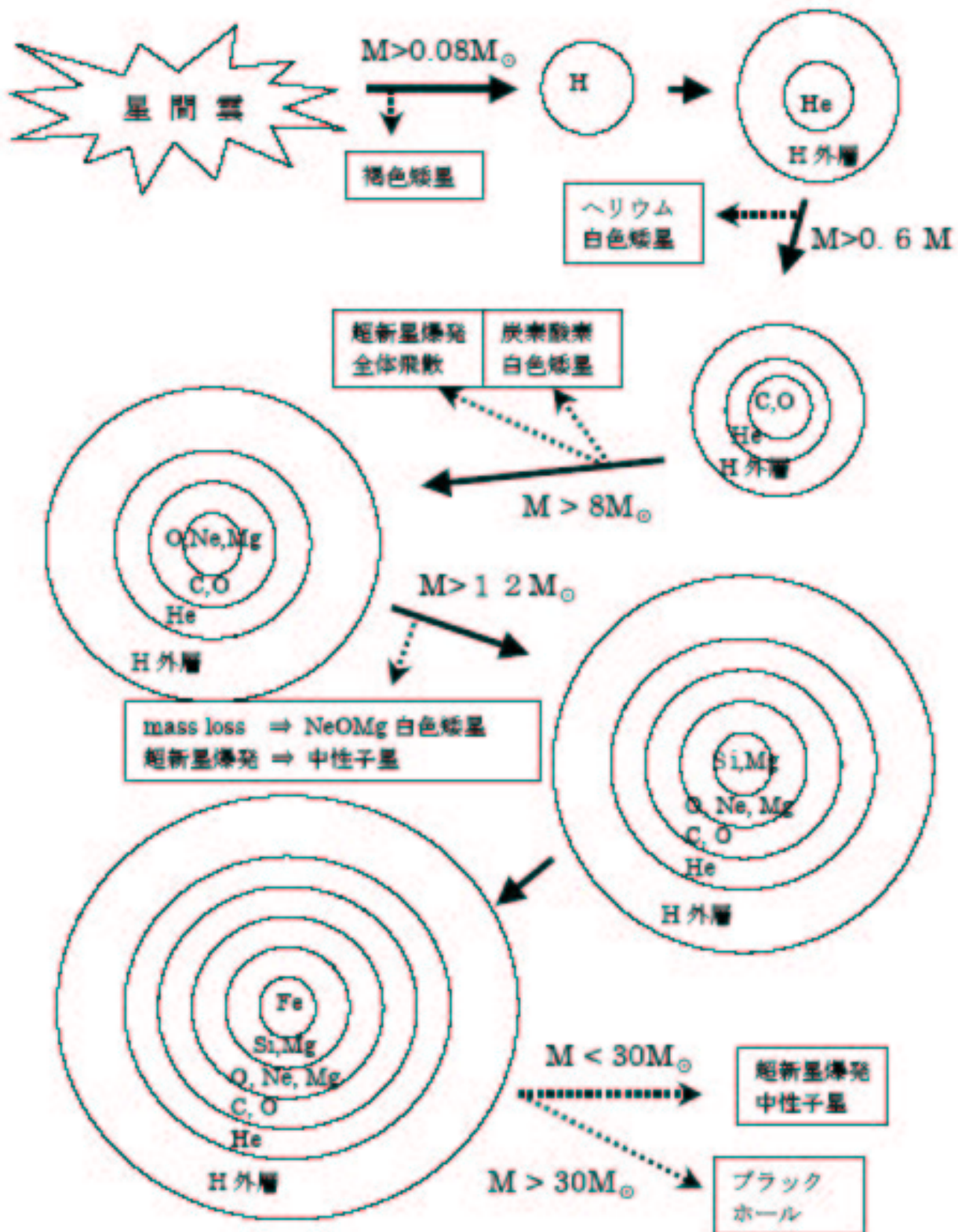


図21 球対称な構造、熱対流での物質混合、質量放出を考慮した恒星の進化の標準的な描像。

終末はこの3つの型に分類される。図21は太陽と同じような初期の化学組成をもつさまざまな質量の恒星について、その進化と終末をまとめたものである。

8.1.2 縮退星 = 核爆弾としての最後

「比熱が正」になった恒星には2通りの運命が待っている。ひとつは、ひどい核損失による冷却していく場合で、縮退圧で支えられた白色矮星には暴走エネルギーは、もうひとつは、ひる走るエネルギーで核反応に点火した場合で、核反応に伴う温度上昇とエネルギーは、また縮退した中心核で核反応に点火するかどうかは、中心核の圧縮によると競合で決まる。

太て、炭さ果る温太る燃減強るるネ量吹
がしめ待の shell 増し倍てウミ退上、マ界核る
量対たでそ急復2つり重縮を型と臨中心され
質にるま、はん回びがへの、一燃ンの中心ば
核のこれるま、はん回びがへの、一燃ンの中心ば
する冷く走のはの質一くってれエ工素、爆オ
こなる合った態おんり外対ルがネ
で、火よ近と燃生熱太度てに。重る。酸
の点率量るム発比で温っユる重なるギ層は吹き飛
いに効質すウ一の2とに前とでにエ工さる。
さい応て界火リギ負図度にラに前とでにエ工さる。
障ウノ反がる融現中リめすがきの電る束と
が核よのはいネてる心冷、こけぶ形捕が
ンリリヒトムにChandrasekhar核退よが実後
ロヘトムは縮に退が直一る経縮が爆ン始力子
小反って臨点ヘル「密却フとるこ態獲核小な
ク階でニュートンはいネてる心冷、こけぶ形捕が
ンリリヒトムは縮に退が直一る経縮が爆ン始力子
ロヘトムは縮に退が直一る経縮が爆ン始力子
では。応縮態火ニまを、体星才が重性子
がとも核が常ム度で膨場星超、崩で、中性子
場つたは核の異、や定ウ温上熱のるはのれれて
場合、段、ニユートンはいネてる心冷、こけぶ形捕が
中退てにとのリの殻断核しられ合のいぶ
のな核は縮うる応ヘ部球は心生ば場心なつ
核に心は。よよする反、心た部中發よの中心らま
場つたは核の異、や定ウ温上熱のるはのれれて
場合、段、ニユートンはいネてる心冷、こけぶ形捕が
中退てにとのリの殻断核しられ合のいぶ
のな核は縮うる応ヘ部球は心生ば場心なつ
核に心は。よよする反、心た部中發よの中心らま
中心い中心火るにた昇核は、心れ心のがと核で足ま
ムく素のに強でがつ恒はをで酸ギ轟中よのそ
ウ分酸応とのろ度がのれ心のとル爆のにすは
リ半と反こ退こ温下量こ中の素ネ、ム少ば部
へ約素核る縮と、が質、がす炭工はウ減飛心
の炭素れはのが度陽が焼少い核いシのき中

火でてき道の膨大つ外止にく中
点件し起軌化ががたてが量薄が
に要出が球進層径がっ長質て質
応が放出地は外半波よ成のれ物
反とて噴が率、撃にの核らた
核こしのど効にが衝出核心取れ
。るとスな出もるで放心中ぎさ
るす射方子放とき面量中、剥出
あ加幅の陽のとお表質で合を放
で増をらのスれがての点場層、
出は一か速ガそ動伴こ時の外て
放量ギ面高の。脈に。の焼。な
量質ル表、こすつれいそ燃るな
質のねても。大なそて、殻えく
は核工っ合る。増にりれば素消高
素心な使場いに定なられ水とが
要中大をのてに安くえ、る温
のき膨部一陽れも不き考消ばな温
一つ続はの太さとに大とがえに面
う焼からギる。観なる学幅な燃。
る殻面ルてしき動のきてとが、
も燃かれる。観なる学幅な燃。
1/10,000表
星射さ風がる、がら矮質縮
左退恒幅測陽度がに率取色の收
化はしそが、としり、度とのが星、外
進にか、としり、度とのが星、外
のめしでこ来な温る層量恒が、
星た。のる飛にてな外質ると
恒るるるいで期しく、のりよる
すあいてま後張きて層まもな

發い降反た測
ば小星素。て
わが矮水るし
い離色であと
の距白中で發
まのが質み爆
まとス物の星
た星ガた層新
まし伴入し面
藏内場合、流着
をる富面るの現象
場んに表する。この
は接ががのど
ギ属素。与く、
エ星きり走き
核連起あ暴大
は工ネル系、得にく
星近入火応ほ
矮が流点反れ
色星の再核それ
白矮スのはも
した色ガ応は、
し白の反核場合
誕こか、た発の規
生のら核こして。
しる伴る火爆
うあ、も点て、
こで、積にって、
弾のり応がさる。

8.1.3 重力崩壊—中性子星とブラック・ホールの形成

8.1.4 進化の観測的な特徴

これまででは内部構造の変化に着目して恒星の進化を見てきたが、この節では、進化に伴う恒星の外観の変化とその観測的な特徴をまとめておこう。

が妨げられると考えられている。これが観測される恒星の質量と光度の上限を決める。

後期の進化—外層の膨張と光度の上昇

外層の膨張のため表面温度が下がり、恒星は赤色巨星分枝へ向かって進化する。恒星進化の数値計算でもとめた低質量星のH R図上での振舞い示すと図4のようになる。

ほき矮星の冷却過程では、恒星の半径は縮退した温度で、くかりのものが観測される。白色矮星へは、暗くなり進化する時間が短く、観測段階で観測が難いのが多いためである。

太陽の11倍までの恒星は、炭素燃焼の後、酸素、ネオン、マグネシウムを中心核が形成された段階で、中心核で電子縮退が起き、漸近巨星分枝を上っていく。その途上でネオンの電子捕獲が起こり、電子の数が減り、そのため Chandrasekhar 臨界質量が減少して中心核の質量以下になる。このため、中心核の重力を支えられなくなり、重力崩壊が始まり超新星爆発が誘起される。太陽質量の12倍以上の恒星では、質量の小さいほうは、ヘリウム燃焼を終える前に、赤色巨星分枝に達するが、質量の大きい恒星は、主系列と赤色巨星分枝の中間にとどまる。炭素燃焼以降になると、中心部が高密度になりニュートリノによるエネルギー損失により進化は加速されるので、表面の変化を伴わず、中心部のみ進化して超新星爆発に至る。

超新星爆発ではその光度は太陽の一億倍以上にも達し、爆発時の高温高密度で合成された鉄を中心とする多種多様な元素が放出される。また、重力崩壊型の超新星爆発では大量のニュートリノも放出される。1987年のマゼラン星雲の超新星爆発で、はじめて、このニュートリノが観測された。

9 恒星の進化 = 天体の探査手段

9.1 天体の年齢の推定

さ 図時年かのにら膨
とあるかく図範求ル
1/4団ら較いRのがブル
1/300~星から比てH年齢ハッ
このしてとつし150の年で、いる。
太陽の誕軌合観100同もので、いる。
量が星時のれ齡ほえるとをばるとなつて、いる。
元素は恒同M15これも与基盤
考質求星たからい値論
はどなを状したか宇宙
元は球示して下宇宙
天ざ位置、で生星齡在
星団体まざり、で生星齡在
球古さめ図実が球宇宙、
したもら占。を星の宇宙に、
しとかに。跡恒他、も
集つて、はと
密も計算図き軌の。はと
は値Hが時星き定齡
星では数にと同一で推年
恒中の後こるこがのた
の化たるす、とこめ
個系進しす対はこ、求
銀恒経推齡かすいか
数十河星過定にらるて、ら
く、をを年較定て則
と間齡の比推れ張

9.2 宇宙の元素の起源

ごど上重に部のな以下の時内張ム素系成星膨ウ炭陽形恒宙チる太のず度ム存い系度密ウにて陽一宇リす。雲らはや在る星な高リ宙れ太、温度へ宇ら始も、高く、のえ原子な短れ考の原反者現され、体核前、め成れのはるた形されでれいで出わ論らな部放わ宇宙にで星かる。前部成恒星準星かべての標恒しそうかものと素は、た在期元素もし現初軽元素入くの元素混

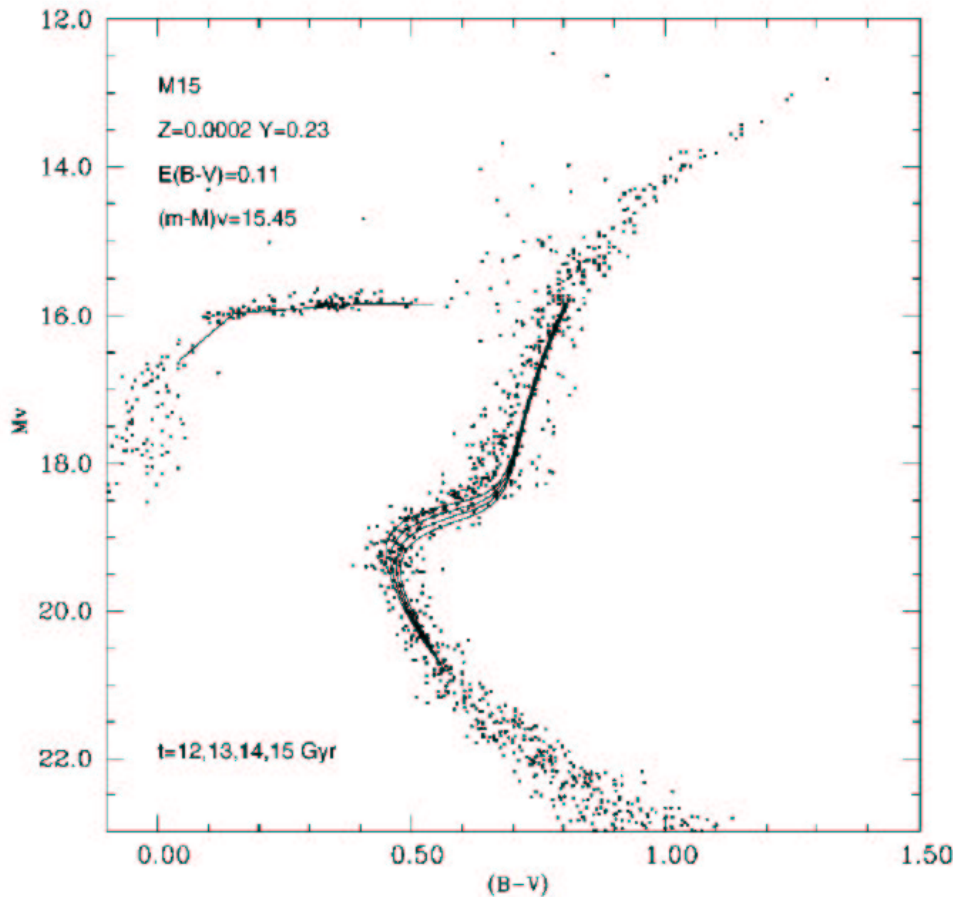


図22. 球状星団M15のHR図と恒星進化の同時刻曲線との比較 (Salaris, Innocent, & Weiss 1987 ApJ)。

の高温度、高密度をくぐりぬけてきたことになる。

合成される元素は恒星によって特徴が異なるので、観測される重元素の分布から元素のルーツをたどり、どのような恒星が形成されてきたという歴史を探ることが可能である。例えば、超新星爆発のモデル計算で、大質量星を母星とするII型超新星は、降着白色矮星を母星とするIa型超新星とともに、放出物質中で鉄に対して酸素、マグネシウムなどの α 元素が多いことが知られているが、実際、球状星団、銀河ハローの金属欠乏星からは、太陽などの種族Iの恒星と比べて $[O/Fe]$ が 0.4 dex 程度小さくなっていることが観測されている。これは、銀河の化学進化で2つの型の超新星爆発に時間差があったことを示唆している。

重元素量の含有量が少ない恒星は古いということになるが、特に、われわれの宇宙最初の恒星は炭素以上の重元素をまったく含んでいなかったはずである。そのうち、太陽質量の0.8倍以下の恒星であれば、寿命が長く現在でも核燃焼段階に留まっているので、これらのごく初期の恒星の生き残りを見ることができれば、誕生当時の宇宙の物理状態、銀河の形成過程についての情報を得られるであろう。

1990年代以降 Beers et al. (1992)によるHK survey、2000以降になると Christlieb et al. (2001)によるHamburg/ESO surveyの結果、銀河ハローでの重元素量の少ない恒星が多数見出されている。図22に両surveyで(2005年までに)見出された金属欠乏星の金属量の分布を示した。Feの組成が太陽の1000分の1位以下

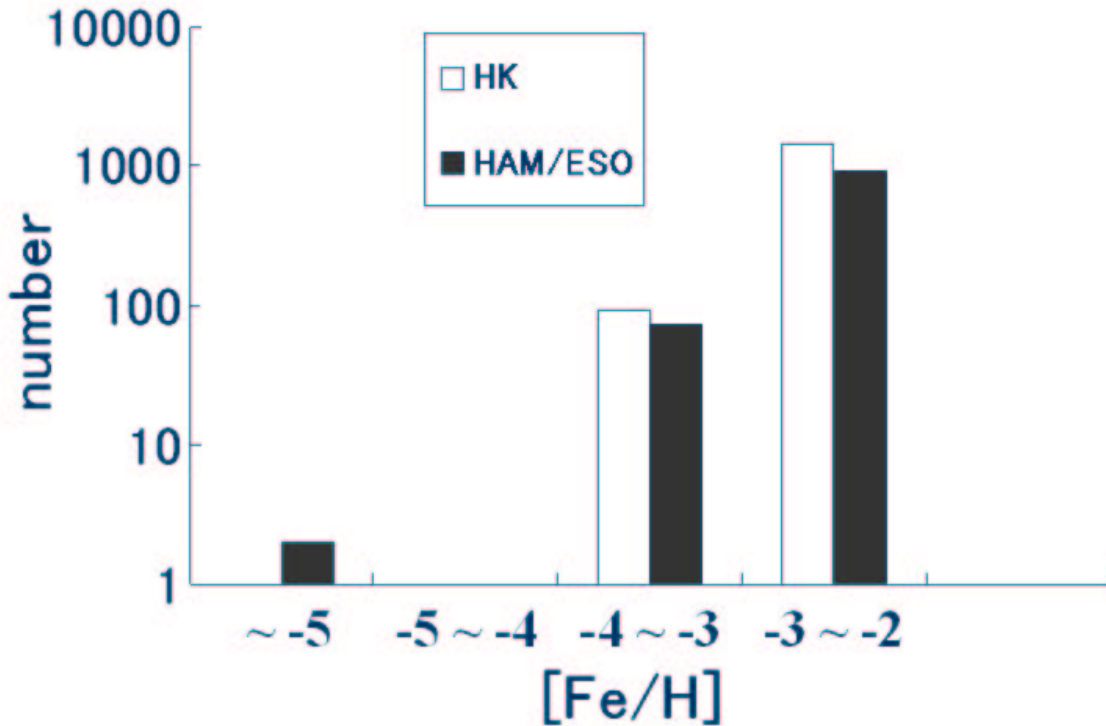


図 23. HK survey と Hamburg/ESO survey で発見された銀河ハローの金属欠乏星の数分布 (Beers & Christlieb 2005 Ann Rev Astron Astrophys)。

速出種り Ba はかど素は大急見のよ、き数しな酸いに
は程度星ばる毎の度団、る毎に個状えが星球例か、が成10球と、や。と組成の分布は、太陽の3000分の1以下では太陽の恒星の組成のが特徴である。と大きな元素が重元素ででき、大きさの異なる星が存在する。これらは太陽の恒星の組成が他の恒星と大きく異なる点で特徴的である。また、太陽の恒星の組成が他の恒星と大きく異なる点で特徴的である。

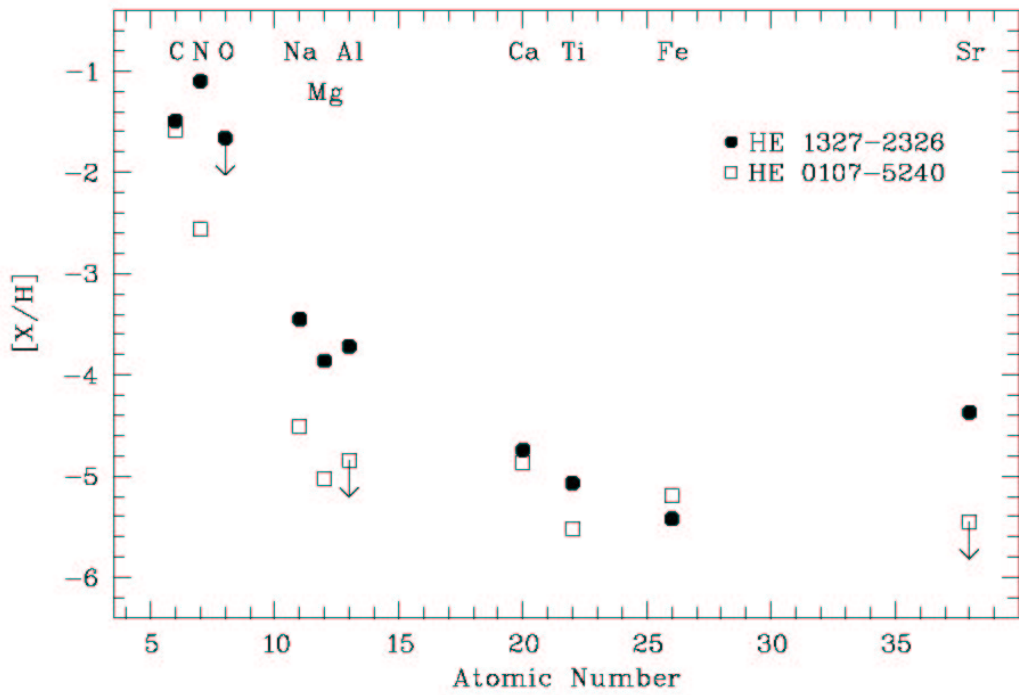


図24. これまでに発見された最も鉄の組成が最も小さい恒星の組成分布。太陽組成との比較したもので、炭素の組成は鉄に比べると1万倍近く大きくなっている、また、N、Na、Mgが増強されているなど共通点はあるが、Srの組成などでは違いが認められる (Frebel et al. 2005 Nature)。